



HILTI HIT HY-200 A
INJECTION MORTAR
ETA-11/0493 (28.07.2017)



English	2-40
Deutsch	42-80
Français	82-120
Polski	122-160

Approval body for construction products
and types of construction

Bautechnisches Prüfamt

An institution established by the Federal and
Laender Governments



European Technical Assessment

ETA-11/0493
of 28 July 2017

English translation prepared by DIBt - Original version in German language

General Part

Technical Assessment Body issuing the
European Technical Assessment:

Deutsches Institut für Bautechnik

Trade name of the construction product

Injection system Hilti HIT-HY 200-A

Product family
to which the construction product belongs

Bonded anchor for use in concrete

Manufacturer

Hilti Aktiengesellschaft
9494 SCHAAN
FÜRSTENTUM LIECHTENSTEIN

Manufacturing plant

Hilti Werke

This European Technical Assessment
contains

39 pages including 3 annexes

This European Technical Assessment is
issued in accordance with Regulation (EU)
No 305/2011, on the basis of

Guideline for European technical approval of "Metal
anchors for use in concrete", ETAG 001 Part 5: "Bonded
anchors", April 2013,
used as European Assessment Document (EAD)
according to Article 66 Paragraph 3 of Regulation (EU)
No 305/2011.

This version replaces

ETA-11/0493 issued on 3 February 2017

The European Technical Assessment is issued by the Technical Assessment Body in its official language. Translations of this European Technical Assessment in other languages shall fully correspond to the original issued document and shall be identified as such.

Communication of this European Technical Assessment, including transmission by electronic means, shall be in full. However, partial reproduction may only be made with the written consent of the issuing Technical Assessment Body. Any partial reproduction shall be identified as such.

This European Technical Assessment may be withdrawn by the issuing Technical Assessment Body, in particular pursuant to information by the Commission in accordance with Article 25(3) of Regulation (EU) No 305/2011.

Specific Part

1 Technical description of the product

The Injection system Hilti HIT-HY 200-A is a bonded anchor consisting of a foil pack with injection mortar Hilti HIT-HY 200-A and a steel element according to Annex A.

The steel element is placed into a drilled hole filled with injection mortar and is anchored via the bond between metal part, injection mortar and concrete.

The product description is given in Annex A.

2 Specification of the intended use in accordance with the applicable European Assessment Document

The performances given in Section 3 are only valid if the anchor is used in compliance with the specifications and conditions given in Annex B.

The verifications and assessment methods on which this European Technical Assessment is based lead to the assumption of a working life of the anchor of at least 50 years. The indications given on the working life cannot be interpreted as a guarantee given by the producer, but are to be regarded only as a means for choosing the right products in relation to the expected economically reasonable working life of the works.

3 Performance of the product and references to the methods used for its assessment

3.1 Mechanical resistance and stability (BWR 1)

Essential characteristic	Performance
Characteristic resistance under static and quasi-static action, displacements	See Annex C1 to C12
Characteristic resistance for seismic performance categories C1 and C2, displacements	See Annex C13 to C17

3.2 Safety in case of fire (BWR 2)

Essential characteristic	Performance
Reaction to fire	Anchorage satisfy requirements for Class A1
Resistance to fire	No performance determined (NPD)

3.3 Hygiene, health and the environment (BWR 3)

Regarding dangerous substances there may be requirements (e.g. transposed European legislation and national laws, regulations and administrative provisions) applicable to the products falling within the scope of this European Technical Assessment. In order to meet the provisions of Regulation (EU) No 305/2011, these requirements need also to be complied with, when and where they apply.

3.4 Safety in use (BWR 4)

The essential characteristics regarding Safety in use are included under the Basic Works Requirement Mechanical resistance and stability.

4 Assessment and verification of constancy of performance (AVCP) system applied, with reference to its legal base

In accordance with guideline for European technical approval ETAG 001, April 2013 used as European Assessment Document (EAD) according to Article 66 Paragraph 3 of Regulation (EU) No 305/2011 the applicable European legal act is: [96/582/EC].

The system to be applied is: 1

5 Technical details necessary for the implementation of the AVCP system, as provided for in the applicable European Assessment Document

Technical details necessary for the implementation of the AVCP system are laid down in the control plan deposited at Deutsches Institut für Bautechnik.

Issued in Berlin on 28 July 2017 by Deutsches Institut für Bautechnik

BD Dipl.-Ing. Andreas Kummerow
Head of Department

beglaubigt:
Lange

Installed condition

Figure A1:
Threaded rod and HIT-V-..., AM 8.8

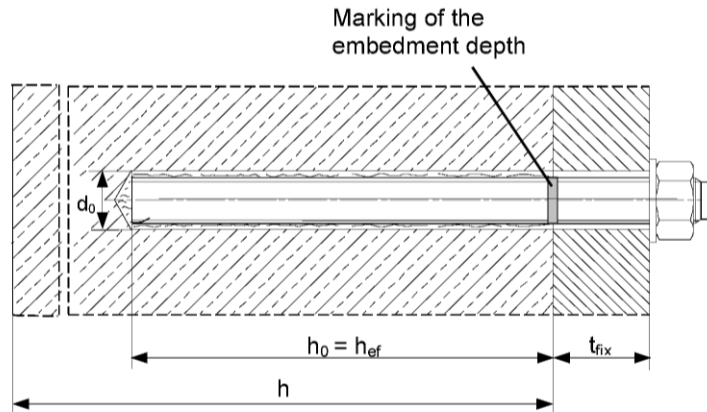


Figure A2:
Threaded rod and HIT-V-..., AM 8.8, with Hilti Filling Set

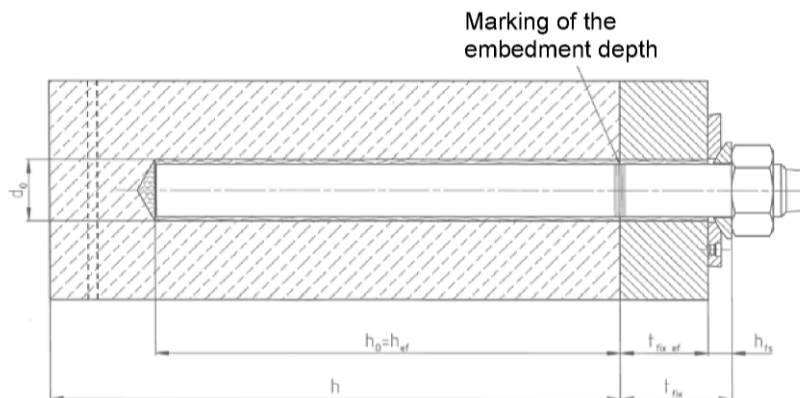
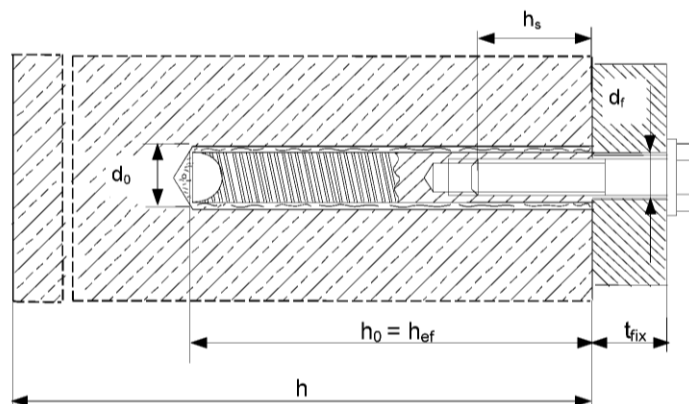


Figure A3:
Internally threaded sleeve HIS-(R)N



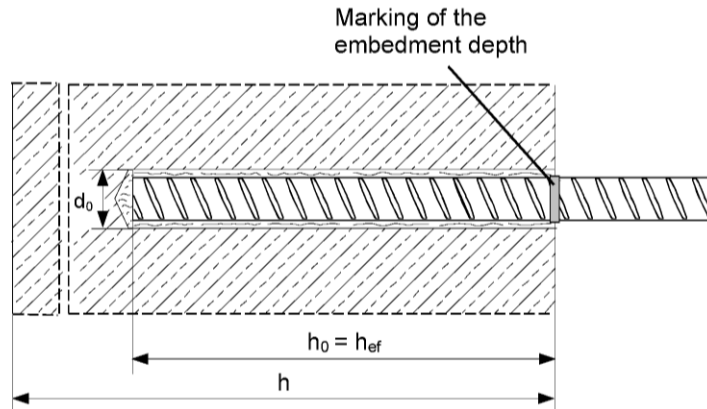
Injection System Hilti HIT-HY 200-A

Product description
Installed condition

Annex A1

Installed condition

Figure A4:
Reinforcing bar



Injection System Hilti HIT-HY 200-A

Product description
Installed condition

Annex A2

Product description: Injection mortar and steel elements

Injection mortar Hilti HIT-HY 200-A: hybrid system with aggregate
330 ml and 500 ml

Marking:
HILTI-HIT
Production number and
production line
Expiry date mm/yyyy

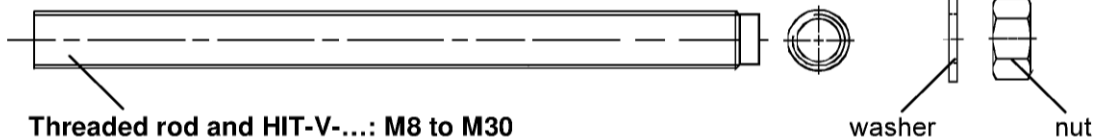


Product name: "Hilti HIT-HY 200-A"

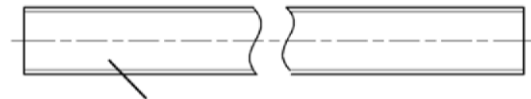
Static mixer Hilti HIT-RE-M



Steel elements



Threaded rod and HIT-V-...: M8 to M30



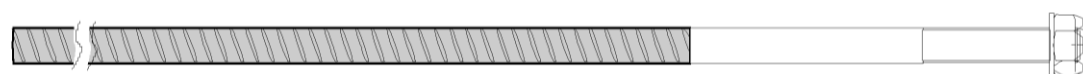
Hilti meter rod AM 8.8 electroplated zinc coated, AM HDG 8.8 hot dip galvanized
M8 to M30, 1m to 3m

Commercial standard threaded rod:

- Materials and mechanical properties according to Table A1.
- Inspection certificate 3.1 according to EN 10204:2004. The document shall be stored.
- Marking of embedment depth.



Internally threaded sleeve: HIS-(R)N M8 to M20



Hilti Tension Anchor: HZA M12 to M27 and HZA-R M12 to M24

Injection System Hilti HIT-HY 200-A

Product description
Injection mortar / Static mixer / Steel elements

Annex A3

Product description: Injection mortar and steel elements



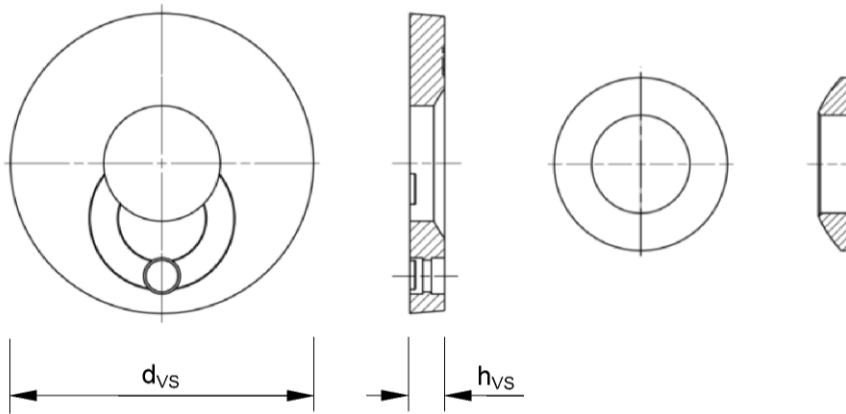
Reinforcing bar (rebar): ϕ 8 to ϕ 32

- Materials and mechanical properties according to Table A1
- Dimensions according to Annex B6

Hilti Filling Set to fill the annular gap between anchor and fixture

Sealing washer

Spherical washer



Filling Set		M16	M20	M24
Diameter of sealing washer	d_{VS} [mm]	56	60	70
Thickness of sealing washer	h_{VS} [mm]	6		

Injection System Hilti HIT-HY 200-A

Product description

Injection mortar / Static mixer / Steel elements

Annex A4

Table A1: Materials

Designation	Material
Reinforcing bars	
Rebar: EN 1992-1-1: 2004 and AC:2010, Annex C	Bars and de-coiled rods class B or C with f_{yk} and k according to NDP or NCL of EN 1992-1-1/NA:2013 $f_{uk} = f_{tk} = k \cdot f_{yk}$
Metal parts made of zinc coated steel	
Threaded rod, HIT-V-5.8(F)	Strength class 5.8, $f_{uk} = 500 \text{ N/mm}^2$, $f_{yk} = 400 \text{ N/mm}^2$, Elongation at fracture ($l_0=5d$) > 8% ductile Electroplated zinc coated $\geq 5 \mu\text{m}$, (F) hot dip galvanized $\geq 45 \mu\text{m}$
Threaded rod, HIT-V-8.8(F)	Strength class 8.8, $f_{uk} = 800 \text{ N/mm}^2$, $f_{yk} = 640 \text{ N/mm}^2$, Elongation at fracture ($l_0=5d$) > 12% ductile Electroplated zinc coated $\geq 5 \mu\text{m}$, (F) hot dip galvanized $\geq 45 \mu\text{m}$
Hilti Meter rod, AM 8.8 (HDG)	Strength class 8.8, $f_{uk} = 800 \text{ N/mm}^2$, $f_{yk} = 640 \text{ N/mm}^2$ Elongation at fracture ($l_0 = 5d$) > 12% ductile, Electroplated zinc coated $\geq 5 \mu\text{m}$, (HDG) hot dip galvanized $\geq 45 \mu\text{m}$
Hilti tension anchor HZA	Round steel with threaded part: electroplated zinc coated $\geq 5 \mu\text{m}$ Rebar: Bars class B according to NDP or NCL of EN 1992-1-1/NA:2013
Internally threaded sleeve HIS-N	Electroplated zinc coated $\geq 5 \mu\text{m}$
Washer	Electroplated zinc coated $\geq 5 \mu\text{m}$, hot dip galvanized $\geq 45 \mu\text{m}$
Nut	Strength class of nut adapted to strength class of threaded rod Electroplated zinc coated $\geq 5 \mu\text{m}$, (F) hot dip galvanized $\geq 45 \mu\text{m}$
Hilti filling set (F)	Filling washer: Electroplated zinc coated $\geq 5 \mu\text{m}$, (F) hot dip galvanized $\geq 45 \mu\text{m}$ Spherical washer: Electroplated zinc coated $\geq 5 \mu\text{m}$, (F) hot dip galvanized $\geq 45 \mu\text{m}$ Lock nut: Electroplated zinc coated $\geq 5 \mu\text{m}$, (F) hot dip galvanized $\geq 45 \mu\text{m}$
Metal parts made of stainless steel	
Threaded rod, HIT-V-R	For $\leq \text{M24}$: strength class 70, $f_{uk} = 700 \text{ N/mm}^2$, $f_{yk} = 450 \text{ N/mm}^2$; For $> \text{M24}$: strength class 50, $f_{uk} = 500 \text{ N/mm}^2$, $f_{yk} = 210 \text{ N/mm}^2$; Elongation at fracture ($l_0=5d$) > 8% ductile Stainless steel 1.4401, 1.4404, 1.4578, 1.4571, 1.4439, 1.4362 EN 10088-1:2014
Hilti tension anchor HZA-R	Round steel with threaded part: Stainless steel 1.4404, 1.4362, 1.4571 EN 10088-1:2014 Rebar: Bars class B according to NDP or NCL of EN 1992-1-1/NA:2013
Internally threaded sleeve HIS-RN	Stainless steel 1.4401, 1.4571 EN 10088-1:2014
Washer	Stainless steel 1.4401, 1.4404, 1.4578, 1.4571, 1.4439, 1.4362 EN 10088-1:2014
Nut	Strength class of nut adapted to strength class of threaded rod Stainless steel 1.4401, 1.4404, 1.4578, 1.4571, 1.4439, 1.4362 EN 10088-1:2014

Injection System Hilti HIT-HY 200-A

Product description
Materials

Annex A5

Metal parts made of high corrosion resistant steel

Threaded rod HIT-V-HCR	For \leq M20: $f_{uk} = 800 \text{ N/mm}^2$, $f_{yk} = 640 \text{ N/mm}^2$, For $>$ M20: $f_{uk} = 700 \text{ N/mm}^2$, $f_{yk} = 400 \text{ N/mm}^2$, Elongation at fracture ($l_0=5d$) $>$ 8% ductile High corrosion resistant steel 1.4529, 1.4565 EN 10088-1:2014
Washer	High corrosion resistant steel 1.4529, 1.4565 EN 10088-1:2014
Nut	Strength class of nut adapted to strength class of threaded rod High corrosion resistant steel 1.4529, 1.4565 EN 10088-1:2014

Injection System Hilti HIT-HY 200-A

Product description
Materials

Annex A6

Specifications of intended use

Anchorage subject to:

- Static and quasi static loading.
- Seismic performance category C1 and C2 (see Table B1).

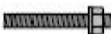
Base material:-

- Reinforced or unreinforced normal weight concrete according to EN 206-1:2000.
- Strength classes C20/25 to C50/60 according to EN 206-1:2000.
- Cracked and non-cracked concrete.

Temperature in the base material:

- **at installation**
-10 °C to +40 °C
- **in-service**
Temperature range I: -40 °C to +40 °C
(max. long term temperature +24 °C and max. short time temperature +40 °C)
Temperature range II: -40 °C to +80 °C
(max. long term temperature +50 °C and max. short time temperature +80 °C)
Temperature range III: -40 °C to +120 °C
(max. long term temperature +72 °C and max. short time temperature +120 °C)

Table B1: Specifications of intended use

Elements	HIT-HY 200-A with ...			
	HIT-V ... AM 8.8 	Rebar 	HZA(-R) 	HIS-(R)N 
Hammer drilling with hollow drill bit TE-CD or TE-YD 	✓	✓	✓	✓
Hammer drilling 	✓	✓	✓	✓
Static and quasi static loading in cracked and non-cracked concrete	M8 to M30	φ 8 to φ 32	M12 to M27	M8 to M20
Seismic performance category C1	M10 to M30	φ 10 to φ 32	M12 to M27	-
Seismic performance category C2	M16 to M24, HIT-V 8.8, AM 8.8 HIT-V-F 8.8, AM HDG 8.8 Commercial standard rod (electroplated zinc coated only)	-	-	-

Injection System Hilti HIT-HY 200-A

**Intended Use
Specifications**

Annex B1

Use conditions (Environmental conditions):

- Structures subject to dry internal conditions (zinc coated steel, stainless steel or high corrosion resistant steel).
- Structures subject to external atmospheric exposure (including industrial and marine environment) and to permanently damp internal conditions, if no particular aggressive conditions exist (stainless steel or high corrosion resistant steel).
- Structures subject to external atmospheric exposure and to permanently damp internal conditions, if other particular aggressive conditions exist (high corrosion resistant steel).

Note: Particular aggressive conditions are e.g. permanent, alternating immersion in seawater or the splash zone of seawater, chloride atmosphere of indoor swimming pools or atmosphere with extreme chemical pollution (e.g. in desulphurization plants or road tunnels where de-icing products are used).

Design:

- Anchorages are designed under the responsibility of an engineer experienced in anchorages and concrete work.
- Verifiable calculation notes and drawings are prepared taking account of the loads to be anchored. The position of the anchor is indicated on the design drawings (e. g. position of the anchor relative to reinforcement or to supports, etc.).
- Anchorages under static or quasi-static loading are designed in accordance with:
"EOTA Technical Report TR 029, Edition September 2010"
- Anchorages under seismic actions (cracked concrete) are designed in accordance with:
"EOTA Technical Report TR 045, Edition February 2013"

Anchorages shall be positioned outside of critical regions (e.g. plastic hinges) of the concrete structure. Fastenings in stand-off installation or with a grout layer under seismic action are not covered in this European technical assessment (ETA).

Installation:

- Use category: dry or wet concrete (not in flooded holes)
- Overhead installation is admissible
- Anchor installation carried out by appropriately qualified personnel and under the supervision of the person responsible for technical matters of the site.

Injection System Hilti HIT-HY 200-A

**Intended Use
Specifications**

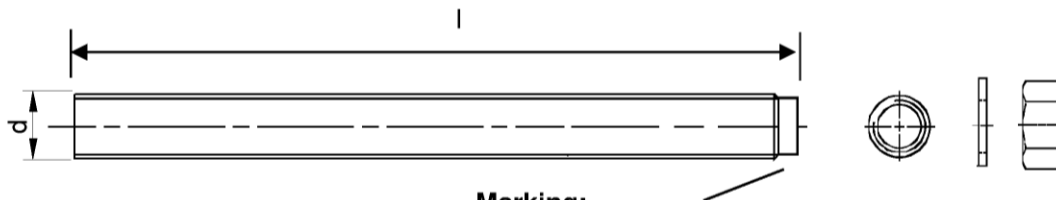
Annex B2

Table B2: Installation parameters of threaded rod and HIT-V-... and AM 8.8

Threaded rod and HIT-V-... AM 8.8			M8	M10	M12	M16	M20	M24	M27	M30
Diameter of element	d	[mm]	8	10	12	16	20	24	27	30
Nominal diameter of drill bit	d ₀	[mm]	10	12	14	18	22	28	30	35
Effective embedment depth and drill hole depth	h _{ef} = h ₀	[mm]	60 to 160	60 to 200	70 to 240	80 to 320	90 to 400	96 to 480	108 to 540	120 to 600
Maximum diameter of clearance hole in the fixture ¹⁾	d _f	[mm]	9	12	14	18	22	26	30	33
Thickness of Hilti filling set	h _{fs}	[mm]	-	-	-	11	13	15	-	-
Effective fixture thickness with Hilti filling set	t _{fix,eff}	[mm]	t _{fix,eff} = t _{fix} - h _{fs}							
Minimum thickness of concrete member	h _{min}	[mm]	h _{ef} + 30 ≥ 100 mm			h _{ef} + 2 · d ₀				
Maximum torque moment	T _{max}	[Nm]	10	20	40	80	150	200	270	300
Minimum spacing	s _{min}	[mm]	40	50	60	75	90	115	120	140
Minimum edge distance	c _{min}	[mm]	40	45	45	50	55	60	75	80

¹⁾ for larger clearance hole see "TR 029 section 1.1"

HIT-V-...



Marking:

- 5.8 - l = HIT-V-5.8 M...x l
- 5.8F - l = HIT-V-5.8F M...x l
- 8.8 - l = HIT-V-8.8 M...x l
- 8.8F - l = HIT-V-8.8F M...x l
- R - l = HIT-V-R M ...x l
- HCR - l = HIT-V-HCR M ...x l

Hilti meter rod AM (HDG) 8.8



Injection System Hilti HIT-HY 200-A

Intended Use

Installation parameters of threaded rod, HIT-V-... and AM 8.8

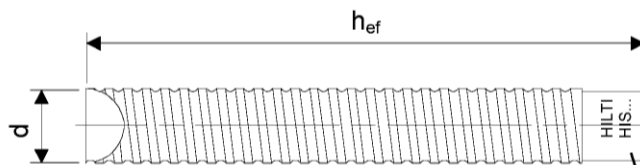
Annex B3

Table B3: Installation parameters of internally threaded sleeve HIS-(R)N

Internally threaded sleeve HIS-(R)N...	M8	M10	M12	M16	M20
Outer diameter of sleeve d [mm]	12,5	16,5	20,5	25,4	27,6
Nominal diameter of drill bit d_0 [mm]	14	18	22	28	32
Effective embedment depth and drill hole depth $h_{ef} = h_0$ [mm]	90	110	125	170	205
Maximum diameter of clearance hole in the fixture ¹⁾ d_f [mm]	9	12	14	18	22
Minimum thickness of concrete member h_{min} [mm]	120	150	170	230	270
Maximum torque moment T_{max} [Nm]	10	20	40	80	150
Thread engagement length min-max h_s [mm]	8-20	10-25	12-30	16-40	20-50
Minimum spacing s_{min} [mm]	60	75	90	115	130
Minimum edge distance c_{min} [mm]	40	45	55	65	90

¹⁾ for larger clearance hole see "TR 029 section 1.1"

Internally threaded sleeve HIS-(R)N...



Marking:
Identifying mark - HILTI and
embossing "HIS-N" (for C-steel)
embossing "HIS-RN" (for stainless steel)

Injection System Hilti HIT-HY 200-A

Intended Use

Installation parameters of internally threaded sleeve HIS-(R)N

Annex B4

Table B4: Installation parameters of Hilti tension anchor HZA-R

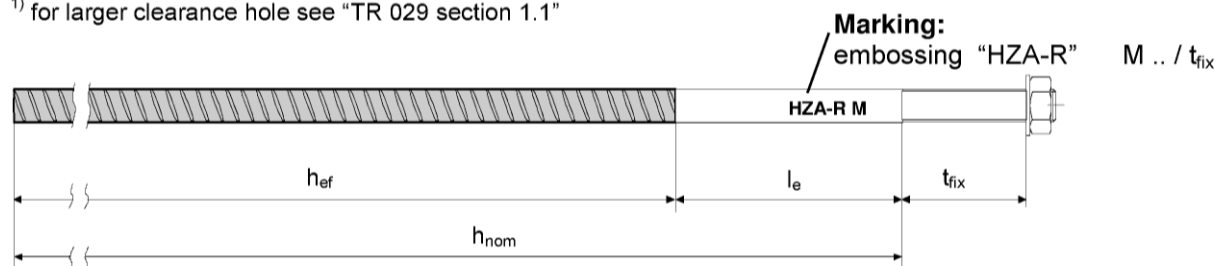
Hilti tension anchor HZA-R ...			M12	M16	M20	M24
Rebar diameter	ϕ	[mm]	12	16	20	25
Nominal embedment depth and drill hole depth	$h_{nom} = h_0$	[mm]	170 to 240	180 to 320	190 to 400	200 to 500
Effective embedment depth ($h_{ef} = h_{nom} - l_e$)	h_{ef}	[mm]	$h_{nom} - 100$			
Length of smooth shaft	l_e	[mm]	100			
Nominal diameter of drill bit	d_0	[mm]	16	20	25	32
Maximum diameter of clearance hole in the fixture ¹⁾	d_f	[mm]	14	18	22	26
Maximum torque moment	T_{max}	[Nm]	40	80	150	200
Minimum thickness of concrete member	h_{min}	[mm]	$h_{nom} + 2 \cdot d_0$			
Minimum spacing	s_{min}	[mm]	65	80	100	130
Minimum edge distance	c_{min}	[mm]	45	50	55	60

¹⁾ for larger clearance hole see "TR 029 section 1.1"

Table B5: Installation parameters of Hilti tension anchor HZA

Hilti tension anchor HZA...			M12	M16	M20	M24	M27
Rebar diameter	ϕ	[mm]	12	16	20	25	28
Nominal embedment depth and drill hole depth	$h_{nom} = h_0$	[mm]	90 to 240	100 to 320	110 to 400	120 to 500	140 to 560
Effective embedment depth ($h_{ef} = h_{nom} - l_e$)	h_{ef}	[mm]	$h_{nom} - 20$				
Length of smooth shaft	l_e	[mm]	20				
Nominal diameter of drill bit	d_0	[mm]	16	20	25	32	35
Maximum diameter of clearance hole in the fixture ¹⁾	d_f	[mm]	14	18	22	26	30
Maximum torque moment	T_{max}	[Nm]	40	80	150	200	270
Minimum thickness of concrete member	h_{min}	[mm]	$h_{nom} + 2 \cdot d_0$				
Minimum spacing	s_{min}	[mm]	65	80	100	130	140
Minimum edge distance	c_{min}	[mm]	45	50	55	60	75

¹⁾ for larger clearance hole see "TR 029 section 1.1"



Injection System Hilti HIT-HY 200-A

Intended Use

Installation parameters of Hilti tension anchor HZA-(R)

Annex B5

Table B6: Installation parameters of reinforcing bar

Reinforcing bar (rebar)	ϕ 8	ϕ 10	ϕ 12	ϕ 14	ϕ 16	ϕ 20	ϕ 25	ϕ 26	ϕ 28	ϕ 30	ϕ 32
Diameter ϕ [mm]	8	10	12	14	16	20	25	26	28	30	32
Effective embedment depth and drill hole depth $h_{ef} = h_0$ [mm]	60 to 160	60 to 200	70 to 240	75 to 280	80 to 320	90 to 400	100 to 500	104 to 520	112 to 560	120 to 600	128 to 640
Nominal diameter of drill bit d_0 [mm]	10 / 12 ¹⁾	12 / 14 ¹⁾	14 ¹⁾ / 16 ¹⁾	18	20	25	32	32	35	37	40
Minimum thickness of concrete member h_{min} [mm]	$h_{ef} + 30 \geq 100$ mm			$h_{ef} + 2 \cdot d_0$							
Minimum spacing s_{min} [mm]	40	50	60	70	80	100	125	130	140	150	160
Minimum edge distance c_{min} [mm]	40	45	45	50	50	65	70	75	75	80	80

¹⁾ Each of the two given values can be used.

Reinforcing bar



For rebar bolt

- Minimum value of related rip area $f_{R,min}$ according to EN 1992-1-1:2004+AC:2010
- Rib height of the bar h_{rib} shall be in the range $0,05 \cdot \phi \leq h_{rib} \leq 0,07 \cdot \phi$
(ϕ : Nominal diameter of the bar; h_{rib} : Rib height of the bar)

Injection System Hilti HIT-HY 200-A

Intended Use
Installation parameters of reinforcing bar (rebar)

Annex B6

Table B7: Maximum working time and minimum curing time

Temperature in the base material T	Maximum working time t_{work}	Minimum curing time t_{cure}
-10 °C to -5 °C	1,5 hours	7 hours
> -5 °C to 0 °C	50 min	4 hours
> 0 °C to 5 °C	25 min	2 hours
> 5 °C to 10 °C	15 min	75 min
> 10 °C to 20 °C	7 min	45 min
> 20 °C to 30 °C	4 min	30 min
> 30 °C to 40 °C	3 min	30 min

Injection System Hilti HIT-HY 200-A

Intended Use
Maximum working time and minimum curing time

Annex B7

Table B8: Parameters of cleaning and setting tools

Elements				Drill and clean		Installation	
Threaded rod, HIT-V-... AM 8.8	HIS-(R)N	Rebar	HZA-(R)	Hammer drilling		Brush	Piston plug
					hollow drill bit		
							
size	size	size	size	d ₀ [mm]	d ₀ [mm]	HIT-RB	HIT-SZ
M8	-	φ8	-	10	-	10	-
M10	-	φ8 / φ10	-	12	12 ¹⁾	12	12
M12	M8	φ10 / φ12	-	14	14 ¹⁾	14	14
-	-	φ12	M12	16	16	16	16
M16	M10	φ14	-	18	18	18	18
-	-	φ16	M16	20	20	20	20
M20	M12	-	-	22	22	22	22
-	-	φ20	M20	25	25	25	25
M24	M16	-	-	28	28	28	28
M27	-	-	-	30	-	30	30
-	M20	φ25 / φ26	M24	32	32	32	32
M30	-	φ28	M27	35	35	35	35
-	-	φ30	-	37	-	37	37
-	-	φ32	-	40	-	40	40

¹⁾ To be used in combination with Hilti vacuum cleaner with suction volume ≥ 61 l/s (VC 20/40 –Y in corded mode only).

Cleaning alternatives

Manual Cleaning (MC):

Hilti hand pump for blowing out drill holes with diameters d₀ ≤ 20 mm and drill hole depths h₀ ≤ 10 · d



Compressed air cleaning (CAC):

Air nozzle with an orifice opening of minimum 3,5 mm in diameter.



Automatic Cleaning (AC):

Cleaning is performed during drilling with Hilti TE-CD and TE-YD drilling system including vacuum cleaner.



Injection System Hilti HIT-HY 200-R

Intended Use

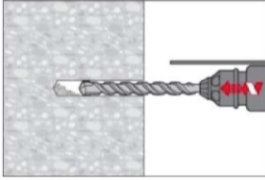
Cleaning and setting tools

Annex B8

Installation instruction

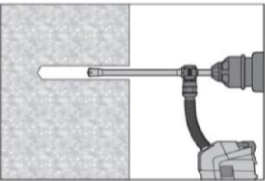
Hole drilling

a) Hammer drilling



Drill hole to the required embedment depth with a hammer drill set in rotation-hammer mode using an appropriately sized carbide drill bit.

b) Hammer drilling with Hilti hollow drill bit



Drill hole to the required embedment depth with an appropriately sized Hilti TE-CD or TE-YD hollow drill bit attached to Hilti vacuum cleaner VC 20/40 (-Y) (suction volume ≥ 57 l/s) with automatic cleaning of the filter activated. This drilling system removes the dust and cleans the bore hole during drilling when used in accordance with the user's manual. When using TE-CD size 12 and 14 refer to Table B8.

After drilling is completed, proceed to the "injection preparation" step in the installation instruction.

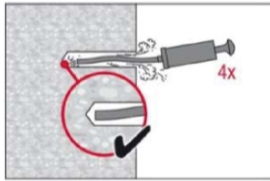
Drill hole cleaning

Just before setting an anchor, the drill hole must be free of dust and debris.

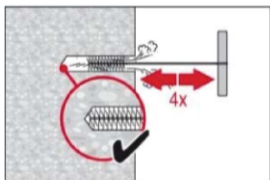
Manual Cleaning (MC)

non-cracked concrete only

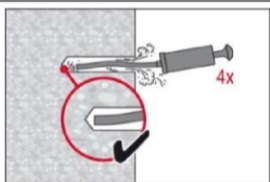
for drill hole diameters $d_0 \leq 20$ mm and drill hole depths $h_0 \leq 10 \cdot d$



The Hilti hand pump may be used for blowing out drill holes up to diameters $d_0 \leq 20$ mm and embedment depths up to $h_{ef} \leq 10 \cdot d$. Blow out at least 4 times from the back of the drill hole until return air stream is free of noticeable dust.



Brush 4 times with the specified brush (see Table B8) by inserting the steel brush Hilti HIT-RB to the back of the hole (if needed with extension) in a twisting motion and removing it. The brush must produce natural resistance as it enters the drill hole (brush $\varnothing \geq$ drill hole \varnothing) - if not the brush is too small and must be replaced with the proper brush diameter.



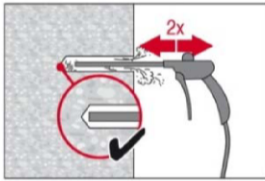
Blow out again with Hilti hand pump at least 4 times until return air stream is free of noticeable dust.

Injection System Hilti HIT-HY 200-R

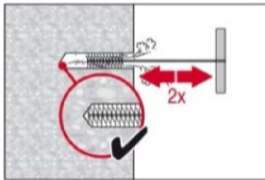
Intended Use
Installation instructions

Annex B9

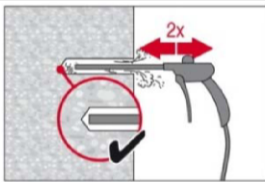
Compressed air cleaning (CAC) for all drill hole diameters d_0 and all drill hole depths h_0



Blow 2 times from the back of the hole (if needed with nozzle extension) over the hole length with oil-free compressed air (min. 6 bar at 6 m³/h) until return air stream is free of noticeable dust.
For drill hole diameters ≥ 32 mm the compressor has to supply a minimum air flow of 140 m³/h.

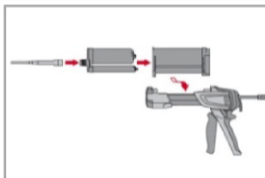


Brush 2 times with the specified brush (see Table B8) by inserting the steel brush Hilti HIT-RB to the back of the hole (if needed with extension) in a twisting motion and removing it.
The brush must produce natural resistance as it enters the drill hole (brush $\varnothing \geq$ drill hole \varnothing) - if not the brush is too small and must be replaced with the proper brush diameter.

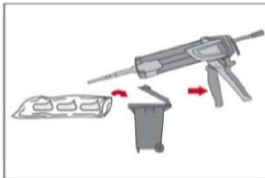


Blow again with compressed air 2 times until return air stream is free of noticeable dust.

Injection preparation



Tightly attach new Hilti mixing nozzle HIT-RE-M to foil pack manifold (snug fit). Do not modify the mixing nozzle.
Observe the instruction for use of the dispenser.
Check foil pack holder for proper function. Do not use damaged foil packs / holders.
Insert foil pack into foil pack holder and put holder into the dispenser.



Discard initial adhesive. The foil pack opens automatically as dispensing is initiated. Depending on the size of the foil pack an initial amount of adhesive has to be discarded. Discarded quantities are

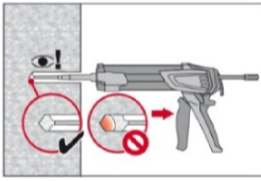
2 strokes	for 330 ml foil pack,
3 strokes	for 500 ml foil pack,
4 strokes	for 500 ml foil pack ≤ 5 °C.

Injection System Hilti HIT-HY 200-A

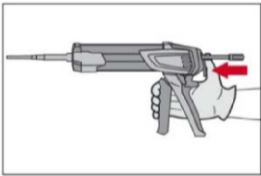
Intended Use
Installation instructions

Annex B10

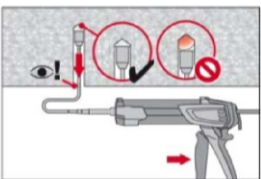
Inject adhesive from the back of the drill hole without forming air voids.



Inject the adhesive starting at the back of the hole, slowly withdrawing the mixer with each trigger pull.
Fill holes approximately 2/3 full, to ensure that the annular gap between the anchor and the concrete is completely filled with adhesive along the embedment length.

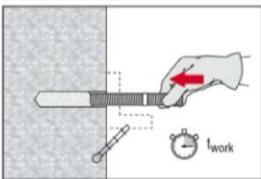


After injection is completed, depressurize the dispenser by pressing the release trigger. This will prevent further adhesive discharge from the mixer.

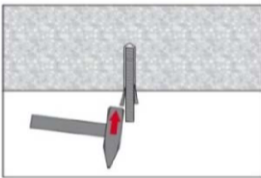


Overhead installation and/or installation with embedment depth $h_{ef} > 250\text{mm}$.
For overhead installation the injection is only possible with the aid of extensions and piston plugs. Assemble HIT-RE-M mixer, extension(s) and appropriately sized piston plug (see Table B8). Insert piston plug to back of the hole and inject adhesive. During injection the piston plug will be naturally extruded out of the drill hole by the adhesive pressure

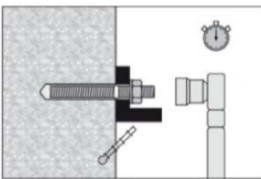
Setting the element



Before use, verify that the element is dry and free of oil and other contaminants.
Mark and set element to the required embedment depth until working time t_{work} has elapsed. The working time t_{work} is given in Table B7.



For overhead installation use piston plugs and fix embedded parts with e.g. wedges.

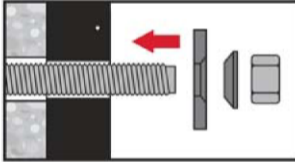


Loading the anchor: After required curing time t_{cure} (see Table B7) the anchor can be loaded.
The applied installation torque shall not exceed the values T_{max} given in Table B2 to Table B5.

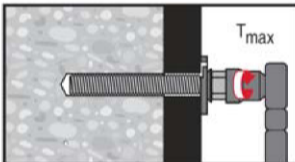
Injection System Hilti HIT-HY 200-A

Annex B11

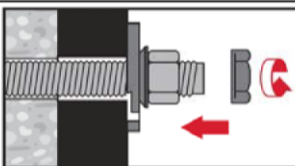
Installation of Filling Set



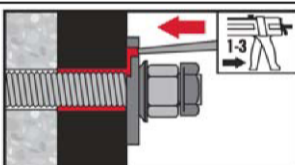
Use Hilti filling set with standard nut. Observe the correct orientation of filling washer and spherical washer.



The applied installation torque shall not exceed the values T_{max} given in Table B2 to Table B5.



Optional:
Installation of lock nut. Tighten with a $\frac{1}{4}$ to $\frac{1}{2}$ turn. (Not for size M24.)



Fill the annular gap between the anchor rod and fixture with 1-3 strokes of Hilti injection mortar HIT-HY 200 A. Follow the installation instructions supplied with the HIT-HY 200 A foil pack. After required curing time t_{cure} the anchor can be loaded.

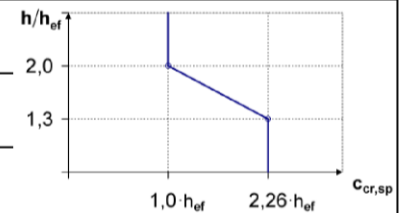
Injection System Hilti HIT-HY 200-A

Intended Use
Installation instructions

Annex B12

Table C1: Characteristic values of resistance for threaded rod, HIT-V-... and AM 8.8 under tension loads in concrete

HIT-HY 200-A with threaded rod, HIT-V-..., AM 8.8			M8	M10	M12	M16	M20	M24	M27	M30	
Installation safety factor	γ_2	[-]	1,0								
Steel failure											
Characteristic steel resistance	$N_{Rk,s}$	[kN]	$A_s \cdot f_{uk}$								
Partial safety factor grade 5.8	$\gamma_{Ms,N}^{1)}$	[-]	1,5								
Partial safety factor grade 8.8	$\gamma_{Ms,N}^{1)}$	[-]	1,5								
Partial safety factor HIT-V-R	$\gamma_{Ms,N}^{1)}$	[-]	1,86						2,86		
Partial safety factor HIT-V-HCR	$\gamma_{Ms,N}^{1)}$	[-]	1,5				2,1				
Combined pullout and concrete cone failure											
Characteristic bond resistance in non-cracked concrete C20/25											
Temperature range I: 40 °C/24 °C	$\tau_{Rk,ucr}$	[N/mm ²]	18								
Temperature range II: 80 °C/50 °C	$\tau_{Rk,ucr}$	[N/mm ²]	15								
Temperature range III: 120 °C/72 °C	$\tau_{Rk,ucr}$	[N/mm ²]	13								
Characteristic bond resistance in cracked concrete C20/25											
Temperature range I: 40 °C/24 °C	$\tau_{Rk,cr}$	[N/mm ²]	7,5	8,5				9,0			
Temperature range II: 80 °C/50 °C	$\tau_{Rk,cr}$	[N/mm ²]	6,0	7,0				7,5			
Temperature range III: 120 °C/72 °C	$\tau_{Rk,cr}$	[N/mm ²]	5,5	6,0				6,5			
Increasing factors for τ_{Rk} in concrete	ψ_c	C30/37	1,04								
		C40/45	1,07								
		C50/60	1,1								
Splitting failure											
Edge distance $c_{cr,sp}$ [mm] for	$h / h_{ef} \geq 2,0$		$1,0 \cdot h_{ef}$								
	$2,0 > h / h_{ef} > 1,3$		$4,6 h_{ef} - 1,8 h$								
	$h / h_{ef} \leq 1,3$		$2,26 h_{ef}$								
Spacing	$s_{cr,sp}$	[mm]	$2 \cdot c_{cr,sp}$								



¹⁾ In absence of national regulations.

Injection System Hilti HIT-HY 200-A

Performances

Characteristic values of resistance under tension loads in concrete
Design according to „EOTA Technical Report TR 029, Edition September 2010“

Annex C1

Table C2: Characteristic values of resistance for threaded rod, HIT-V-... and AM 8.8 under shear loads

HIT-HY 200-A with threaded rod, HIT-V-..., AM 8.8			M8	M10	M12	M16	M20	M24	M27	M30	
Steel failure without lever arm											
Characteristic steel resistance	$V_{Rk,s}$	[kN]	$0,5 \cdot A_s \cdot f_{uk}$								
Partial safety factor grade 5.8	$\gamma_{Ms,V}^{1)}$	[-]	1,25								
Partial safety factor grade 8.8	$\gamma_{Ms,V}^{1)}$	[-]	1,25								
Partial safety factor HIT-V-R	$\gamma_{Ms,V}^{1)}$	[-]	1,56						2,38		
Partial safety factor HIT-V-HCR	$\gamma_{Ms,V}^{1)}$	[-]	1,25				1,75				
Steel failure with lever arm											
Characteristic bending moment	$M^0_{Rk,s}$	[Nm]	$1,2 \cdot W_{el} \cdot f_{uk}$								
Concrete pry-out failure											
Factor in equation (5.7) of Technical Report TR 029 for the design of bonded anchors	k	[-]	2,0								
Concrete edge failure											
The value of h_{ef} for calculation in equations (5.8a) and (5.8b) of Technical Report TR 029 is limited by:			$\min(h_{ef}; 12 \cdot d_{nom})$								
Outside diameter of anchor	d_{nom}	[mm]	8	10	12	16	20	24	27	30	

¹⁾ In absence of national regulations.

Injection System Hilti HIT-HY 200-A

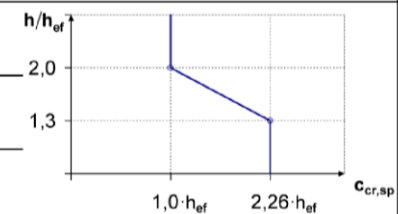
Performances

Characteristic values of resistance under shear loads in concrete
Design according to „EOTA Technical Report TR 029, Edition September 2010“

Annex C2

Table C3: Characteristic values of resistance for internally threaded sleeve HIS-(R)N under tension loads in concrete

Hilti HIT-HY 200-A with HIS-(R)N			M8	M10	M12	M16	M20
Installation safety factor	γ_2	[-]	1,0				
Steel failure threaded rods							
Characteristic resistance HIS-N with screw grade 8.8	$N_{Rk,s}$	[kN]	25	46	67	125	116
Partial safety factor	$\gamma_{Ms,N}^{1)}$	[-]	1,50				
Characteristic resistance HIS-RN with screw grade 70	$N_{Rk,s}$	[kN]	26	41	59	110	166
Partial safety factor	$\gamma_{Ms,N}^{1)}$	[-]	1,87				
Combined pull-out and Concrete cone failure							
Effective anchorage depth	h_{ef}	[mm]	90	110	125	170	205
Effective anchor diameter	d_1	[mm]	12,5	16,5	20,5	25,4	27,6
Characteristic bond resistance in non-cracked concrete C20/25							
Temperature range I: 40 °C/24 °C	$\tau_{Rk,ucr}$	[N/mm ²]	13				
Temperature range II: 80 °C/50 °C	$\tau_{Rk,ucr}$	[N/mm ²]	11				
Temperature range III: 120 °C/72 °C	$\tau_{Rk,ucr}$	[N/mm ²]	9,5				
Characteristic bond resistance in cracked concrete C20/25							
Temperature range I: 40 °C/24 °C	$\tau_{Rk,cr}$	[N/mm ²]	7				
Temperature range II: 80 °C/50 °C	$\tau_{Rk,cr}$	[N/mm ²]	5,5				
Temperature range III: 120 °C/72 °C	$\tau_{Rk,cr}$	[N/mm ²]	5				
Increasing factor for τ_{Rk} in concrete	ψ_c	C30/37	1,04				
		C40/45	1,07				
		C50/60	1,1				
Splitting failure relevant for non-cracked concrete							
Edge distance $c_{cr,sp}$ [mm] for	$h / h_{ef} \geq 2,0$		$1,0 \cdot h_{ef}$				
	$2,0 > h / h_{ef} > 1,3$		$4,6 \cdot h_{ef} - 1,8 \cdot h$				
	$h / h_{ef} \leq 1,3$		$2,26 \cdot h_{ef}$				
Spacing	$s_{cr,sp}$	[mm]	$2 \cdot c_{cr,sp}$				



¹⁾ In absence of national regulations.

Injection System Hilti HIT-HY 200-A

Performances

Characteristic values of resistance under tension loads in concrete
Design according to „EOTA Technical Report TR 029, Edition September 2010“

Annex C3

Table C4: Characteristic values of resistance for internally threaded sleeve HIS-(R)N under shear loads in concrete

Hilti HIT-HY 200-A with HIS-(R)N			M8	M10	M12	M16	M20
Steel failure without lever arm							
Characteristic resistance HIS-N with screw grade 8.8	$V_{Rk,s}$	[kN]	13	23	34	63	58
Partial safety factor	$\gamma_{Ms,V}^{1)}$	[-]	1,25				
Characteristic resistance HIS-RN with screw grade 70	$V_{Rk,s}$	[kN]	13	20	30	55	83
Partial safety factor	$\gamma_{Ms,V}^{1)}$	[-]	1,56				
Steel failure with lever arm							
Characteristic resistance HIS-N with screw grade 8.8	$M_{Rk,s}^o$	[Nm]	30	60	105	266	519
Partial safety factor	$\gamma_{Ms,V}^{1)}$	[-]	1,25				
Characteristic resistance HIS-RN with screw grade 70	$M_{Rk,s}^o$	[Nm]	26	52	92	233	454
Partial safety factor	$\gamma_{Ms,V}^{1)}$	[-]	1,56				
Concrete pry-out failure							
Factor in equation (5.7) of Technical Report TR 029 for the design of bonded anchors	k	[-]	2,0				
Concrete edge failure							
Outside diameter of anchor	d_{nom}	[mm]	12,5	16,5	20,5	25,4	27,6

¹⁾ In absence of national regulations.

Injection System Hilti HIT-HY 200-A

Performances

Characteristic values of resistance under shear loads in concrete
Design according to „EOTA Technical Report TR 029, Edition September 2010“

Annex C4

Table C5: Characteristic values of resistance for Hilti tension anchor HZA / HZA-R under tension loads in concrete

Hilti HIT-HY 200-A with HZA, HZA-R			M12	M16	M20	M24	M27
Installation safety factor	γ_2	[-]	1,0				
Steel failure							
Characteristic resistance HZA	$N_{Rk,s}$	[kN]	46	86	135	194	253
Characteristic resistance HZA-R	$N_{Rk,s}$	[kN]	62	111	173	248	-
Partial safety factor	γ_{Ms}^1	[-]	1,4				
Combined pull-out and concrete cone failure							
Diameter of rebar	d	[mm]	12	16	20	25	28
Characteristic bond resistance in non-cracked concrete C20/25							
Temperature range I: 40 °C/24 °C	$\tau_{Rk,ucr}$	[N/mm ²]	12				
Temperature range II: 80 °C/50 °C	$\tau_{Rk,ucr}$	[N/mm ²]	10				
Temperature range III: 120 °C/72 °C	$\tau_{Rk,ucr}$	[N/mm ²]	8,5				
Characteristic bond resistance in cracked concrete C20/25							
Temperature range I: 40 °C/24 °C	$\tau_{Rk,cr}$	[N/mm ²]	7				
Temperature range II: 80 °C/50 °C	$\tau_{Rk,cr}$	[N/mm ²]	5,5				
Temperature range III: 120 °C/72 °C	$\tau_{Rk,cr}$	[N/mm ²]	5				
Increasing factor for τ_{Rk} in concrete	ψ_c	C30/37	1,04				
		C40/45	1,07				
		C50/60	1,1				
Effective anchorage depth for calculation of $N_{Rk,p}^0$ acc. Eq. 5.2a (TR 029, 5.2.2.3 Combined pull-out and concrete cone failure)	HZA	h_{ef}	[mm]	$h_{nom} - 20$			
	HZA-R	h_{ef}	[mm]	$h_{nom} - 100$			-
Concrete cone failure							
Effective anchorage depth for calculation of $N_{Rk,c}^0$ acc. Eq. 5.3a (TR 029, 5.2.2.4 Concrete cone failure)	HZA HZA-R	h_{ef}	[mm]	h_{nom}			
Splitting failure relevant for non-cracked concrete							
Edge distance $c_{cr,sp}$ [mm] for	$h / h_{ef} \geq 2,0$		$1,0 \cdot h_{ef}$				
	$2,0 > h / h_{ef} > 1,3$		$4,6 \cdot h_{ef} - 1,8 \cdot h$				
	$h / h_{ef} \leq 1,3$		$2,26 \cdot h_{ef}$				
Spacing	$s_{cr,sp}$	[mm]	$2 \cdot c_{cr,sp}$				

¹⁾ In absence of national regulations.

Injection System Hilti HIT-HY 200-A

Performances

Characteristic values of resistance under tension loads in concrete
Design according to „EOTA Technical Report TR 029, Edition September 2010“

Annex C5

Table C6: Characteristic values of resistance for Hilti tension anchor HZA, HZA-R under shear loads in concrete

Hilti HIT-HY 200-A with HZA, HZA-R				M12	M16	M20	M24	M27
Steel failure without lever arm								
Characteristic resistance	HZA	$V_{Rk,s}$	[kN]	23	43	67	97	126
Characteristic resistance	HZA-R	$V_{Rk,s}$	[kN]	31	55	86	124	-
Partial safety factor		γ_{Ms} ¹⁾	[-]	1,5				
Steel failure with lever arm								
Characteristic resistance	HZA	$M_{Rk,s}^0$	[Nm]	72	183	357	617	915
Characteristic resistance	HZA-R	$M_{Rk,s}^0$	[Nm]	97	234	457	790	-
Partial safety factor		γ_{Ms} ¹⁾	[-]	1,5				
Concrete pry-out failure								
Factor in equation (5.7) of Technical Report TR 029 for the design of bonded anchors		k	[-]	2,0				
Concrete edge failure								
The value of h_{ef} for calculation in equations (5.8a) and (5.8b) of Technical Report TR 029 is limited by:				min (h_{nom} ; $12 \cdot d_{nom}$)				
Outside diameter of anchor		d_{nom}	[mm]	12	16	20	24	27

¹⁾ In absence of national regulations.

Injection System Hilti HIT-HY 200-A

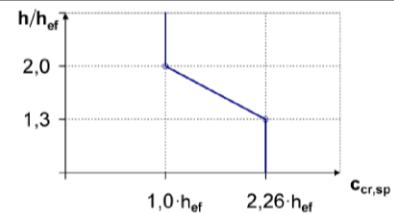
Performances

Characteristic values of resistance under shear loads in concrete
Design according to „EOTA Technical Report TR 029, Edition September 2010“

Annex C6

Table C7: Characteristic values of resistance for rebar under tension loads in concrete

HIT-HY 200-A with rebar		φ 8	φ 10	φ 12	φ 14	φ 16	φ 20	φ 25	φ 26	φ 28	φ 30	φ 32	
Installation safety factor	γ_2 [-]	1,0											
Steel failure													
Characteristic resistance for rebar B500B acc. to DIN 488:2009-08 ²⁾	$N_{Rk,s}$ [kN]	28	43	62	85	111	173	270	292	339	388	442	
Partial safety factor ³⁾	$\gamma_{Ms,N}$ ¹⁾ [-]	1,4											
Combined pull-out and Concrete cone failure													
Diameter of rebar	d [mm]	8	10	12	14	16	20	25	26	28	30	32	
Characteristic bond resistance in non-cracked concrete C20/25													
Temperature range I: 40°C/24°C	$\tau_{Rk,ucr}$ [N/mm ²]	12											
Temperature range II: 80°C/50°C	$\tau_{Rk,ucr}$ [N/mm ²]	10											
Temperature range III: 120°C/72°C	$\tau_{Rk,ucr}$ [N/mm ²]	8,5											
Characteristic bond resistance in cracked concrete C20/25													
Temperature range I: 40°C/24°C	$\tau_{Rk,cr}$ [N/mm ²]	-	5						7				
Temperature range II: 80°C/50°C	$\tau_{Rk,cr}$ [N/mm ²]	-	4						5,5				
Temperature range III: 120°C/72°C	$\tau_{Rk,cr}$ [N/mm ²]	-	3,5						5				
Increasing factor for τ_{Rk} in concrete	ψ_c	C30/37					1,04						
		C40/45					1,07						
		C50/60					1,1						
Splitting failure relevant for non-cracked concrete													
Edge distance $c_{cr,sp}$ [mm] for	$h / h_{ef} \geq 2,0$	$1,0 \cdot h_{ef}$											
	$2,0 > h / h_{ef} > 1,3$	$4,6 \cdot h_{ef} - 1,8 \cdot h$											
	$h / h_{ef} \leq 1,3$	$2,26 \cdot h_{ef}$											
Spacing	$s_{cr,sp}$ [mm]	$2 c_{cr,sp}$											



- 1) In absence of national regulations
- 2) The characteristic tension resistance $N_{Rk,s}$ for rebars that do not fulfill the requirements acc. to DIN 488 shall be calculated acc. Technical Report TR 029, Equation (5.1).
- 3) The partial safety factor $\gamma_{Ms,N}$ that do not fulfill the requirements acc. to DIN 488 shall be calculated acc. Technical Report TR 029, Equation (3.3a).

Injection System Hilti HIT-HY 200-A

Performances

Characteristic values of resistance under tension loads in concrete
Design according to „EOTA Technical Report TR 029, Edition September 2010“

Annex C7

Table C8: Characteristic values of resistance for rebar under shear loads in concrete

HIT-HY 200-A with rebar	φ 8	φ 10	φ 12	φ 14	φ 16	φ 20	φ 25	φ 26	φ 28	φ 30	φ 32
Steel failure without lever arm											
Characteristic resistance for rebar B500B acc. to DIN 488:2009-08 ²⁾ $V_{Rk,s}$ [kN]	14	22	31	42	55	86	135	146	169	194	221
Partial safety factor ⁴⁾ $\gamma_{Ms,V}$ ¹⁾ [-]	1,5										
Steel failure with lever arm											
Characteristic resistance for rebar B500B acc. to DIN 488:2009-08 ³⁾ $M^o_{Rk,s}$ [Nm]	33	65	112	178	265	518	1012	1139	1422	1749	2123
Concrete pry-out failure											
Factor in equation (5.7) of Technical Report TR 029 for the design of bonded anchors k [-]	2,0										
Concrete edge failure											
The value of h_{ef} for calculation in equations (5.8a) and (5.8b) of Technical Report TR 029 is limited by:	$\min(h_{ef}; 12 \cdot d_{nom})$										
Outside diameter of anchor d_{nom} [mm]	8	10	12	14	16	20	25	26	28	30	32

¹⁾ In absence of national regulations.

²⁾ The characteristic shear resistance $V_{Rk,s}$ for rebars that do not fulfill the requirements acc. DIN 488 shall be calculated acc. Technical Report TR 029, Equation (5.5).

³⁾ The characteristic bending resistance $M^o_{Rk,s}$ for rebars that do not fulfil the requirements acc. DIN 488 shall be calculated acc. Technical Report TR 029, Equation (5.6b).

⁴⁾ The partial safety factor $\gamma_{Ms,V}$ for rebar that do not fulfill the requirements acc. to DIN 488 shall be calculated acc. Technical Report 029, Equation (3.3b) or (3.3c).

Injection System Hilti HIT-HY 200-A

Performances

Characteristic values of resistance under shear loads in concrete
Design according to „EOTA Technical Report TR 029, Edition September 2010“

Annex C8

Table C9: Displacements under tension load

Hilti HIT-HY 200-A with threaded rod, HIT-V-..., AM 8.8		M8	M10	M12	M16	M20	M24	M27	M30	
Non-cracked concrete temperature range I : 40°C / 24°C										
Displacement	δ_{N0}	[mm/(N/mm ²)]	0,02	0,03	0,03	0,04	0,06	0,07	0,07	0,08
	$\delta_{N\infty}$	[mm/(N/mm ²)]	0,04	0,05	0,06	0,08	0,10	0,13	0,14	0,16
Non-cracked concrete temperature range II : 80°C / 50°C										
Displacement	δ_{N0}	[mm/(N/mm ²)]	0,03	0,04	0,05	0,06	0,08	0,09	0,10	0,12
	$\delta_{N\infty}$	[mm/(N/mm ²)]	0,04	0,05	0,06	0,09	0,11	0,13	0,15	0,16
Non-cracked concrete temperature range III : 120°C / 72°C										
Displacement	δ_{N0}	[mm/(N/mm ²)]	0,04	0,05	0,06	0,08	0,10	0,12	0,13	0,16
	$\delta_{N\infty}$	[mm/(N/mm ²)]	0,04	0,05	0,07	0,09	0,11	0,13	0,15	0,17
Cracked concrete temperature range I : 40°C / 24°C										
Displacement	δ_{N0}	[mm/(N/mm ²)]	0,07							
	$\delta_{N\infty}$	[mm/(N/mm ²)]	0,16							
Cracked concrete temperature range II : 80°C / 50°C										
Displacement	δ_{N0}	[mm/(N/mm ²)]	0,10							
	$\delta_{N\infty}$	[mm/(N/mm ²)]	0,22							
Cracked concrete temperature range III : 120°C / 72°C										
Displacement	δ_{N0}	[mm/(N/mm ²)]	0,13							
	$\delta_{N\infty}$	[mm/(N/mm ²)]	0,29							

Table C10: Displacements under shear load

Hilti HIT-HY 200-A with threaded rod, HIT-V-...		M8	M10	M12	M16	M20	M24	M27	M30	
Displacement	δ_{V0}	[mm/kN]	0,06	0,06	0,05	0,04	0,04	0,03	0,03	0,03
	$\delta_{V\infty}$	[mm/kN]	0,09	0,08	0,08	0,06	0,06	0,05	0,05	0,05

Injection System Hilti HIT-HY 200-A

Performances
Displacements with threaded rod, HIT-V-... and AM 8.8

Annex C9

Table C11: Displacements under tension load

Hilti HIT-HY 200-A with HIS-(R)N		M8	M10	M12	M16	M20
Non-cracked concrete temperature range I : 40°C / 24°C						
Displacement	δ_{N0} [mm/(N/mm ²)]	0,03	0,05	0,06	0,07	0,08
	$\delta_{N\infty}$ [mm/(N/mm ²)]	0,06	0,09	0,11	0,13	0,14
Non-cracked concrete temperature range II : 80°C / 50°C						
Displacement	δ_{N0} [mm/(N/mm ²)]	0,05	0,06	0,08	0,10	0,11
	$\delta_{N\infty}$ [mm/(N/mm ²)]	0,07	0,09	0,11	0,13	0,15
Non-cracked concrete temperature range III : 120°C / 72°C						
Displacement	δ_{N0} [mm/(N/mm ²)]	0,06	0,08	0,10	0,13	0,14
	$\delta_{N\infty}$ [mm/(N/mm ²)]	0,07	0,09	0,11	0,14	0,15
Cracked concrete temperature range I : 40°C / 24°C						
Displacement	δ_{N0} [mm/(N/mm ²)]					0,11
	$\delta_{N\infty}$ [mm/(N/mm ²)]					0,16
Cracked concrete temperature range II : 80°C / 50°C						
Displacement	δ_{N0} [mm/(N/mm ²)]					0,15
	$\delta_{N\infty}$ [mm/(N/mm ²)]					0,22
Cracked concrete temperature range III : 120°C / 72°C						
Displacement	δ_{N0} [mm/(N/mm ²)]					0,20
	$\delta_{N\infty}$ [mm/(N/mm ²)]					0,29

Table C12: Displacements under shear load

Hilti HIT-HY 200-A with HIS-(R)N		M8	M10	M12	M16	M20
Displacement	δ_{V0} [mm/kN]	0,06	0,06	0,05	0,04	0,04
	$\delta_{V\infty}$ [mm/kN]	0,09	0,08	0,08	0,06	0,06

Injection System Hilti HIT-HY 200-A

Performances
Displacements with HIS-(R)N

Annex C10

Table C13: Displacements under tension load

Hilti HIT-HY 200-A with HZA, HZA-R			M12	M16	M20	M24	M27
Non-cracked concrete temperature range I : 40°C / 24°C							
Displacement	δ_{N0}	[mm/(N/mm ²)]	0,03	0,04	0,06	0,07	0,08
	$\delta_{N\infty}$	[mm/(N/mm ²)]	0,06	0,08	0,13	0,13	0,15
Non-cracked concrete temperature range II : 80°C / 50°C							
Displacement	δ_{N0}	[mm/(N/mm ²)]	0,05	0,06	0,08	0,10	0,11
	$\delta_{N\infty}$	[mm/(N/mm ²)]	0,06	0,09	0,14	0,14	0,15
Non-cracked concrete temperature range III : 120°C / 72°C							
Displacement	δ_{N0}	[mm/(N/mm ²)]	0,06	0,08	0,10	0,12	0,14
	$\delta_{N\infty}$	[mm/(N/mm ²)]	0,07	0,09	0,14	0,14	0,16
Cracked concrete temperature range I : 40°C / 24°C							
Displacement	δ_{N0}	[mm/(N/mm ²)]	0,11				
	$\delta_{N\infty}$	[mm/(N/mm ²)]	0,16				
Cracked concrete temperature range II : 80°C / 50°C							
Displacement	δ_{N0}	[mm/(N/mm ²)]	0,15				
	$\delta_{N\infty}$	[mm/(N/mm ²)]	0,22				
Cracked concrete temperature range III : 120°C / 72°C							
Displacement	δ_{N0}	[mm/(N/mm ²)]	0,20				
	$\delta_{N\infty}$	[mm/(N/mm ²)]	0,29				

Table C14: Displacements under shear load

Hilti HIT-HY 200-A with HZA, HZA-R			M12	M16	M20	M24	M27
Displacement	δ_{V0}	[mm/kN]	0,05	0,04	0,04	0,03	0,03
	$\delta_{V\infty}$	[mm/kN]	0,08	0,06	0,06	0,05	0,05

Injection System Hilti HIT-HY 200-A

Performances
Displacements with HZA and HZA-R

Annex C11

Table C15: Displacements under tension load

Hilti HIT-HY 200-A with rebar	φ 8	φ 10	φ 12	φ 14	φ 16	φ 20	φ 25	φ 26	φ 28	φ 30	φ 32	
Non-cracked concrete temperature range I : 40°C / 24°C												
Displacement	δ_{N0} [mm/(N/mm ²)]	0,02	0,03	0,03	0,04	0,04	0,06	0,07	0,08	0,08	0,09	0,09
	$\delta_{N\infty}$ [mm/(N/mm ²)]	0,04	0,05	0,06	0,07	0,08	0,10	0,13	0,14	0,15	0,16	0,17
Non-cracked concrete temperature range II : 80°C / 50°C												
Displacement	δ_{N0} [mm/(N/mm ²)]	0,03	0,04	0,05	0,05	0,06	0,08	0,10	0,11	0,11	0,12	0,12
	$\delta_{N\infty}$ [mm/(N/mm ²)]	0,04	0,05	0,06	0,07	0,09	0,11	0,14	0,15	0,15	0,16	0,17
Non-cracked concrete temperature range III : 120°C / 72°C												
Displacement	δ_{N0} [mm/(N/mm ²)]	0,04	0,05	0,06	0,07	0,08	0,10	0,12	0,13	0,14	0,15	0,16
	$\delta_{N\infty}$ [mm/(N/mm ²)]	0,04	0,05	0,07	0,08	0,09	0,11	0,14	0,15	0,16	0,17	0,18
Cracked concrete temperature range I : 40°C / 24°C												
Displacement	δ_{N0} [mm/(N/mm ²)]	0,11										
	$\delta_{N\infty}$ [mm/(N/mm ²)]	0,16										
Cracked concrete temperature range II : 80°C / 50°C												
Displacement	δ_{N0} [mm/(N/mm ²)]	0,15										
	$\delta_{N\infty}$ [mm/(N/mm ²)]	0,22										
Cracked concrete temperature range III : 120°C / 72°C												
Displacement	δ_{N0} [mm/(N/mm ²)]	0,20										
	$\delta_{N\infty}$ [mm/(N/mm ²)]	0,29										

Table C16: Displacements under shear load

Hilti HIT-HY 200-A with rebar	φ 8	φ 10	φ 12	φ 14	φ 16	φ 20	φ 25	φ 26	φ 28	φ 30	φ 32
Displacement	δ_{V0} [mm/kN]	0,06	0,05	0,05	0,04	0,04	0,04	0,03	0,03	0,03	0,03
	$\delta_{V\infty}$ [mm/kN]	0,09	0,08	0,07	0,06	0,06	0,05	0,05	0,05	0,04	0,04

Injection System Hilti HIT-HY 200-A

Performances
Displacements with rebar

Annex C12

Seismic design shall be carried out according to the TR 045 „Design of Metal Anchors Under Seismic Action“

Table C17: Characteristic values of resistance for threaded rod, HIT-V-... -..., AM 8.8 under tension loads for seismic performance category C1

HIT-HY 200-A with threaded rod, HIT-V-..., AM 8.8				M8	M10	M12	M16	M20	M24	M27	M30
Steel failure											
HIT-V-5.8(F), threaded rod 5.8	$N_{Rk,s,seis}$	[kN]	-	29	42	79	123	177	230	281	
HIT-V-8.8(F), threaded rod 8.8	$N_{Rk,s,seis}$	[kN]	-	46	67	126	196	282	367	449	
HIT-V-R, threaded rod A4-70	$N_{Rk,s,seis}$	[kN]	-	41	59	110	172	247	230	281	
HIT-V-HCR, threaded rod HCR-80	$N_{Rk,s,seis}$	[kN]	-	46	67	126	196	247	321	393	
Combined pullout and concrete cone failure											
Characteristic bond resistance in cracked concrete C20/25											
Temperature range I: 40 °C/24 °C	$\tau_{Rk,seis}$	[N/mm ²]	-	5,2				7,0			
Temperature range II: 80 °C/50 °C	$\tau_{Rk,seis}$	[N/mm ²]	-	3,9				5,7			
Temperature range III: 120 °C/72 °C	$\tau_{Rk,seis}$	[N/mm ²]	-	3,5				4,8			

Table C18: Characteristic values of resistance for threaded rod, HIT-V-... and AM 8.8 under shear loads for seismic performance category C1

HIT-HY 200-A with threaded rod, HIT-V-..., AM 8.8				M8	M10	M12	M16	M20	M24	M27	M30
Steel failure without lever arm											
HIT-V 5.8(F), threaded rod 5.8	$V_{Rk,s,seis}$	[kN]	-	11	15	27	43	62	81	98	
HIT-V 8.8(F), threaded rod 8.8	$V_{Rk,s,seis}$	[kN]	-	16	24	44	69	99	129	157	
HIT-V R, threaded rod A4-70	$V_{Rk,s,seis}$	[kN]	-	14	21	39	60	87	81	98	
HIT-V HCR, threaded rod HCR-80	$V_{Rk,s,seis}$	[kN]	-	16	24	44	69	87	113	137	

Table C19: Displacements under tension load for seismic performance category C1

HIT-HY 200-A with threaded rod, HIT-V-..., AM 8.8				M8	M10	M12	M16	M20	M24	M27	M30
Displacement ¹⁾	$\delta_{N,seis}$	[mm]	-	0,8	0,8	0,8	0,8	0,8	0,8	0,8	0,8

¹⁾ Maximum displacement during cycling (seismic event).

Table C20: Displacements under shear load for seismic performance category C1

HIT-HY 200-A with threaded rod, HIT-V-..., AM 8.8				M8	M10	M12	M16	M20	M24	M27	M30
Displacement ¹⁾	$\delta_{V,seis}$	[mm]	-	3,5	3,8	4,4	5,0	5,6	6,1	6,5	

¹⁾ Maximum displacement during cycling (seismic event).

Injection System Hilti HIT-HY 200-A

Performances

Characteristic values for seismic performance category C1 and displacements
Design according to „EOTA Technical Report TR045, Edition February 2013 “

Annex C13

Table C21: Characteristic values of resistance for Hilti tension anchor HZA, HZA-R under tension loads for seismic performance category C1

HIT-HY 200-A with Hilti tension anchor HZA, HZA-R			M12	M16	M20	M24	M27
Steel failure							
Characteristic resistance HZA	$N_{Rk,s,seis}$	[kN]	46	86	135	194	253
Characteristic resistance HZA-R	$N_{Rk,s,seis}$	[kN]	62	111	173	248	-
Partial safety factor	$\gamma_{Ms,N,seis}^{1)}$	[-]	1,4				
Combined pull-out and concrete cone failure¹⁾							
Diameter of rebar	d	[mm]	12	16	20	25	28
Characteristic bond resistance in cracked concrete C20/25							
Temperature range I:	40°C/24°C	$\tau_{Rk,cr}$	[N/mm ²]		6,1		
Temperature range II:	80°C/50°C	$\tau_{Rk,cr}$	[N/mm ²]		4,8		
Temperature range III:	120°C/72°C	$\tau_{Rk,cr}$	[N/mm ²]		4,4		

¹⁾ In absence of national regulations.

Table C22: Characteristic values of resistance for Hilti tension anchor HZA, HZA-R under shear loads for seismic performance category C1

HIT-HY 200-A with Hilti tension anchor HZA, HZA-R			M12	M16	M20	M24	M27
Steel failure without lever arm							
Characteristic resistance HZA	$V_{Rk,s,seis}$	[kN]	16	30	47	68	88
Characteristic resistance HZA-R	$V_{Rk,s,seis}$	[kN]	22	39	60	124	-
Partial safety factor	$\gamma_{Ms,V,seis}^{1)}$	[-]	1,5				

¹⁾ In absence of national regulations.

Table C23: Displacements under tension load for seismic performance category C1

HIT-HY 200-A with Hilti tension anchor HZA, HZA-R			M12	M16	M20	M24	M27
Displacement ¹⁾	$\delta_{N,seis}$	[mm]	1,3	1,3	1,3	1,3	1,3

¹⁾ Maximum displacement during cycling (seismic event).

Table C24: Displacements under shear load for seismic performance category C1

HIT-HY 200-A with Hilti tension anchor HZA, HZA-R			M12	M16	M20	M24	M27
Displacement ¹⁾	$\delta_{V,seis}$	[mm]	3,8	4,4	5,0	5,6	6,1

¹⁾ Maximum displacement during cycling (seismic event).

Injection System Hilti HIT-HY 200-A

Performances

Characteristic values for seismic performance category C1 and displacements
Design according to „EOTA Technical Report TR 045, Edition February 2013“

Annex C14

Table C25: Characteristic values of resistance for rebar under tension loads for seismic performance category C1

HIT-HY 200-A with rebar	φ 8	φ 10	φ 12	φ 14	φ 16	φ 20	φ 25	φ 26	φ 28	φ 30	φ 32
Steel failure											
Characteristic resistance for rebar B500B acc. to DIN 488:2009-08 ¹⁾ $N_{Rk,seis}$ [kN]	-	43	62	85	111	173	270	292	339	388	442
Combined pull-out and Concrete cone failure											
Diameter of rebar d [mm]	-	10	12	14	16	20	25	26	28	30	32
Characteristic bond resistance in cracked concrete C20/25											
Temperature range I: 40°C/24°C $\tau_{Rk,cr}$ [N/mm ²]	-	4,4	6,1								
Temperature range II: 80°C/50°C $\tau_{Rk,cr}$ [N/mm ²]	-	3,5	4,8								
Temperature range III: 120°C/72°C $\tau_{Rk,cr}$ [N/mm ²]	-	3	4,4								

¹⁾ The characteristic tension resistance $N_{Rk,s,seis}$ for rebars that do not fulfil the requirements acc. DIN 488 shall be calculated acc. Technical Report TR 029, Equation (5.1), $N_{Rk,s,seis} = N_{Rk,s}$.

Table C26: Characteristic values of resistance for rebar under shear loads for seismic performance category C1

HIT-HY 200-A with rebar	φ 8	φ 10	φ 12	φ 14	φ 16	φ 20	φ 25	φ 26	φ 28	φ 30	φ 32
Steel failure without lever arm											
Characteristic resistance for rebar B500B acc. to DIN 488:2009-08 $V_{Rk,s,seis}$ [kN]	-	15	22	29	39	60	95	102	118	135	165

¹⁾ The characteristic shear resistance $V_{Rk,s,seis}$ for rebars that do not fulfil the requirements acc. DIN 488 shall be calculated acc. Technical Report TR 029, Equation (5.5), $V_{Rk,s,seis} = 0,7 \times V_{Rk,s}$.

Table C27: Displacements under tension load for seismic performance category C1

Hilti HIT-HY 200-A with rebar	φ 8	φ 10	φ 12	φ 14	φ 16	φ 20	φ 25	φ 26	φ 28	φ 30	φ 32
Displacement ¹⁾ $\delta_{N,seis}$ [mm]	-	1,3	1,3	1,3	1,3	1,3	1,3	1,3	1,3	1,3	1,3

¹⁾ Maximum displacement during cycling (seismic event).

Table C28: Displacements under shear load for seismic performance category C1

Hilti HIT-HY 200-A with rebar	φ 8	φ 10	φ 12	φ 14	φ 16	φ 20	φ 25	φ 26	φ 28	φ 30	φ 32
Displacement ¹⁾ $\delta_{V,seis}$ [mm]	-	3,5	3,8	4,1	4,4	5,0	5,8	6,2	6,2	6,8	6,8

¹⁾ Maximum displacement during cycling (seismic event).

Injection System Hilti HIT-HY 200-A

Performances

Characteristic values for seismic performance category C1 and displacements Design according to „EOTA Technical Report TR 045, Edition February 2013“

Annex C15

Tabelle C29: Charakteristische Werte der Zugtragfähigkeit für Gewindestangen, HIT-V-... und AM 8.8 bei Erdbebenbeanspruchung, Leistungskategorie C2

HIT-HY 200-A mit Gewindestange, HIT-V-..., AM 8.8	M8	M10	M12	M16	M20	M24	M27	M30
Stahlversagen								
HIT-V (-F) 8.8, AM (HDG) 8.8 Handelsübliche Gewindestange 8.8 nur galvanisch verzinkt	$N_{Rk,s,seis}$ [kN]		-	126	196	282	-	
Kombiniertes Versagen durch Herausziehen und Betonausbruch								
Charakteristische Verbundtragfähigkeit in gerissenem Beton C20/25, in hammergebohrten Bohrlöchern (TE-CD und TE-YD)								
Temperaturbereich I: 40 °C/24 °C	$\tau_{Rk,seis}$ [N/mm ²]	-	3,9	4,3	3,5	-		
Temperaturbereich II: 80 °C/50 °C	$\tau_{Rk,seis}$ [N/mm ²]	-	3,3	3,7	2,9	-		
Temperaturbereich III: 120 °C/72 °C	$\tau_{Rk,seis}$ [N/mm ²]	-	2,8	3,2	2,5	-		

Tabelle C30: Charakteristische Werte der Quertragfähigkeit für Gewindestangen, HIT-V-... und AM 8.8 bei Erdbebenbeanspruchung, Leistungskategorie C2

HIT-HY 200-A mit Gewindestange, HIT-V-..., AM 8.8	M8	M10	M12	M16	M20	M24	M27	M30
Stahlversagen ohne Hebelarm, Montage mit Hilti Verfüll-Set								
HIT-V 8.8, AM 8.8	$V_{Rk,s,seis}$ [kN]		-	46	77	103	-	
Stahlversagen ohne Hebelarm, Montage ohne Hilti Verfüll-Set								
HIT-V 8.8, AM 8.8	$V_{Rk,s,seis}$ [kN]		-	40	71	90	-	
HIT-V-F 8.8, AM HDG 8.8	$V_{Rk,s,seis}$ [kN]		-	30	46	66	-	
Handelsübliche Gewindestange 8.8 galvanisch verzinkt	$V_{Rk,s,seis}$ [kN]		-	28	50	63	-	

Injektionssystem Hilti HIT-HY 200-A

Leistungsfähigkeit

Charakteristische Werte bei Erdbebenbeanspruchung, Leistungskat. C2
Bemessung nach „EOTA Technical Report TR045, Edition Februar 2013“

Anhang C16

Table C31: Displacements under tension load for seismic performance category C2

HIT-HY 200-A with threaded rod, HIT-V-..., AM 8.8	M8	M10	M12	M16	M20	M24	M27	M30
Displacement DLS, HIT-V (-F) 8.8, AM (HDG) 8.8 $\delta_{N,seis(DLS)}$ [mm]	-	-	-	0,2	0,5	0,4	-	-
Displacement ULS, HIT-V (-F) 8.8, AM (HDG) 8.8 $\delta_{N,seis(ULS)}$ [mm]	-	-	-	0,6	0,8	1,0	-	-

Table C32: Displacements under shear load for seismic performance category C2

HIT-HY 200-A with threaded rod, HIT-V-..., AM 8.8	M8	M10	M12	M16	M20	M24	M27	M30
Installation with Hilti Filling Set								
Displacement DLS, HIT-V 8.8, AM 8.8 $\delta_{V,seis(DLS)}$ [mm]	-	-	-	1,2	1,4	1,1	-	-
Displacement ULS, HIT-V 8.8, AM 8.8 $\delta_{V,seis(ULS)}$ [mm]	-	-	-	3,2	3,8	2,6	-	-
Installation without Hilti Filling Set								
Displacement DLS, HIT-V 8.8, AM 8.8 $\delta_{V,seis(DLS)}$ [mm]	-	-	-	3,2	2,5	3,5	-	-
Displacement DLS, HIT-V-F 8.8, AM HDG 8.8 $\delta_{V,seis(DLS)}$ [mm]	-	-	-	2,3	3,8	3,7	-	-
Displacement ULS, HIT-V, 8.8 AM 8.8 $\delta_{V,seis(ULS)}$ [mm]	-	-	-	9,2	7,1	10,2	-	-
Displacement ULS, HIT-V-F 8.8, AM HDG 8.8 $\delta_{V,seis(ULS)}$ [mm]	-	-	-	4,3	9,1	8,4	-	-

Injection System Hilti HIT-HY 200-A

Performances

Displacements for seismic performance category C2
Design according to „EOTA Technical Report TR 045, Edition February 2013“

Annex C17

Zulassungsstelle für Bauprodukte und Bauarten

Bautechnisches Prüfamt

Eine vom Bund und den Ländern
gemeinsam getragene Anstalt des öffentlichen Rechts



Europäische Technische Bewertung

**ETA-11/0493
vom 28. Juli 2017**

Allgemeiner Teil

Technische Bewertungsstelle, die die Europäische Technische Bewertung ausstellt

Deutsches Institut für Bautechnik

Handelsname des Bauprodukts

Injektionssystem Hilti HIT-HY 200-A

Produktfamilie,
zu der das Bauprodukt gehört

Verbunddübel zur Verankerung im Beton

Hersteller

Hilti Aktiengesellschaft
9494 SCHAAN
FÜRSTENTUM LIECHTENSTEIN

Herstellungsbetrieb

Hilti Werke

Diese Europäische Technische Bewertung enthält

39 Seiten, davon 3 Anhänge

Diese Europäische Technische Bewertung wird gemäß der Verordnung (EU) Nr. 305/2011 auf der Grundlage von

Leitlinie für die europäische technische Zulassung für "Metalldübel zur Verankerung im Beton" ETAG 001 Teil 5: "Verbunddübel", April 2013, verwendet als Europäisches Bewertungsdokument (EAD) gemäß Artikel 66 Absatz 3 der Verordnung (EU) Nr. 305/2011, ausgestellt.

Diese Fassung ersetzt

ETA-11/0493 vom 3. Februar 2017

Die Europäische Technische Bewertung wird von der Technischen Bewertungsstelle in ihrer Amtssprache ausgestellt. Übersetzungen dieser Europäischen Technischen Bewertung in andere Sprachen müssen dem Original vollständig entsprechen und müssen als solche gekennzeichnet sein.

Diese Europäische Technische Bewertung darf, auch bei elektronischer Übermittlung, nur vollständig und ungekürzt wiedergegeben werden. Nur mit schriftlicher Zustimmung der ausstellenden Technischen Bewertungsstelle kann eine teilweise Wiedergabe erfolgen. Jede teilweise Wiedergabe ist als solche zu kennzeichnen.

Die ausstellende Technische Bewertungsstelle kann diese Europäische Technische Bewertung widerrufen, insbesondere nach Unterrichtung durch die Kommission gemäß Artikel 25 Absatz 3 der Verordnung (EU) Nr. 305/2011.

Besonderer Teil

1 Technische Beschreibung des Produkts

Das Injektionssystem Hilti HIT-HY 200-A ist ein Verbunddübel, der aus einem Foliengebinde mit Injektionsmörtel Hilti HIT-HY 200-A und einem Stahlteil gemäß Anhang A besteht.

Das Stahlteil wird in ein mit Injektionsmörtel gefülltes Bohrloch gesteckt und durch Verbund zwischen Stahlteil, Injektionsmörtel und Beton verankert.

Die Produktbeschreibung ist in Anhang A angegeben.

2 Spezifizierung des Verwendungszwecks gemäß dem anwendbaren Europäischen Bewertungsdokument

Von den Leistungen in Abschnitt 3 kann nur ausgegangen werden, wenn der Dübel entsprechend den Angaben und Bedingungen nach Anhang B verwendet wird.

Die Prüf- und Bewertungsmethoden, die dieser Europäischen Technischen Bewertung zu Grunde liegen, führen zur Annahme einer Nutzungsdauer des Dübels von mindestens 50 Jahren. Die Angabe der Nutzungsdauer kann nicht als Garantie des Herstellers verstanden werden, sondern ist lediglich ein Hilfsmittel zur Auswahl des richtigen Produkts in Bezug auf die angenommene wirtschaftlich angemessene Nutzungsdauer des Bauwerks.

3 Leistung des Produkts und Angaben der Methoden ihrer Bewertung

3.1 Mechanische Festigkeit und Standsicherheit (BWR 1)

Wesentliches Merkmal	Leistung
Charakteristische Werte unter statischen und quasi-statischen Einwirkungen für Bemessung nach TR 029, Verschiebungen	Siehe Anhang C1 bis C12
Charakteristische Werte für die seismischen Leistungskategorien C1 für die Bemessung nach Technical Report TR 045, Verschiebungen	Siehe Anhang C13 bis C17

3.2 Brandschutz (BWR 2)

Wesentliches Merkmal	Leistung
Brandverhalten	Der Dübel erfüllt die Anforderungen der Klasse A1
Feuerwiderstand	Keine Leistung festgestellt (KLF)

3.3 Hygiene, Gesundheit und Umweltschutz (BWR 3)

Bezüglich gefährlicher Stoffe können die Produkte im Geltungsbereich dieser Europäischen Technischen Bewertung weiteren Anforderungen unterliegen (z. B. umgesetzte europäische Gesetzgebung und nationale Rechts- und Verwaltungsvorschriften). Um die Bestimmungen der Verordnung (EU) Nr. 305/2011 zu erfüllen, müssen gegebenenfalls diese Anforderungen ebenfalls eingehalten werden.

3.4 Sicherheit bei der Nutzung (BWR 4)

Die wesentlichen Merkmale bezüglich Sicherheit bei der Nutzung sind unter der Grundanforderung Mechanische Festigkeit und Standsicherheit erfasst.

4 Angewandtes System zur Bewertung und Überprüfung der Leistungsbeständigkeit mit der Angabe der Rechtsgrundlage

Gemäß der Leitlinie für die europäische technische Zulassung ETAG 001, April 2013 verwendet als Europäisches Bewertungsdokument (EAD) gemäß Artikel 66 Absatz 3 der Verordnung (EU) Nr. 305/2011 gilt folgende Rechtsgrundlage: [96/582/EG].

Folgendes System ist anzuwenden: 1

5 Für die Durchführung des Systems zur Bewertung und Überprüfung der Leistungsbeständigkeit erforderliche technische Einzelheiten gemäß anwendbarem Europäischen Bewertungsdokument

Technische Einzelheiten, die für die Durchführung des Systems zur Bewertung und Überprüfung der Leistungsbeständigkeit notwendig sind, sind Bestandteil des Prüfplans, der beim Deutschen Institut für Bautechnik hinterlegt ist.

Ausgestellt in Berlin am 28. Juli 2017 vom Deutschen Institut für Bautechnik

BD Dipl.-Ing. Andreas Kummerow
Abteilungsleiter

Beglaubigt

Einbauzustand

Bild A1:

Gewindestange und HIT-V-..., AM 8.8

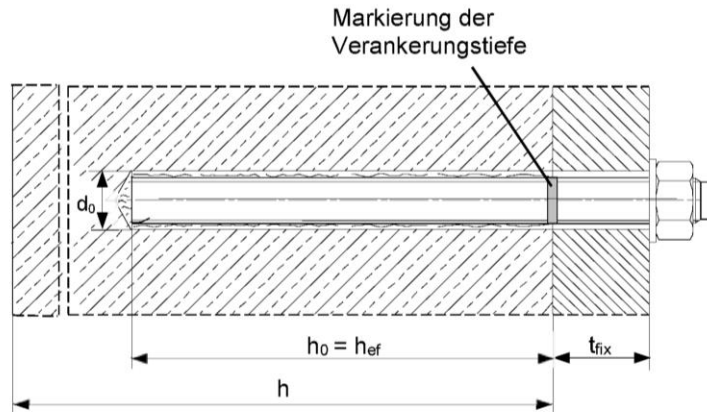


Bild A2:

Gewindestange und HIT-V-..., AM 8.8, mit Verfüll-Set

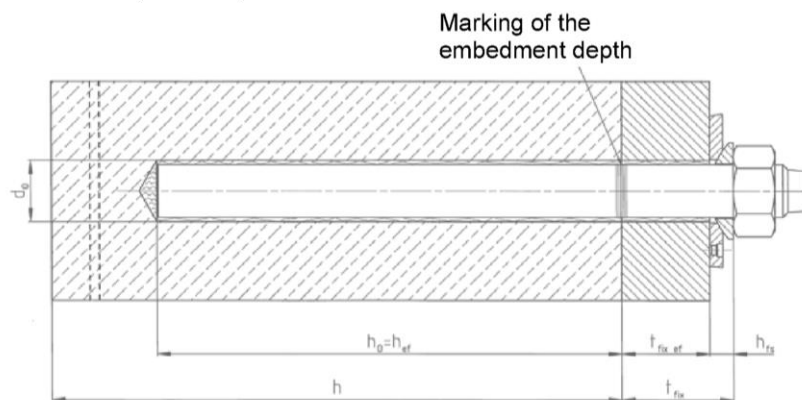
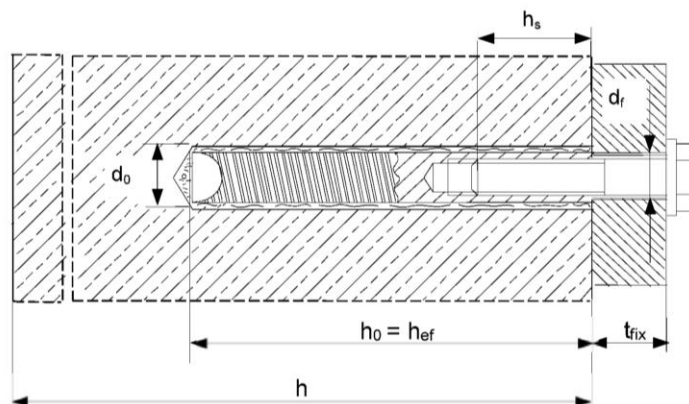


Bild A3:

Innengewindehülse HIS-(R)N



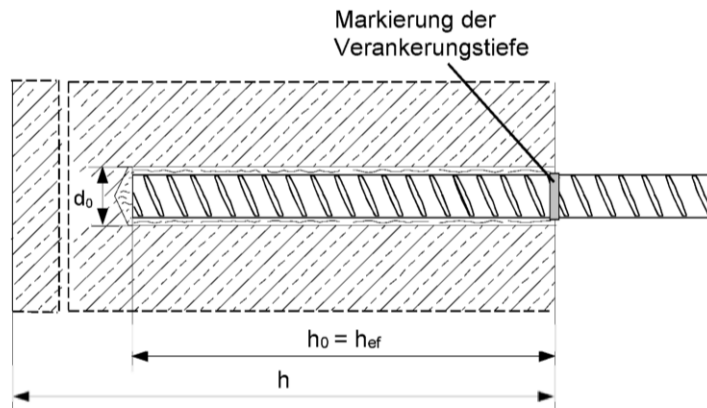
Injektionssystem Hilti HIT-HY 200-A

Produktbeschreibung
Einbauzustand

Anhang A1

Einbauzustand

Bild A4:
Betonstahl



Injektionssystem Hilti HIT-HY 200-A

Produktbeschreibung
Einbauzustand

Anhang A2

Produktbeschreibung: Injektionsmörtel und Stahlelemente

Injektionsmörtel Hilti HIT-HY 200-A: Hybridsystem mit Zuschlag
330 ml und 500 ml

Kennzeichnung:
HILTI-HIT
Chargennummer und
Produktionslinie
Verfallsdatum mm/yyyy



Produktname: "Hilti HIT-HY 200-A"

Statikmischer Hilti HIT-RE-M



Stahlelemente



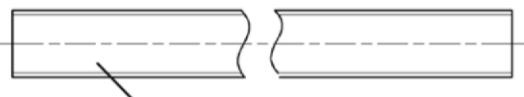
Gewindestange und HIT-V-...: M8 bis M30



Scheibe



Mutter



**Hilti Meter Gewindestange AM 8.8, Galvanisch verzinkt, AM HDG 8.8 Feuerverzinkt
M8 bis M30, 1m bis 3m**

Handelsübliche Gewindestange:

- Werkstoffe und mechanische Eigenschaften gemäß Tabelle A1.
- Abnahmeprüfzeugnis 3.1 gemäß EN 10204:2004. Die Dokumente sind aufzubewahren.
- Markierung der Verankerungstiefe.



Innengewindehülse: HIS-(R)N M8 bis M20



Hilti Zuganker: HZA M12 bis M27 und HZA-R M12 bis M24

Produktbeschreibung: Injektionsmörtel und Stahlelemente

Injektionssystem Hilti HIT-HY 200-A

Produktbeschreibung

Injektionsmörtel / Statikmischer / Stahlelemente

Anhang A3



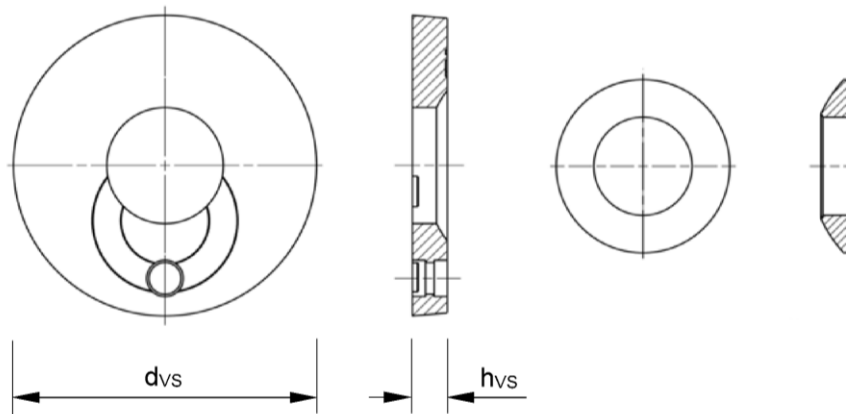
Betonstahl: ϕ 8 bis ϕ 32

- Werkstoffe und mechanische Eigenschaften gemäß Tabelle A1
- Abmessungen gemäß Anhang B6

Verfüll-Set zum Verfüllen des Ringspalts zwischen Anker und Anbauteil

Verschluss Scheibe

Kugelscheibe



Verfüll-Set		M16	M20	M24
Durchmesser Verschluss Scheibe	dvs [mm]	56	60	70
Verschluss Scheibenhöhe	hvs [mm]	6		

Injektionssystem Hilti HIT-HY 200-A

Produktbeschreibung

Injektionsmörtel / Statikmischer / Stahlelemente

Anhang A4

Tabelle A1: Werkstoffe

Bezeichnung	Werkstoff
Stahlteile aus Betonstahl	
Betonstahl: EN 1992-1-1: 2004 und AC:2010, Annex C	Stäbe und Betonstabstahl vom Ring Klasse B oder C mit f_{yk} und k gemäß NDP oder NCL gemäß EN 1992-1-1/NA:2013 $f_{uk} = f_{tk} = k \cdot f_{yk}$
Stahlteile aus verzinktem Stahl	
Gewindestange, HIT-V-5.8(F)	Festigkeitsklasse 5.8, $f_{uk} = 500 \text{ N/mm}^2$, $f_{yk} = 400 \text{ N/mm}^2$, Bruchdehnung ($l_0=5d$) > 8% duktil Galvanisch verzinkt $\geq 5 \mu\text{m}$, (F) Feuerverzinkt $\geq 45 \mu\text{m}$
Gewindestange, HIT-V-8.8(F)	Festigkeitsklasse 8.8, $f_{uk} = 800 \text{ N/mm}^2$, $f_{yk} = 640 \text{ N/mm}^2$, Bruchdehnung ($l_0=5d$) > 8% duktil Galvanisch verzinkt $\geq 5 \mu\text{m}$, (F) Feuerverzinkt $\geq 45 \mu\text{m}$
Hilti Meter Gewindestange, AM 8.8 (HDG)	Festigkeitsklasse 8.8, $f_{uk} = 800 \text{ N/mm}^2$, $f_{yk} = 640 \text{ N/mm}^2$, Bruchdehnung ($l_0=5d$) > 12% duktil Galvanisch verzinkt $\geq 5 \mu\text{m}$, (HDG) Feuerverzinkt $\geq 45 \mu\text{m}$
Hilti Zuganker HZA	Rundstahl mit Gewinde: galvanisch verzinkt $\geq 5 \mu\text{m}$ Betonstabstahl Klasse B gemäß NDP oder NCL gemäß EN 1992-1-1/NA:2013
Innengewindehülse HIS-N	Galvanisch verzinkt $\geq 5 \mu\text{m}$
Scheibe	Galvanisch verzinkt $\geq 5 \mu\text{m}$, Feuerverzinkt $\geq 45 \mu\text{m}$
Mutter	Festigkeit der Sechskantmutter abgestimmt auf Festigkeit der Gewindestange Galvanisch verzinkt $\geq 5 \mu\text{m}$, Feuerverzinkt $\geq 45 \mu\text{m}$
Hilti Verfüll-Set (F)	Verschluss scheibe: Galvanisch verzinkt $\geq 5 \mu\text{m}$, (F) Feuerverzinkt $\geq 45 \mu\text{m}$ Kugelscheibe: Galvanisch verzinkt $\geq 5 \mu\text{m}$, (F) Feuerverzinkt $\geq 45 \mu\text{m}$ Sickerungsmutter: Galvanisch verzinkt $\geq 5 \mu\text{m}$, (F) Feuerverzinkt $\geq 45 \mu\text{m}$
Stahlteile aus nichtrostendem Stahl	
Gewindestange, HIT-V-R	Für $\leq \text{M24}$: Festigkeitsklasse 70, $f_{uk} = 700 \text{ N/mm}^2$, $f_{yk} = 450 \text{ N/mm}^2$; Für $> \text{M24}$: Festigkeitsklasse 50, $f_{uk} = 500 \text{ N/mm}^2$, $f_{yk} = 210 \text{ N/mm}^2$; Bruchdehnung ($l_0=5d$) > 8% duktil Werkstoff 1.4401, 1.4404, 1.4578, 1.4571, 1.4439, 1.4362 EN 10088-1:2014
Hilti Zuganker HZA-R	Rundstahl mit Gewinde: Werkstoff 1.4404, 1.4362, 1.4571 EN 10088-1:2014 Betonstabstahl Klasse B gemäß NDP oder NCL gemäß EN 1992-1-1/NA:2013
Innengewindehülse HIS-RN	Werkstoff 1.4401, 1.4571 EN 10088-1:2014
Scheibe	Werkstoff 1.4401, 1.4404, 1.4578, 1.4571, 1.4439, 1.4362 EN 10088-1:2014
Mutter	Festigkeit der Sechskantmutter abgestimmt auf Festigkeit der Gewindestange Werkstoff 1.4401, 1.4404, 1.4578, 1.4571, 1.4439, 1.4362 EN 10088-1:2014

Injektionssystem Hilti HIT-HY 200-A

Produktbeschreibung
Werkstoffe

Anhang A5

Stahlteile aus hochkorrosionsbeständigem Stahl

Gewindestange HIT-V-HCR	Für $\leq M20$: $f_{uk} = 800 \text{ N/mm}^2$, $f_{yk} = 640 \text{ N/mm}^2$, Für $> M20$: $f_{uk} = 700 \text{ N/mm}^2$, $f_{yk} = 400 \text{ N/mm}^2$, Bruchdehnung ($l_0=5d$) $> 8\%$ duktil Werkstoff 1.4529, 1.4565 EN 10088-1:2014
Scheibe	Werkstoff 1.4529, 1.4565 EN 10088-1:2014
Mutter	Festigkeit der Sechskantmutter abgestimmt auf Festigkeit der Gewindestange Werkstoff 1.4529, 1.4565 EN 10088-1:2014

Injektionssystem Hilti HIT-HY 200-A

Produktbeschreibung
Werkstoffe

Anhang A6

Angaben zum Verwendungszweck

Befestigungen unter:

- Statischer und quasistatischer Belastung
- Seismische Leistungskategorie C1 und C2 (Tabelle B1)

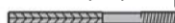
Base material:

- Bewehrter oder unbewehrter Normalbeton nach EN 206-1:2000.
- Festigkeitsklasse C20/25 bis C50/60 nach EN 206-1:2000.
- Gerissener und ungerissener Beton.

Temperatur im Verankerungsgrund:

- **beim Einbau**
-10 °C bis +40 °C
- **im Nutzungszustand**
Temperaturbereich I: -40 °C bis +40 °C
(max. Langzeit Temperatur +24 °C und max. Kurzzeit Temperatur +40 °C)
Temperaturbereich II: -40 °C bis +80 °C
(max. Langzeit Temperatur +50 °C und max. Kurzzeit Temperatur +80 °C)
Temperaturbereich III: -40 °C bis +120 °C
(max. Langzeit Temperatur +72 °C und max. Kurzzeit Temperatur +120 °C)

Tabelle B1: Angaben zum Verwendungszweck

Befestigung unter:	HIT-HY 200-A mit ...			
	HIT-V ... AM 8.8 	Betonstahl 	HZA(-R) 	HIS-(R)N 
Elemente				
Hammerbohren mit Hohlbohrer TE-CD oder TE-YD 	✓	✓	✓	✓
Hammerbohren 	✓	✓	✓	✓
Statische und quasistatische Belastung in gerissenem und ungerissenem Beton	M8 bis M30	φ 8 bis φ 32	M12 bis M27	M8 bis M20
Seismische Leistungskategorie C1	M10 bis M30	φ 10 bis φ 32	M12 bis M27	-
Seismische Leistungskategorie C2	M16 bis M24, HIT-V 8.8, AM 8.8 HIT-V-F 8.8, AM HDG 8.8 Handelsübliche Gewindestange 8.8 (nur galvanisch verzinkt)	-	-	-

Injektionssystem Hilti HIT-HY 200-A

Angaben zum Verwendungszweck
Spezifikationen

Anhang B1

Anwendungsbedingungen (Umweltbedingungen):

- In Bauteilen unter den Bedingungen trockener Innenräume (verzinkter Stahl, nichtrostender Stahl oder hochkorrosionsbeständiger Stahl).
- Bauteile im Freien (einschließlich Industrielatmosphäre und Meeresnähe) und in Feuchträumen, wenn keine besonders aggressiven Bedingungen vorliegen (nichtrostender Stahl oder hochkorrosionsbeständiger Stahl).
- Bauteile im Freien und in Feuchträumen, wenn besonders aggressive Bedingungen vorliegen (hochkorrosionsbeständiger Stahl).
Anmerkung: Aggressive Bedingungen sind z.B. ständiges, abwechselndes Eintauchen in Meerwasser oder der Bereich der Spritzzone von Meerwasser, chlorhaltige Atmosphäre in Schwimmbadhallen oder Atmosphäre mit extremer chemischer Verschmutzung (z. B. bei Rauchgas-Entschwefelungsanlagen oder Straßentunneln, in denen Enteisungsmittel verwendet werden).

Bemessung:

- Die Befestigungen müssen unter der Verantwortung eines auf dem Gebiet der Verankerungen und des Betonbaus erfahrenen Ingenieurs bemessen werden.
- Unter Berücksichtigung der zu verankernden Lasten sind prüfbare Berechnungen und Konstruktionszeichnungen anzufertigen. Auf den Konstruktionszeichnungen ist die Lage des Dübels (z. B. Lage des Dübels zur Bewehrung oder zu den Auflagern usw.) anzugeben.
- Die Bemessung der Verankerungen erfolgt in Übereinstimmung mit:
"EOTA Technical Report TR 029, Edition September 2010"
- Befestigungen unter Erbebenbelastung (gerissener Beton) werden nach:
"EOTA Technical Report TR 045, Edition Februar 2013"
Die Verankerungen sind außerhalb kritischer Bereiche (z. B. plastischer Gelenke) der Betonkonstruktion anzuordnen. Eine Abstandsmontage oder die Montage auf Mörtelschicht ist für seismische Einwirkungen nicht durch diese Europäische Technische Bewertung (ETA) abgedeckt.

Installation:

- Nutzungskategorie: trockener oder feuchter Beton (nicht in mit Wasser gefüllten Bohrlöchern)
- Überkopfmontage ist zulässig
- Der Einbau erfolgt durch entsprechend geschultes Personal unter der Aufsicht des Bauleiters.

Injektionssystem Hilti HIT-HY 200-A

Angaben zum Verwendungszweck
Spezifikationen

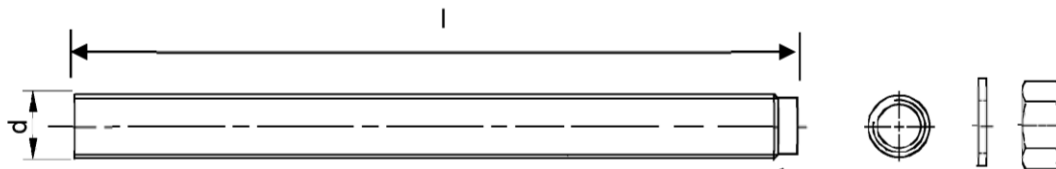
Anhang B2

Tabelle B2: Montagekennwerte Gewindestange und HIT-V-..., AM 8.8

Gewindestange und HIT-V-...			M8	M10	M12	M16	M20	M24	M27	M30
Elementdurchmesser	d	[mm]	8	10	12	16	20	24	27	30
Bohremmendurchmesser	d ₀	[mm]	10	12	14	18	22	28	30	35
Effektive Verankerungstiefe und Bohrlochtiefe	h _{ef} = h ₀	[mm]	60 bis 160	60 bis 200	70 bis 240	80 bis 320	90 bis 400	96 bis 480	108 bis 540	120 bis 600
Maximaler Durchmesser des Durchgangslochs im Anbauteil ¹⁾	d _f	[mm]	9	12	14	18	22	26	30	33
Gesamthöhe Hilti Verfüll-Set	h _{fs}	[mm]	-	-	-	11	13	15	-	-
Effektive Anbauteildicke mit Hilti Verfüll-Set	t _{fix,eff}	[mm]	t _{fix,eff} = t _{fix} - h _{fs}							
Minimale Bauteildicke	h _{min}	[mm]	h _{ef} + 30 ≥ 100 mm			h _{ef} + 2 · d ₀				
Maximales Anzugsdrehmoment	T _{max}	[Nm]	10	20	40	80	150	200	270	300
Minimaler Achsabstand	s _{min}	[mm]	40	50	60	75	90	115	120	140
Minimaler Randabstand	c _{min}	[mm]	40	45	45	50	55	60	75	80

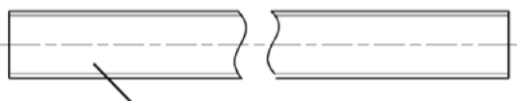
¹⁾ bei größeren Durchgangslöchern siehe "TR 029 Abschnitt 1.1"

HIT-V-...



Kennzeichnung:

- 5.8 - l = HIT-V-5.8 M...x l
- 5.8F - l = HIT-V-5.8F M...x l
- 8.8 - l = HIT-V-8.8 M...x l
- 8.8F - l = HIT-V-8.8F M...x l
- R - l = HIT-V-R M...x l
- HCR - l = HIT-V-HCR M...x l



Hilti Meter Gewindestange AM 8.8, Galvanisch verzinkt M8 bis M30, 1m bis 3m

Injektionssystem Hilti HIT-HY 200-A

Angaben zum Verwendungszweck
Montagekennwerte für Gewindestange und HIT-V-... und AM 8.8

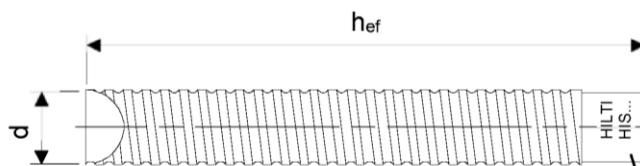
Anhang B3

Tabelle B3: Montagekennwerte Innengewindehülse HIS-(R)N

Innengewindehülse HIS-(R)N ...			M8	M10	M12	M16	M20
Hülsenaußendurchmesser	d	[mm]	12,5	16,5	20,5	25,4	27,6
Bohrenenddurchmesser	d ₀	[mm]	14	18	22	28	32
Effektive Verankerungstiefe und Bohrlochtiefe	h _{ef} = h ₀	[mm]	90	110	125	170	205
Maximaler Durchmesser des Durchgangslochs im Anbauteil ¹⁾	d _f	[mm]	9	12	14	18	22
Minimale Bauteildicke	h _{min}	[mm]	120	150	170	230	270
Maximales Anzugsdrehmoment	T _{max}	[Nm]	10	20	40	80	150
Einschraubtiefe min-max	h _s	[mm]	8-20	10-25	12-30	16-40	20-50
Minimaler Achsabstand	s _{min}	[mm]	60	75	90	115	130
Minimaler Randabstand	c _{min}	[mm]	40	45	55	65	90

¹⁾ bei größeren Durchgangslöchern siehe "TR 029 Abschnitt 1.1"

Innengewindehülse HIS-(R)N ...



Kennzeichnung:
Identifizierung - HILTI und
Prägung "HIS-N" (für C-Stahl)
Prägung "HIS-RN" (für rostfreien Stahl)

Injektionssystem Hilti HIT-HY 200-A

Angaben zum Verwendungszweck
Montagekennwerte für Innengewindehülse HIS-(R)N

Anhang B4

Tabelle B4: Montagekennwerte Hilti Zuganker HZA-R

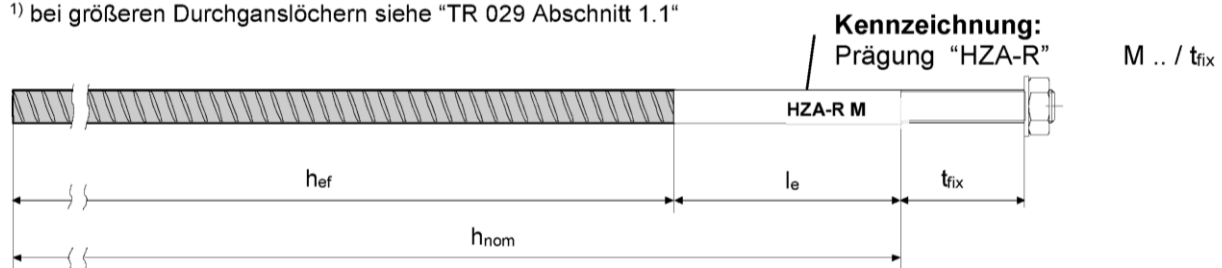
Hilti Zuganker HZA-R ...			M12	M16	M20	M24
Durchmesser des Betonstahls	ϕ	[mm]	12	16	20	25
Nominelle Verankerungstiefe und Bohrlochtiefe	$h_{nom} = h_0$	[mm]	170 bis 240	180 bis 320	190 bis 400	200 bis 500
Effektive Verankerungslänge ($h_{ef} = h_{nom} - l_e$)	h_{ef}	[mm]	$h_{nom} - 100$			
Länge des glatten Schaftes	l_e	[mm]	100			
Bohrenenddurchmesser	d_0	[mm]	16	20	25	32
Maximaler Durchmesser des Durchgangslochs im Anbauteil ¹⁾	d_f	[mm]	14	18	22	26
Maximales Anzugsdrehmoment	T_{max}	[Nm]	40	80	150	200
Minimale Bauteildicke	h_{min}	[mm]	$h_{nom} + 2 \cdot d_0$			
Minimaler Achsabstand	s_{min}	[mm]	65	80	100	130
Minimaler Randabstand	c_{min}	[mm]	45	50	55	60

¹⁾ bei größeren Durchgangslöchern siehe "TR 029 Abschnitt 1.1"

Tabelle B5: Montagekennwerte Hilti Zuganker HZA

Hilti Zuganker HZA ...			M12	M16	M20	M24	M27
Durchmesser des Betonstahls	ϕ	[mm]	12	16	20	25	28
Nominelle Verankerungstiefe und Bohrlochtiefe	$h_{nom} = h_0$	[mm]	90 bis 240	100 bis 320	110 bis 400	120 bis 500	140 bis 560
Effektive Verankerungslänge ($h_{ef} = h_{nom} - l_e$)	h_{ef}	[mm]	$h_{nom} - 20$				
Länge des glatten Schaftes	l_e	[mm]	20				
Bohrenenddurchmesser	d_0	[mm]	16	20	25	32	35
Maximaler Durchmesser des Durchgangslochs im Anbauteil ¹⁾	d_f	[mm]	14	18	22	26	30
Maximales Anzugsdrehmoment	T_{max}	[Nm]	40	80	150	200	270
Minimale Bauteildicke	h_{min}	[mm]	$h_{nom} + 2 \cdot d_0$				
Minimaler Achsabstand	s_{min}	[mm]	65	80	100	130	140
Minimaler Randabstand	c_{min}	[mm]	45	50	55	60	75

¹⁾ bei größeren Durchgangslöchern siehe "TR 029 Abschnitt 1.1"



Injektionssystem Hilti HIT-HY 200-A

Angaben zum Verwendungszweck
Montagekennwerte Hilti Zuganker HZA-(R)

Anhang B5

Tabelle B6: Montagekennwerte Betonstahl

Betonstahl		ϕ 8	ϕ 10	ϕ 12	ϕ 14	ϕ 16	ϕ 20	ϕ 25	ϕ 26	ϕ 28	ϕ 30	ϕ 32
Durchmesser	ϕ [mm]	8	10	12	14	16	20	25	26	28	30	32
Effektive Verankerungstiefe und Bohrlochtiefe	$h_{ef} = h_0$ [mm]	60 bis 160	60 bis 200	70 bis 240	75 bis 280	80 bis 320	90 bis 400	100 bis 500	104 bis 520	112 bis 560	120 bis 600	128 bis 640
Bohrernenndurchmesser	d_0 [mm]	10 / 12 ¹⁾	12 / 14 ¹⁾	14 ¹⁾ / 16 ¹⁾	18	20	25	32	32	35	37	40
Minimale Bauteildicke	h_{min} [mm]	$h_{ef} + 30$ ≥ 100 mm			$h_{ef} + 2 \cdot d_0$							
Minimaler Achsabstand	s_{min} [mm]	40	50	60	70	80	100	125	130	140	150	160
Minimaler Randabstand	c_{min} [mm]	40	45	45	50	50	65	70	75	75	80	80

¹⁾ Beide angegebenen Bohrernenndurchmesser können verwendet werden.

Betonstahl



Für Betonstahl

- Mindestwerte der bezogenen Rippenfläche $f_{R,min}$ gemäß EN 1992-1-1:2004+AC:2010
- Die Rippenhöhe des Betonstahls h_{rib} muss die Anforderung erfüllen: $0,05 \cdot \phi \leq h_{rib} \leq 0,07 \cdot \phi$
(ϕ = Nenndurchmesser des Betonstahlelements; h_{rib} : Rippenhöhe)

Injektionssystem Hilti HIT-HY 200-A

Angaben zum Verwendungszweck
Montagekennwerte Betonstahl

Anhang B6

Tabelle B7: Maximale Verarbeitungszeit und minimale Aushärtezeit

Temperatur im Verankerungsgrund T	Maximale Verarbeitungszeit t_{work}	Minimale Aushärtezeit t_{cure}
-10 °C bis -5 °C	1,5 h	7 h
> -5 °C bis 0 °C	50 min	4 h
> 0 °C bis 5 °C	25 min	2 h
> 5 °C bis 10 °C	15 min	75 min
> 10 °C bis 20 °C	7 min	45 min
> 20 °C bis 30 °C	4 min	30 min
> 30 °C bis 40 °C	3 min	30 min

Injektionssystem Hilti HIT-HY 200-A

Angaben zum Verwendungszweck
Maximale Verarbeitungszeit und minimale Aushärtezeit

Anhang B7

Tabelle B8: Angaben zu Reinigungs- und Setzwerkzeugen

Befestigungselement				Bohren und Reinigen			Installation
HIT-V-... AM 8.8	HIS-(R)N	Betonstahl	HZA(-R)	Hammerbohren		Bürste	Stauzapfen
					Hohlbohrer		
Größe	Größe	Größe	Größe	d ₀ [mm]	d ₀ [mm]	HIT-RB	HIT-SZ
M8	-	φ8	-	10	-	10	-
M10	-	φ8 / φ10	-	12	12 ¹⁾	12	12
M12	M8	φ10 / φ12	-	14	14 ¹⁾	14	14
-	-	φ12	M12	16	16	16	16
M16	M10	φ14	-	18	18	18	18
-	-	φ16	M16	20	20	20	20
M20	M12	-	-	22	22	22	22
-	-	φ20	M20	25	25	25	25
M24	M16	-	-	28	28	28	28
M27	-	-	-	30	-	30	30
-	M20	φ25 / φ26	M24	32	32	32	32
M30	-	φ28	M27	35	35	35	35
-	-	φ30	-	37	-	37	37
-	-	φ32	-	40	-	40	40

¹⁾ Nur in Kombination mit Hilti Entstauber mit einer Ansaugmenge ≥ 61 l/s (d.h. VC 20/40 –Y nur im Netzbetrieb (230V))

Reinigungsalternativen

Handreinigung (MC):

Zum Ausblasen von Bohrlöchern bis zu einem Durchmesser von $d_0 \leq 20$ mm und einer Bohrlochtiefe von $h_0 \leq 10 \cdot d$ wird die Hilti-Handausblaspumpe empfohlen.



Druckluftreinigung (CAC):

Zum Ausblasen mit Druckluft wird die Verwendung einer Ausblasdüse mit einem Durchmesser von mindestens 3,5 mm empfohlen.



Automatische Reinigung (AC):

Die Reinigung wird während dem Bohren mit dem Hilti TE-CD und TE-YD Bohrsystem inklusive Staubsauger durchgeführt.



Injektionssystem Hilti HIT-HY 200-A

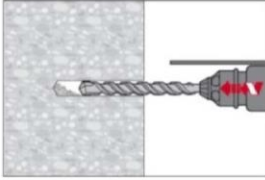
Angaben zum Verwendungszweck
Angaben zu Reinigungs- und Setzwerkzeugen

Anhang B8

Montageanweisung

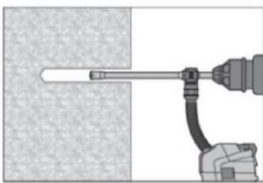
Bohrlocherstellung

a) Hammerbohren



Bohrloch mit Bohrhämmer drehschlagend, unter Verwendung des passenden Bohrerdurchmessers auf die richtige Bohrtiefe erstellen.

b) Hammerbohren mit Hilti Hohlbohrer



Die Bohrlocherstellung bis zur erforderlichen Setztiefe erfolgt drehschlagend mit einem Hilti Hohlbohrer TE-CD oder TE-YD in Kombination mit einem Hilti Entstaubern VC 20/40 (-Y) (Ansaugmenge ≥ 57 l/s) mit eingeschalteter automatischer Filterabreinigung zu verwenden. Dieses Bohrsystem beseitigt bei Anwendung gemäß der Gebrauchsanweisung des Hohlbohrers das Bohrmehl und reinigt das Bohrloch während des Bohrvorgangs. Für Hohlbohrer TE-CD Größe 12 und 14 siehe Tabelle B8.

Nach Beendigung des Bohrens kann mit Mörtelverfüllung gemäß Montageanweisung begonnen werden.

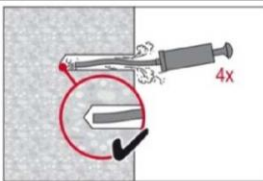
Bohrlochreinigung

unmittelbar vor dem Setzen des Dübels muss das Bohrloch frei von Bohrmehl und Verunreinigungen sein. Schlechte Bohrlochreinigung = geringe

Handreinigung (MC)

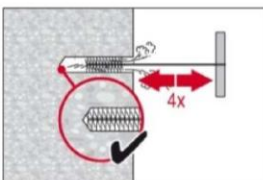
Nur für ungerissenen Beton

für Bohrdurchmesser $d_0 \leq 20$ mm und Bohrlochtiefen $h_0 \leq 10 \cdot d$



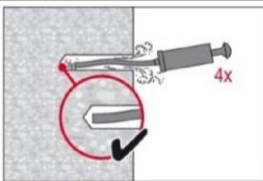
Für Bohrdurchmesser $d_0 \leq 20$ mm und Verankerungstiefen $h_{ef} \leq 10 \cdot d$ kann die Hilti Handausblaspumpe verwendet werden.

Das Bohrloch mindestens 4-mal mit der Hilti Ausblaspumpe vom Bohrlochgrund ausblasen, bis die rückströmende Luft staubfrei ist.



4-mal mit Stahlbürste in passender Größe (siehe Tabelle B8) bürsten. Stahlbürste Hilti HIT-RB mit einer Drehbewegung in das Bohrloch bis zum Bohrlochgrund einführen und wieder herausziehen (falls notwendig mit Verlängerung).

Die Bürste muss beim Einführen einen Widerstand erzeugen (Bürste $\varnothing \geq$ Bohrloch \varnothing) – falls nicht, ist die Bürste zu klein und muss durch eine größere Bürste ersetzt werden.



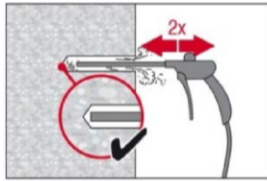
Bohrloch erneut mit der Hilti Handausblaspumpe vom Bohrlochgrund mindestens 4-mal ausblasen, bis die rückströmende Luft staubfrei ist.

Injektionssystem Hilti HIT-HY 200-A

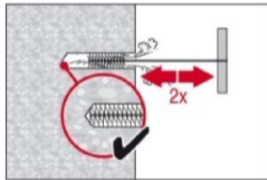
Angaben zum Verwendungszweck
Montageanweisung

Anhang B9

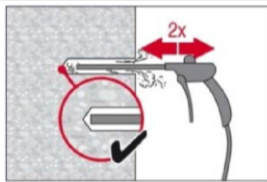
Druckluftreinigung (CAC) für alle Bohrlochdurchmesser d_0 und Bohrlochtiefen h_0



Bohrloch 2-mal vom Bohrlochgrund über die gesamte Länge mit ölfreier Druckluft (min. 6 bar bei 6 m³/h; falls notwendig mit Verlängerung) ausblasen, bis die rückströmende Luft staubfrei ist.
Bei Bohrlochdurchmesser ≥ 32 mm muss der Kompressor mindestens 140 m³/h Luftstrom haben.

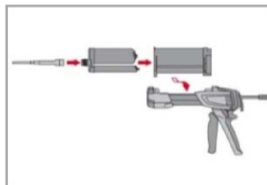


2-mal mit Stahlbürste in passender Größe (siehe Tabelle B8) bürsten. Stahlbürste Hilti HIT-RB mit einer Drehbewegung in das Bohrloch bis zum Bohrlochgrund einführen und wieder herausziehen (falls notwendig mit Verlängerung).
Die Bürste muss beim Einführen einen Widerstand erzeugen (Bürste $\varnothing \geq$ Bohrloch \varnothing) – falls nicht, ist die Bürste zu klein und muss durch eine größere Bürste ersetzt werden.

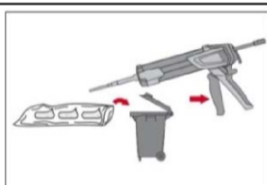


Bohrloch erneut vom Bohrlochgrund über die gesamte Länge 2-mal mit Druckluft ausblasen, bis die rückströmende Luft staubfrei ist.

Injektionsvorbereitung



Hilti Statikmischer HIT-RE-M fest auf Foliengebinde aufschrauben. Den Mischer unter keinen Umständen verändern.
Befolgen Sie die Bedienungsanleitung des Auspressgerätes. Prüfen der Kassette auf einwandfreie Funktion. Keine beschädigten Foliengebinde / Kassette verwenden.
Foliengebinde in die Kassette einführen und Kassette in Auspressgerät einsetzen.



Das Öffnen der Foliengebinde erfolgt automatisch bei Auspressbeginn. Der am Anfang aus dem Mischer austretende Mörtelvorlauf darf nicht für Befestigungen verwendet werden. Die Menge des Mörtelvorlaufes ist abhängig von der Gebindegröße:

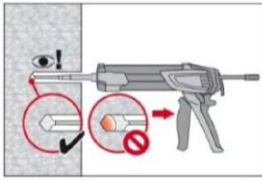
- | | |
|--------|---------------------------------------|
| 2 Hübe | für 330 ml Foliengebinde, |
| 3 Hübe | für 500 ml Foliengebinde, |
| 4 Hübe | für 500 ml Foliengebinde ≤ 5 °C. |

Injektionssystem Hilti HIT-HY 200-A

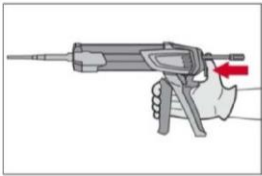
Angaben zum Verwendungszweck
Montageanweisung

Anhang B10

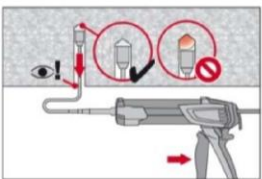
Injektion des Mörtels vom Bohrlochgrund ohne Luftblasen zu bilden



Injizieren des Mörtels vom Bohrlochgrund und während jedem Hub den Mischer langsam etwas herausziehen.
Das Bohrloch zu ca. 2/3 verfüllen. Nach dem Einsetzen des Befestigungselementes muss der Ringspalt vollständig mit Mörtel ausgefüllt sein.

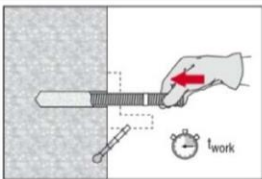


Nach der Mörtelinjektion die Entriegelungstaste am Auspressgerät betätigen, um Mörtelnachlauf zu vermeiden.

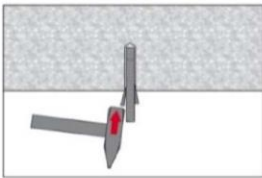


Überkopfanwendung und/oder Montage bei Verankerungstiefen von $h_{ef} > 250\text{mm}$.
Das Injizieren des Mörtels bei Überkopfanwendung ist nur mit Hilfe von Stauzapfen und Verlängerungen möglich.
HIT-RE-M Mischer, Mischerverlängerung und entsprechenden Stauzapfen Hilti HIT-SZ (siehe Tabelle B8) zusammenfügen. Den Stauzapfen bis zum Bohrlochgrund einführen und Mörtel injizieren. Während der Injektion wird der Stauzapfen über den Staudruck vom Bohrlochgrund automatisch nach außen geschoben.

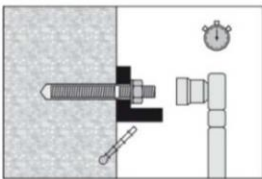
Setzen des Befestigungselementes



Vor der Montage sicherstellen, dass das Element trocken und frei von Öl und anderen Verunreinigungen ist.
Befestigungselement markieren und bis zur gewünschten Verankerungstiefe einführen, noch bevor die Verarbeitungszeit t_{work} abgelaufen ist.
Verarbeitungszeit t_{work} siehe Tabelle B7.



Bei Überkopfanwendung das Element in seiner endgültigen Position z.B. mittels Keilen gegen Herausrutschen sichern.



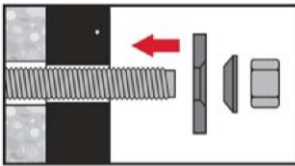
Last bzw. Drehmoment aufbringen:
Nach Ablauf der Aushärtezeit t_{cure} (siehe Tabelle B7) kann der Anker belastet werden. Das aufzubringende Drehmoment darf die angegebenen Werte T_{max} in Tabelle B2 bis Tabelle B5.

Injektionssystem Hilti HIT-HY 200-A

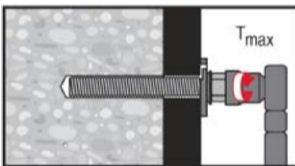
Angaben zum Verwendungszweck
Montageanweisung

Anhang B11

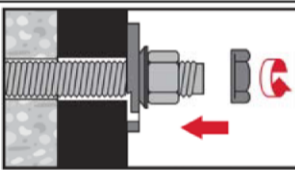
Montageanweisung mit Hilti Verfüll-Set



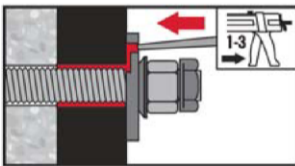
Kugelige Seite der Kugelscheibe zur Verfüllscheibe orientieren. Verfüllscheibe, Kugelscheibe und Mutter auf Gewinde montieren.



Das aufzubringende Drehmoment darf die angegebenen Werte T_{max} in Tabelle B2 bis Tabelle B5 nicht überschreiten.



Optional:
Sicherungsmutter aufdrehen und mit einer $\frac{1}{4}$ bis $\frac{1}{2}$ Umdrehung anziehen.
(Nicht für die Größe M24)



Ringspalt zwischen Befestigungsteil und Ankerstange mit dem Hilti Injektionsmörtel HIT-HY 200-A mit ca. 1 bis 3 Hieben verfüllen.
Befolgen der Setzanweisung der dem Mörtelgebilde beigelegten Gebrauchsanweisung.
Nach Ablauf der erforderlichen Aushärtezeit t_{cure} kann der Anker belastet werden

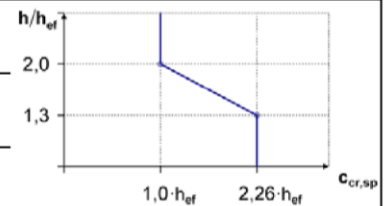
Injektionssystem Hilti HIT-HY 200-A

Angaben zum Verwendungszweck
Montageanweisung

Anhang C1

Tabelle C1: Charakteristische Werte der Zugtragfähigkeit für Gewindestangen, HIT-V-... und AM 8.8 in Beton

HIT-HY 200-A mit Gewindestange, HIT-V-..., AM 8.8			M8	M10	M12	M16	M20	M24	M27	M30		
Montagesicherheitsbeiwert	γ_2	[-]	1,0									
Stahlversagen												
Charakteristische Stahlwiderstand	$N_{Rk,s}$	[kN]	$A_s \cdot f_{uk}$									
Teilsicherheitsbeiwert klasse 8.8	$\gamma_{Ms,N}^{1)}$	[-]	1,5									
Teilsicherheitsbeiwert klasse 5.8	$\gamma_{Ms,N}^{1)}$	[-]	1,5									
Teilsicherheitsbeiwert HIT-V-R	$\gamma_{Ms,N}^{1)}$	[-]	1,86						2,86			
Teilsicherheitsbeiwert HIT-V-HCR	$\gamma_{Ms,N}^{1)}$	[-]	1,5					2,1				
Kombiniertes Versagen durch Herausziehen und Betonausbruch												
Charakteristische Verbundtragfähigkeit im ungerissenen Beton C20/25												
Temperaturbereich I: 40 °C/24 °C	$\tau_{Rk,ucr}$	[N/mm ²]	18									
Temperaturbereich II: 80 °C/50 °C	$\tau_{Rk,ucr}$	[N/mm ²]	15									
Temperaturbereich III: 120 °C/72 °C	$\tau_{Rk,ucr}$	[N/mm ²]	13									
Charakteristische Verbundtragfähigkeit im gerissenen Beton C50/60												
Temperaturbereich I: 40 °C/24 °C	$\tau_{Rk,cr}$	[N/mm ²]	7,5	8,5				9,0				
Temperaturbereich II: 80 °C/50 °C	$\tau_{Rk,cr}$	[N/mm ²]	6,0	7,0				7,5				
Temperaturbereich III: 120 °C/72 °C	$\tau_{Rk,cr}$	[N/mm ²]	5,5	6,0				6,5				
Erhöhungsfaktor für τ_{Rk} in Beton	ψ_c	C30/37	1,04									
		C40/45	1,07									
		C50/60	1,1									
Versagen durch Spalten												
Randabstand $c_{cr,sp}$ [mm] für	$h / h_{ef} \geq 2,0$		$1,0 \cdot h_{ef}$									
	$2,0 > h / h_{ef} > 1,3$		$4,6 \cdot h_{ef} - 1,8 \cdot h$									
	$h / h_{ef} \leq 1,3$		$2,26 \cdot h_{ef}$									
Achsabstand	$s_{cr,sp}$	[mm]	$2 \cdot c_{cr,sp}$									



¹⁾ Sofern andere nationale Regelungen fehlen.

Injektionssystem Hilti HIT-HY 200-A

Leistungsfähigkeit

Charakteristische Werte der Zugtragfähigkeit in Beton
Bemessung nach „EOTA Technical Report TR 029, Edition September 2010“

Anhang C1

Tabelle C2: Charakteristische Werte der Quertragfähigkeit für Gewindestangen, HIT-V-... und AM 8.8 in Beton

HIT-HY 200-A mit Gewindestange, HIT-V-..., AM 8.8			M8	M10	M12	M16	M20	M24	M27	M30		
Stahlversagen ohne Hebelarm												
Charakteristische Stahlwiderstand	$V_{Rk,s}$	[kN]	$0,5 \cdot A_s \cdot f_{uk}$									
Teilsicherheitsbeiwert klasse 8.8	$\gamma_{Ms,V}^{1)}$	[-]	1,25									
Teilsicherheitsbeiwert klasse 5.8	$\gamma_{Ms,V}^{1)}$	[-]	1,25									
Teilsicherheitsbeiwert HIT-V-R	$\gamma_{Ms,V}^{1)}$	[-]	1,56						2,38			
Teilsicherheitsbeiwert HIT-V-HCR	$\gamma_{Ms,V}^{1)}$	[-]	1,25					1,75				
Stahlversagen mit Hebelarm												
Charakteristische Biegemoment	$M^0_{Rk,s}$	[Nm]	$1,2 \cdot W_{el} \cdot f_{uk}$									
Betonausbruch auf der lastabgewandten Seite												
Faktor in Gleichung (5.7) des Technical Report TR 029 für die Bemessung von Verbunddübeln	k	[-]	2,0									
Betonkantenbruch												
Der Wert h_{ef} für die Berechnung in den Gleichungen (5.8a) und (5.8b) des Technical Report TR 029 ist begrenzt durch:	$\min(h_{ef}, 12 \cdot d_{nom})$											
Außendurchmesser Dübel	d_{nom}	[mm]	8	10	12	16	20	24	27	30		

¹⁾ Sofern andere nationale Regelungen fehlen.

Injektionssystem Hilti HIT-HY 200-A

Leistungsfähigkeit

Charakteristische Werte der Quertragfähigkeit in Beton
Bemessung nach „EOTA Technical Report TR 029, Edition September 2010“

Anhang C2

Tabelle C3: Charakteristische Werte der Zugtragfähigkeit für Innengewindehülse HIS-(R)N in Beton

Hilti HIT-HY 200-A mit HIS-(R)N			M8	M10	M12	M16	M20
Montagesicherheitsbeiwert	γ_2	[-]	1,0				
Stahlversagen							
HIS-N mit Schraube 8.8	$N_{Rk,s}$	[kN]	25	46	67	125	116
Teilsicherheitsbeiwert	$\gamma_{Ms,N}^{1)}$	[-]	1,50				
HIS-RN mit Schraube 70	$N_{Rk,s}$	[kN]	26	41	59	110	166
Teilsicherheitsbeiwert	$\gamma_{Ms,N}^{1)}$	[-]	1,87				
Kombiniertes Versagen durch Herausziehen und Betonausbruch							
Verankerungstiefe	h_{ef}	[mm]	90	110	125	170	205
Hülsenaußendurchmesser	d_1	[mm]	12,5	16,5	20,5	25,4	27,6
Charakteristische Verbundtragfähigkeit im ungerissenen Beton C20/25							
Temperaturbereich I: 40 °C/24 °C	$\tau_{Rk,ucr}$	[N/mm ²]	13				
Temperaturbereich II: 80 °C/50 °C	$\tau_{Rk,ucr}$	[N/mm ²]	11				
Temperaturbereich III: 120 °C/72 °C	$\tau_{Rk,ucr}$	[N/mm ²]	9,5				
Charakteristische Verbundtragfähigkeit im gerissenen Beton C20/25							
Temperaturbereich I: 40 °C/24 °C	$\tau_{Rk,cr}$	[N/mm ²]	7				
Temperaturbereich II: 80 °C/50 °C	$\tau_{Rk,cr}$	[N/mm ²]	5,5				
Temperaturbereich III: 120 °C/72 °C	$\tau_{Rk,cr}$	[N/mm ²]	5				
Erhöhungsfaktor für τ_{Rk} in Beton	ψ_c	C30/37	1,04				
		C40/45	1,07				
		C50/60	1,1				
Versagen durch Spalten							
Randabstand $c_{cr,sp}$ [mm] für	$h / h_{ef} \geq 2,0$		1,0 · h_{ef}				
	$2,0 > h / h_{ef} > 1,3$		4,6 · h_{ef} - 1,8 · h				
	$h / h_{ef} \leq 1,3$		2,26 · h_{ef}				
Achsabstand	$s_{cr,sp}$	[mm]	2 · $c_{cr,sp}$				

¹⁾ Sofern andere nationale Regelungen fehlen.

Injektionssystem Hilti HIT-HY 200-A

Leistungsfähigkeit

Charakteristische Werte der Zugtragfähigkeit in Beton
Bemessung nach „EOTA Technical Report TR 029, Edition September 2010“

Anhang C3

Tabelle C4: Charakteristische Werte der Quertragfähigkeit für Innengewindehülse HIS-(R)N in Beton

Hilti HIT-HY 200-A mit HIS-(R)N			M8	M10	M12	M16	M20
Stahlversagen ohne Hebelarm							
HIS-N mit Schraube 8.8	$V_{Rk,s}$	[kN]	13	23	34	63	58
Teilsicherheitsbeiwert	$\gamma_{Ms,V}^{1)}$	[-]	1,25				
HIS-RN mit Schraube 70	$V_{Rk,s}$	[kN]	13	20	30	55	83
Teilsicherheitsbeiwert	$\gamma_{Ms,V}^{1)}$	[-]	1,56				
Stahlversagen mit Hebelarm							
HIS-N mit Schraube 8.8	$M^o_{Rk,s}$	[Nm]	30	60	105	266	519
Teilsicherheitsbeiwert	$\gamma_{Ms,V}^{1)}$	[-]	1,25				
HIS-RN mit Schraube 70	$M^o_{Rk,s}$	[Nm]	26	52	92	233	454
Teilsicherheitsbeiwert	$\gamma_{Ms,V}^{1)}$	[-]	1,56				
Betonausbruch auf der lastabgewandten Seite							
Faktor in Gleichung (5.7) des Technical Report TR 029 für die Bemessung von Verbunddübeln	k	[-]	2,0				
Betonkantenbruch							
Außendurchmesser Dübel	d_{nom}	[mm]	12,5	16,5	20,5	25,4	27,6

¹⁾ Sofern andere nationale Regelungen fehlen.

Injektionssystem Hilti HIT-HY 200-A

Leistungsfähigkeit

Charakteristische Werte der Quertragfähigkeit in Beton
Bemessung nach „EOTA Technical Report TR 029, Edition September 2010“

Anhang C4

**Tabelle C5: Charakteristische Werte der Zugtragfähigkeit für Hilti Zuganker
HZA / HZA-R in Beton**

Hilti HIT-HY 200-A mit HZA, HZA-R			M12	M16	M20	M24	M27
Montagesicherheitsbeiwert	γ_2	[-]	1,0				
Stahlversagen							
Charakteristische Widerstand HZA	$N_{Rk,s}$	[kN]	46	86	135	194	253
Charakteristische Widerstand HZA-R	$N_{Rk,s}$	[kN]	62	111	173	248	-
Teilsicherheitsbeiwert	$\gamma_{Ms,N}^1$	[-]	1,4				
Kombiniertes Versagen durch Herausziehen und Betonausbruch							
Durchmesser des Betonstahl	d	[mm]	12	16	20	25	28
Charakteristische Verbundtragfähigkeit im ungerissenen Beton C20/25							
Temperaturbereich I: 40 °C/24 °C	$\tau_{Rk,ucr}$	[N/mm ²]	12				
Temperaturbereich II: 80 °C/50 °C	$\tau_{Rk,ucr}$	[N/mm ²]	10				
Temperaturbereich III: 120 °C/72 °C	$\tau_{Rk,ucr}$	[N/mm ²]	8,5				
Charakteristische Verbundtragfähigkeit im gerissenen Beton C20/25							
Temperaturbereich I: 40 °C/24 °C	$\tau_{Rk,cr}$	[N/mm ²]	7				
Temperaturbereich II: 80 °C/50 °C	$\tau_{Rk,cr}$	[N/mm ²]	5,5				
Temperaturbereich III: 120 °C/72 °C	$\tau_{Rk,cr}$	[N/mm ²]	5				
Erhöhungsfaktor für τ_{Rk} in Beton	ψ_c	C30/37	1,04				
		C40/45	1,07				
		C50/60	1,1				
Verankerungstiefe zur Berechnung von $N_{Rk,p}^0$ gem. Formel 5.2a (TR 029, 5.2.2.3 Kombiniertes Versagen durch Herausziehen und Betonausbruch)	HZA	h_{ef}	[mm]	$h_{nom} - 20$			
	HZA-R	h_{ef}	[mm]	$h_{nom} - 100$			-
Betonausbruch							
Verankerungstiefe zur Berechnung von $N_{Rk,C}^0$ gem. Formel 5.3a (TR 029, 5.2.2.4 Betonversagen)	HZA HZA-R	h_{ef}	[mm]	h_{nom}			
Versagen durch Spalten							
Randabstand $c_{cr,sp}$ [mm] für	$h / h_{ef} \geq 2,0$		$1,0 \cdot h_{ef}$				
	$2,0 > h / h_{ef} > 1,3$		$4,6 \cdot h_{ef} - 1,8 \cdot h$				
	$h / h_{ef} \leq 1,3$		$2,26 \cdot h_{ef}$				
Achsabstand	$s_{cr,sp}$	[mm]	$2 \cdot c_{cr,sp}$				

¹⁾ Sofern andere nationale Regelungen fehlen.

Injektionssystem Hilti HIT-HY 200-A

Leistungsfähigkeit

Charakteristische Werte der Zugtragfähigkeit in Beton
Bemessung nach „EOTA Technical Report TR 029, Edition September 2010“

Anhang C5

**Tabelle C6: Charakteristische Werte der Quertragfähigkeit für Hilti Zuganker
HZA / HZA-R in Beton**

Hilti HIT-HY 200-A mit HZA, HZA-R		M12	M16	M20	M24	M27
Stahlversagen ohne Hebelarm						
Charakteristische Stahlwiderstand HZA	$V_{Rk,s}$ [kN]	23	43	67	97	126
Charakteristische Stahlwiderstand HZA-R	$V_{Rk,s}$ [kN]	31	55	86	124	-
Teilsicherheitsbeiwert	$\gamma_{Ms,N}$ ¹⁾ [-]	1,5				
Stahlversagen mit Hebelarm						
Charakteristische Biegemoment HZA	$M^0_{Rk,s}$ [Nm]	72	183	357	617	915
Charakteristische Biegemoment HZA-R	$M^0_{Rk,s}$ [Nm]	97	234	457	790	-
Teilsicherheitsbeiwert	$\gamma_{Ms,N}$ ¹⁾ [-]	1,5				
Betonausbruch auf der lastabgewandten Seite						
Faktor in Gleichung (5.7) des Technical Report TR 029 für die Bemessung von Verbunddübeln	k [-]	2,0				
Betonkantenbruch						
Der Wert h_{ef} für die Berechnung in den Gleichungen (5.8a) und (5.8b) des Technical Report TR 029 ist begrenzt durch:		min (h_{nom} ; $12 \cdot d_{nom}$)				
Außendurchmesser Dübel	d_{nom} [mm]	12	16	20	24	27

¹⁾ Sofern andere nationale Regelungen fehlen.

Injektionssystem Hilti HIT-HY 200-A

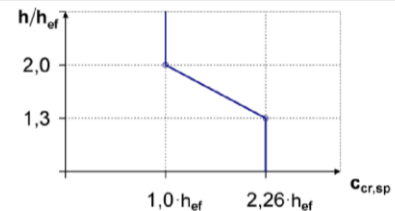
Leistungsfähigkeit

Charakteristische Werte der Quertragfähigkeit in Beton
Bemessung nach „EOTA Technical Report TR 029, Edition September 2010“

Anhang C6

Tabelle C7: Charakteristische Werte der Zugtragfähigkeit für Betonstahl in Beton

HIT-HY 200-A mit Betonstahl		φ 8	φ 10	φ 12	φ 14	φ 16	φ 20	φ 25	φ 26	φ 28	φ 30	φ 32	
Montagesicherheitsbeiwert	γ_2 [-]	1,0											
Stahlversagen													
Charakteristische Stahlwiderstand mit Betonstahl B500B gemäß DIN 488:2009-08 ²⁾	$N_{Rk,s}$ [kN]	28	43	62	85	111	173	270	292	339	388	442	
Teilsicherheitsbeiwert ³⁾	$\gamma_{Ms,N}^{1)}$ [-]	1,4											
Kombiniertes Versagen durch Herausziehen und Betonausbruch													
Durchmesser des Betonstahl	d [mm]	8	10	12	14	16	20	25	26	28	30	32	
Charakteristische Verbundtragfähigkeit im ungerissenen Beton C20/25													
Temperaturbereich I: 40 °C/24 °C	$\tau_{Rk,ucr}$ [N/mm ²]	12											
Temperaturbereich II: 80 °C/50 °C	$\tau_{Rk,ucr}$ [N/mm ²]	10											
Temperaturbereich III: 120 °C/72 °C	$\tau_{Rk,ucr}$ [N/mm ²]	8,5											
Charakteristische Verbundtragfähigkeit im gerissenen Beton C20/25													
Temperaturbereich I: 40 °C/24 °C	$\tau_{Rk,cr}$ [N/mm ²]	-	5										7
Temperaturbereich II: 80 °C/50 °C	$\tau_{Rk,cr}$ [N/mm ²]	-	4										5,5
Temperaturbereich III: 120 °C/72 °C	$\tau_{Rk,cr}$ [N/mm ²]	-	3,5										5
Erhöhungsfaktor für τ_{Rk} in Beton	ψ_c	C30/37											1,04
		C40/45											1,07
		C50/60											1,1
Versagen durch Spalten													
Randabstand $c_{cr,sp}$ [mm] für	$h / h_{ef} \geq 2,0$	$1,0 \cdot h_{ef}$											
	$2,0 > h / h_{ef} > 1,3$	$4,6 \cdot h_{ef} - 1,8 \cdot h$											
	$h / h_{ef} \leq 1,3$	$2,26 \cdot h_{ef}$											
Achsabstand	$s_{cr,sp}$ [mm]	$2 c_{cr,sp}$											



¹⁾ Sofern andere nationale Regelungen fehlen.
²⁾ Die charakteristische Zugtragfähigkeit $N_{Rk,s}$ für Betonstahl, der DIN 488 nicht entspricht, ist gemäß Technical Report TR029, Gleichung (5.1) zu berechnen.
³⁾ Die Teilsicherheitsbeiwert $\gamma_{Ms,N}$ für Betonstahl, der DIN 488 nicht entspricht, ist gemäß Technical Report TR029, Gleichung (3.3a) zu berechnen.

Injektionssystem Hilti HIT-HY 200-A

Leistungsfähigkeit
 Charakteristische Werte der Zugtragfähigkeit in Beton
 Bemessung nach „EOTA Technical Report TR 029, Edition September 2010“

Anhang C7

Tabelle C8: Charakteristische Werte der Quertragfähigkeit für Betonstahl

HIT-HY 200-A mit Betonstahl	φ 8	φ 10	φ 12	φ 14	φ 16	φ 20	φ 25	φ 26	φ 28	φ 30	φ 32	
Stahlversagen ohne Hebelarm												
Charakteristische Stahlwiderstand mit Betonstahl B500B gemäß DIN 488:2009-08 ²⁾	$V_{Rk,s}$ [kN]	14	22	31	42	55	86	135	146	169	194	221
Teilsicherheitsbeiwert ⁴⁾	$\gamma_{Ms,V}^{1)}$ [-]	1,50										
Stahlversagen mit Hebelarm												
Charakteristische Biegemoment mit Betonstahl B500B gemäß DIN 488:2009-08 ³⁾	$M^0_{Rk,s}$ [Nm]	33	65	112	178	265	518	1012	1139	1422	1749	2123
Betonausbruch auf der lastabgewandten Seite												
Faktor in Gleichung (5.7) des Technical Report TR 029 für die Bemessung von Verbunddübeln	k [-]	2,0										
Betonkantenbruch												
Der Wert h_{ef} für die Berechnung in den Gleichungen (5.8a) und (5.8b) des Technical Report TR 029 ist begrenzt durch:		min (h_{ef} ; $12 \cdot d_{nom}$)										
Außendurchmesser Dübel	d_{nom} [mm]	8	10	12	14	16	20	25	26	28	30	32

¹⁾ Sofern andere nationale Regelungen fehlen.

²⁾ Die charakteristische Quertragfähigkeit $V_{Rk,s}$ für Betonstahl, die nicht der DIN 488 entspricht, ist gemäß Technical Report TR 029, Gleichung (5.5) zu berechnen.

³⁾ Die charakteristische Biegetragfähigkeit $M^0_{Rk,s}$ für Betonstahl, die nicht der DIN 488 entspricht, ist gemäß Technical Report TR 029, Gleichung (5.6b) zu berechnen.

⁴⁾ Die Teilsicherheitsbeiwert $\gamma_{Ms,V}$ für Betonstahl, die nicht der DIN 488 entspricht, ist gemäß Technical Report TR 029, Gleichung (3.3b) oder Gleichung (3.3c) zu berechnen.

Injektionssystem Hilti HIT-HY 200-A

Leistungsfähigkeit

Charakteristische Werte der Quertragfähigkeit in Beton
Bemessung nach „EOTA Technical Report TR 029, Edition September 2010“

Anhang C8

Tabelle C9: Verschiebungen unter Zuglast

Hilti HIT-HY 200-A mit Gewindestange, HIT-V-..., AM 8.8			M8	M10	M12	M16	M20	M24	M27	M30
Ungerissener Beton Temperaturbereich I : 40°C / 24°C										
Verschiebung	δ_{N0}	[mm/(N/mm ²)]	0,02	0,03	0,03	0,04	0,06	0,07	0,07	0,08
	$\delta_{N\infty}$	[mm/(N/mm ²)]	0,04	0,05	0,06	0,08	0,10	0,13	0,14	0,16
Ungerissener Beton Temperaturbereich II : 80°C / 50°C										
Verschiebung	δ_{N0}	[mm/(N/mm ²)]	0,03	0,04	0,05	0,06	0,08	0,09	0,10	0,12
	$\delta_{N\infty}$	[mm/(N/mm ²)]	0,04	0,05	0,06	0,09	0,11	0,13	0,15	0,16
Ungerissener Beton Temperaturbereich III : 120°C / 72°C										
Verschiebung	δ_{N0}	[mm/(N/mm ²)]	0,04	0,05	0,06	0,08	0,10	0,12	0,13	0,16
	$\delta_{N\infty}$	[mm/(N/mm ²)]	0,04	0,05	0,07	0,09	0,11	0,13	0,15	0,17
Gerissener Beton Temperaturbereich I : 40°C / 24°C										
Verschiebung	δ_{N0}	[mm/(N/mm ²)]	0,07							
	$\delta_{N\infty}$	[mm/(N/mm ²)]	0,16							
Gerissener Beton Temperaturbereich II : 80°C / 50°C										
Verschiebung	δ_{N0}	[mm/(N/mm ²)]	0,10							
	$\delta_{N\infty}$	[mm/(N/mm ²)]	0,22							
Gerissener Beton Temperaturbereich III : 120°C / 72°C										
Verschiebung	δ_{N0}	[mm/(N/mm ²)]	0,13							
	$\delta_{N\infty}$	[mm/(N/mm ²)]	0,29							

Tabelle C10: Verschiebungen unter Querlast

Hilti HIT-HY 200-A mit Gewindestange, HIT-V-..., AM 8.8			M8	M10	M12	M16	M20	M24	M27	M30
Verschiebung	δ_{V0}	[mm/kN]	0,06	0,06	0,05	0,04	0,04	0,03	0,03	0,03
	$\delta_{V\infty}$	[mm/kN]	0,09	0,08	0,08	0,06	0,06	0,05	0,05	0,05

Injektionssystem Hilti HIT-HY 200-A

Leistungsfähigkeit
Verschiebungen mit Gewindestange, HIT-V-... und AM 8.8

Anhang C9

Tabelle C11: Verschiebungen unter Zuglast

Hilti HIT-HY 200-A mit HIS-(R)N		M8	M10	M12	M16	M20
Ungerissener Beton Temperaturbereich I : 40°C / 24°C						
Verschiebung	δ_{N0} [mm/(N/mm ²)]	0,03	0,05	0,06	0,07	0,08
	$\delta_{N\infty}$ [mm/(N/mm ²)]	0,06	0,09	0,11	0,13	0,14
Ungerissener Beton Temperaturbereich II : 80°C / 50°C						
Verschiebung	δ_{N0} [mm/(N/mm ²)]	0,05	0,06	0,08	0,10	0,11
	$\delta_{N\infty}$ [mm/(N/mm ²)]	0,07	0,09	0,11	0,13	0,15
Ungerissener Beton Temperaturbereich III : 120°C / 72°C						
Verschiebung	δ_{N0} [mm/(N/mm ²)]	0,06	0,08	0,10	0,13	0,14
	$\delta_{N\infty}$ [mm/(N/mm ²)]	0,07	0,09	0,11	0,14	0,15
Gerissener Beton Temperaturbereich I : 40°C / 24°C						
Verschiebung	δ_{N0} [mm/(N/mm ²)]					0,11
	$\delta_{N\infty}$ [mm/(N/mm ²)]					0,16
Gerissener Beton Temperaturbereich II : 80°C / 50°C						
Verschiebung	δ_{N0} [mm/(N/mm ²)]					0,15
	$\delta_{N\infty}$ [mm/(N/mm ²)]					0,22
Gerissener Beton Temperaturbereich III : 120°C / 72°C						
Verschiebung	δ_{N0} [mm/(N/mm ²)]					0,20
	$\delta_{N\infty}$ [mm/(N/mm ²)]					0,29

Tabelle C12: Verschiebungen unter Querlast

Hilti HIT-HY 200-A mit HIS-(R)N		M8	M10	M12	M16	M20
Verschiebung	δ_{V0} [mm/kN]	0,06	0,06	0,05	0,04	0,04
	$\delta_{V\infty}$ [mm/kN]	0,09	0,08	0,08	0,06	0,06

Injektionssystem Hilti HIT-HY 200-A

Leistungsfähigkeit
Verschiebungen mit HIS-(R)N

Anhang C10

Tabelle C13: Verschiebungen unter Zuglast

Hilti HIT-HY 200-A mit HZA, HZA-R			M12	M16	M20	M24	M27
Ungerissener Beton Temperaturbereich I : 40°C / 24°C							
Verschiebung	δ_{N0}	[mm/(N/mm ²)]	0,03	0,04	0,06	0,07	0,08
	$\delta_{N\infty}$	[mm/(N/mm ²)]	0,06	0,08	0,13	0,13	0,15
Ungerissener Beton Temperaturbereich II : 80°C / 50°C							
Verschiebung	δ_{N0}	[mm/(N/mm ²)]	0,05	0,06	0,08	0,10	0,11
	$\delta_{N\infty}$	[mm/(N/mm ²)]	0,06	0,09	0,14	0,14	0,15
Ungerissener Beton Temperaturbereich III : 120°C / 72°C							
Verschiebung	δ_{N0}	[mm/(N/mm ²)]	0,06	0,08	0,10	0,12	0,14
	$\delta_{N\infty}$	[mm/(N/mm ²)]	0,07	0,09	0,14	0,14	0,16
Gerissener Beton Temperaturbereich I : 40°C / 24°C							
Verschiebung	δ_{N0}	[mm/(N/mm ²)]	0,11				
	$\delta_{N\infty}$	[mm/(N/mm ²)]	0,16				
Gerissener Beton Temperaturbereich II : 80°C / 50°C							
Verschiebung	δ_{N0}	[mm/(N/mm ²)]	0,15				
	$\delta_{N\infty}$	[mm/(N/mm ²)]	0,22				
Gerissener Beton Temperaturbereich III : 120°C / 72°C							
Verschiebung	δ_{N0}	[mm/(N/mm ²)]	0,20				
	$\delta_{N\infty}$	[mm/(N/mm ²)]	0,29				

Tabelle C14: Verschiebungen unter Querlast

Hilti HIT-HY 200-A mit HZA, HZA-R			M12	M16	M20	M24	M27
Verschiebung	δ_{V0}	[mm/kN]	0,05	0,04	0,04	0,03	0,03
	$\delta_{V\infty}$	[mm/kN]	0,08	0,06	0,06	0,05	0,05

Injektionssystem Hilti HIT-HY 200-A

Leistungsfähigkeit
Verschiebungen mit HZA, HZA-R

Anhang C11

Tabelle C15: Verschiebungen unter Zuglast

Hilti HIT-HY 200-A mit Betonstahl		φ 8	φ 10	φ 12	φ 14	φ 16	φ 20	φ 25	φ 26	φ 28	φ 30	φ 32	
Ungerissener Beton Temperaturbereich I : 40°C / 24°C													
Verschiebung	δ_{N0} [mm/(N/mm ²)]	0,02	0,03	0,03	0,04	0,04	0,06	0,07	0,08	0,08	0,09	0,09	
	$\delta_{N\infty}$ [mm/(N/mm ²)]	0,04	0,05	0,06	0,07	0,08	0,10	0,13	0,14	0,15	0,16	0,17	
Ungerissener Beton Temperaturbereich II : 80°C / 50°C													
Verschiebung	δ_{N0} [mm/(N/mm ²)]	0,03	0,04	0,05	0,05	0,06	0,08	0,10	0,11	0,11	0,12	0,12	
	$\delta_{N\infty}$ [mm/(N/mm ²)]	0,04	0,05	0,06	0,07	0,09	0,11	0,14	0,15	0,15	0,16	0,17	
Ungerissener Beton Temperaturbereich III : 120°C / 72°C													
Verschiebung	δ_{N0} [mm/(N/mm ²)]	0,04	0,05	0,06	0,07	0,08	0,10	0,12	0,13	0,14	0,15	0,16	
	$\delta_{N\infty}$ [mm/(N/mm ²)]	0,04	0,05	0,07	0,08	0,09	0,11	0,14	0,15	0,16	0,17	0,18	
Gerissener Beton Temperaturbereich I : 40°C / 24°C													
Verschiebung	δ_{N0} [mm/(N/mm ²)]							0,11					
	$\delta_{N\infty}$ [mm/(N/mm ²)]							0,16					
Gerissener Beton Temperaturbereich II : 80°C / 50°C													
Verschiebung	δ_{N0} [mm/(N/mm ²)]							0,15					
	$\delta_{N\infty}$ [mm/(N/mm ²)]							0,22					
Gerissener Beton Temperaturbereich III : 120°C / 72°C													
Verschiebung	δ_{N0} [mm/(N/mm ²)]							0,20					
	$\delta_{N\infty}$ [mm/(N/mm ²)]							0,29					

Tabelle C16: Verschiebungen unter Querlast

Hilti HIT-HY 200-A mit Betonstahl		φ 8	φ 10	φ 12	φ 14	φ 16	φ 20	φ 25	φ 26	φ 28	φ 30	φ 32
Verschiebung	δ_{V0} [mm/kN]	0,06	0,05	0,05	0,04	0,04	0,04	0,03	0,03	0,03	0,03	0,03
	$\delta_{V\infty}$ [mm/kN]	0,09	0,08	0,07	0,06	0,06	0,05	0,05	0,05	0,04	0,04	0,04

Injektionssystem Hilti HIT-HY 200-A

Leistungsfähigkeit
Verschiebungen mit Betonstahl

Anhang C12

Die seismische Bemessung erfolgt gemäß TR 045 „Design of metal anchors for use in concrete under seismic action“

Tabelle C17: Charakteristische Werte der Zugtragfähigkeit für Gewindestangen, HIT-V-... und AM 8.8 bei Erdbebenbeanspruchung, Leistungskategorie C1

HIT-HY 200-A mit Gewindestange, HIT-V-..., AM 8.8		M8	M10	M12	M16	M20	M24	M27	M30
Stahlversagen									
HIT-V-5.8(F), Gewindestange 5.8	$N_{Rk,s,seis}$ [kN]	-	29	42	79	123	177	230	281
HIT-V-8.8(F), Gewindestange 8.8	$N_{Rk,s,seis}$ [kN]	-	46	67	126	196	282	367	449
HIT-V-R, Gewindestange A4-70	$N_{Rk,s,seis}$ [kN]	-	41	59	110	172	247	230	281
HIT-V-HCR, Gewindestange-HCR-80	$N_{Rk,s,seis}$ [kN]	-	46	67	126	196	247	321	393
Kombiniertes Versagen durch Herausziehen und Betonausbruch									
Charakteristische Verbundtragfähigkeit in gerissenem Beton C20/25									
Temperaturbereich I: 40 °C/24 °C	$\tau_{Rk,seis}$ [N/mm ²]	-	5,2	7,0					
Temperaturbereich II: 80 °C/50 °C	$\tau_{Rk,seis}$ [N/mm ²]	-	3,9	5,7					
Temperaturbereich III: 120 °C/72 °C	$\tau_{Rk,seis}$ [N/mm ²]	-	3,5	4,8					

Tabelle C18: Charakteristische Werte der Quertragfähigkeit für Gewindestangen, HIT-V-... und AM 8.8 bei Erdbebenbeanspruchung, Leistungskategorie C1

HIT-HY 200-A mit Gewindestange, HIT-V-..., AM 8.8		M8	M10	M12	M16	M20	M24	M27	M30
Stahlversagen ohne Hebelarm									
HIT-V 5.8(F), Gewindestange 5.8	$V_{Rk,s,seis}$ [kN]	-	11	15	27	43	62	81	98
HIT-V 8.8(F), Gewindestange 8.8	$V_{Rk,s,seis}$ [kN]	-	16	24	44	69	99	129	157
HIT-V R, Gewindestange A4-70	$V_{Rk,s,seis}$ [kN]	-	14	21	39	60	87	81	98
HIT-V HCR, Gewindestange HCR-80	$V_{Rk,s,seis}$ [kN]	-	16	24	44	69	87	113	137

Tabelle C19: Verschiebungen unter Zuglast bei Erdbebenbeanspruchung, Leistungskategorie C1

HIT-HY 200-A mit Gewindestange, HIT-V-..., AM 8.8		M8	M10	M12	M16	M20	M24	M27	M30
Verschiebung ¹⁾	$\delta_{N,seis}$ [mm]	-	0,8	0,8	0,8	0,8	0,8	0,8	0,8

¹⁾ Maximale Verschiebung während der zyklischen Beanspruchung (Erdbeben).

Tabelle C20: Verschiebungen unter Querlast bei Erdbebenbeanspruchung, Leistungskategorie C1

HIT-HY 200-A mit Gewindestange, HIT-V-..., AM 8.8		M8	M10	M12	M16	M20	M24	M27	M30
Verschiebung ¹⁾	$\delta_{V,seis}$ [mm]	-	3,5	3,8	4,4	5,0	5,6	6,1	6,5

¹⁾ Maximale Verschiebung während der zyklischen Beanspruchung (Erdbeben).

Injektionssystem Hilti HIT-HY 200-A

Leistungsfähigkeit

Charakteristische Werte / Verschiebung bei Erdbebenbeanspruchung, Leistungskat. C1
Bemessung nach „EOTA Technical Report TR045, Edition Februar 2013“

Anhang C13

Tabelle C21: Charakteristische Werte der Zugtragfähigkeit für Hilti Zuganker HZA / HZA-R bei Erdbebenbeanspruchung, Leistungskategorie C1

HIT-HY 200-A mit Hilti Zuganker HZA, HZA-R		M12	M16	M20	M24	M27
Stahlversagen						
Charakteristische Stahlwiderstand HZA	$N_{Rk,s,seis}$ [kN]	46	86	135	194	253
Charakteristische Stahlwiderstand HZA-R	$N_{Rk,s,seis}$ [kN]	62	111	173	248	-
Teilsicherheitsbeiwert	$\gamma_{Ms,N,seis}^{1)}$ [-]	1,4				
Kombiniertes Versagen durch Herausziehen und Betonausbruch						
Durchmesser des Betonstahls	d [mm]	12	16	20	25	28
Charakteristische Verbundtragfähigkeit im gerissenen Beton C20/25						
Temperaturbereich I:	40°C/24°C	$\tau_{Rk,cr}$ [N/mm ²]	6,1			
Temperaturbereich II:	80°C/50°C	$\tau_{Rk,cr}$ [N/mm ²]	4,8			
Temperaturbereich III:	120°C/72°C	$\tau_{Rk,cr}$ [N/mm ²]	4,4			

¹⁾ Sofern andere nationale Regelungen fehlen.

Tabelle C22: Charakteristische Werte der Quertragfähigkeit für Hilti Zuganker HZA / HZA-R bei Erdbebenbeanspruchung, Leistungskategorie C1

HIT-HY 200-A mit Hilti Zuganker HZA, HZA-R		M12	M16	M20	M24	M27
Stahlversagen mit Hebelarm						
Charakteristische Biegemoment HZA	$V_{Rk,s,seis}$ [kN]	16	30	47	68	88
Charakteristische Biegemoment HZA-R	$V_{Rk,s,seis}$ [kN]	22	39	60	124	-
Teilsicherheitsbeiwert	$\gamma_{Ms,V,seis}^{1)}$ [-]	1,5				

¹⁾ Sofern andere nationale Regelungen fehlen.

Tabelle C23: Verschiebungen unter Zuglast bei Erdbebenbeanspruchung, Leistungskategorie C1

HIT-HY 200-A mit Hilti Zuganker HZA, HZA-R		M12	M16	M20	M24	M27
Verschiebung ¹⁾	$\delta_{N,seis}$ [mm]	1,3	1,3	1,3	1,3	1,3

¹⁾ Maximale Verschiebung während der zyklischen Beanspruchung (Erdbeben).

Tabelle C24: Verschiebungen unter Querlast bei Erdbebenbeanspruchung, Leistungskategorie C1

HIT-HY 200-A mit Hilti HIT-HY 200-A mit HZA, HZA-R		M12	M16	M20	M24	M27
Verschiebung ¹⁾	$\delta_{V,seis}$ [mm]	3,8	4,4	5,0	5,6	6,1

¹⁾ Maximale Verschiebung während der zyklischen Beanspruchung (Erdbeben).

Injektionssystem Hilti HIT-HY 200-A

Leistungsfähigkeit

Charakteristische Werte / Verschiebung bei Erdbebenbeanspruchung, Leistungskat. C1
Bemessung nach „EOTA Technical Report TR045, Edition Februar 2013“

Anhang C14

Tabelle C25: Charakteristische Werte der Zugtragfähigkeit für Betonstahl bei Erdbebenbeanspruchung, Leistungskategorie C1

HIT-HY 200-A mit Betonstahl	φ 8	φ 10	φ 12	φ 14	φ 16	φ 20	φ 25	φ 26	φ 28	φ 30	φ 32	
Stahlversagen												
Charakteristische Stahlwiderstand mit Betonstahl B500B gemäß DIN 488:2009-08 ¹⁾	$N_{Rk,s,seis}$ [kN]	-	43	62	85	111	173	270	292	339	388	442
Kombiniertes Versagen durch Herausziehen und Betonausbruch												
Durchmesser des Betonstahl	d [mm]	-	10	12	14	16	20	25	26	28	30	32
Charakteristische Verbundtragfähigkeit im gerissenen Beton C20/25												
Temperaturbereich I: 40°C/24°C	$\tau_{Rk,cr}$ [N/mm ²]	-	4,4					6,1				
Temperaturbereich II: 80°C/50°C	$\tau_{Rk,cr}$ [N/mm ²]	-	3,5					4,8				
Temperaturbereich III: 120°C/72°C	$\tau_{Rk,cr}$ [N/mm ²]	-	3					4,4				

¹⁾ Die charakteristische Zugtragfähigkeit $N_{Rk,s,seis}$ für Betonstahl, die nicht der DIN 488 entspricht, ist gemäß Technical Report TR 029, Gleichung (5.1) zu berechnen, $N_{Rk,s,seis} = N_{Rk,s}$.

Tabelle C26: Charakteristische Werte der Quertragfähigkeit für Betonstahl bei Erdbebenbeanspruchung, Leistungskategorie C1

HIT-HY 200-A mit Betonstahl	φ 8	φ 10	φ 12	φ 14	φ 16	φ 20	φ 25	φ 26	φ 28	φ 30	φ 32	
Stahlversagen ohne Hebelarm												
Charakteristische Stahlwiderstand mit Betonstahl B500B gemäß DIN 488:2009-08 ¹⁾	$V_{Rk,s,seis}$ [kN]	-	15	22	29	39	60	95	102	118	135	165

¹⁾ Die charakteristische Quertragfähigkeit $V_{Rk,s,seis}$ für Betonstahl, die nicht der DIN 488 entspricht, ist gemäß Technical Report TR 029, Gleichung (5.5) zu berechnen, $V_{Rk,s,seis} = 0,7 \times V_{Rk,s}$.

Tabelle C27: Verschiebungen unter Zuglast bei Erdbebenbeanspruchung, Leistungskategorie C1

Hilti HIT-HY 200-A mit Betonstahl	φ 8	φ 10	φ 12	φ 14	φ 16	φ 20	φ 25	φ 26	φ 28	φ 30	φ 32
Verschiebung ¹⁾	$\delta_{N,seis}$ [mm]	-	1,3	1,3	1,3	1,3	1,3	1,3	1,3	1,3	1,3

¹⁾ Maximale Verschiebung während der zyklischen Beanspruchung (Erdbeben).

Tabelle C28: Verschiebungen unter Querlast bei Erdbebenbeanspruchung, Leistungskategorie C1

Hilti HIT-HY 200-A mit Betonstahl	φ 8	φ 10	φ 12	φ 14	φ 16	φ 20	φ 25	φ 26	φ 28	φ 30	φ 32	
Verschiebung ¹⁾	$\delta_{V,seis}$ [mm]	-	3,5	3,8	4,1	4,4	5,0	5,8	6,2	6,2	6,8	6,8

¹⁾ Maximale Verschiebung während der zyklischen Beanspruchung (Erdbeben).

Injektionssystem Hilti HIT-HY 200-A

Leistungsfähigkeit

Charakteristische Werte / Verschiebung bei Erdbebenbeanspruchung, Leistungskat. C1
Bemessung nach „EOTA Technical Report TR045, Edition Februar 2013“

Anhang C15

Tabelle C29: Charakteristische Werte der Zugtragfähigkeit für Gewindestangen, HIT-V-... und AM 8.8 bei Erdbebenbeanspruchung, Leistungskategorie C2

HIT-HY 200-A mit Gewindestange, HIT-V-..., AM 8.8	M8	M10	M12	M16	M20	M24	M27	M30
Stahlversagen								
HIT-V (-F) 8.8, AM (HDG) 8.8 Handelsübliche Gewindestange 8.8 nur galvanisch verzinkt	$N_{Rk,s,seis}$ [kN]		-	126	196	282	-	
Kombiniertes Versagen durch Herausziehen und Betonausbruch								
Charakteristische Verbundtragfähigkeit in gerissenem Beton C20/25, in hammergebohrten Bohrlöchern (TE-CD und TE-YD)								
Temperaturbereich I: 40 °C/24 °C	$\tau_{Rk,seis}$ [N/mm ²]	-	3,9	4,3	3,5	-		
Temperaturbereich II: 80 °C/50 °C	$\tau_{Rk,seis}$ [N/mm ²]	-	3,3	3,7	2,9	-		
Temperaturbereich III: 120 °C/72 °C	$\tau_{Rk,seis}$ [N/mm ²]	-	2,8	3,2	2,5	-		

Tabelle C30: Charakteristische Werte der Quertragfähigkeit für Gewindestangen, HIT-V-... und AM 8.8 bei Erdbebenbeanspruchung, Leistungskategorie C2

HIT-HY 200-A mit Gewindestange, HIT-V-..., AM 8.8	M8	M10	M12	M16	M20	M24	M27	M30
Stahlversagen ohne Hebelarm, Montage mit Hilti Verfüll-Set								
HIT-V 8.8, AM 8.8	$V_{Rk,s,seis}$ [kN]		-	46	77	103	-	
Stahlversagen ohne Hebelarm, Montage ohne Hilti Verfüll-Set								
HIT-V 8.8, AM 8.8	$V_{Rk,s,seis}$ [kN]		-	40	71	90	-	
HIT-V-F 8.8, AM HDG 8.8	$V_{Rk,s,seis}$ [kN]		-	30	46	66	-	
Handelsübliche Gewindestange 8.8 galvanisch verzinkt	$V_{Rk,s,seis}$ [kN]		-	28	50	63	-	

Injektionssystem Hilti HIT-HY 200-A

Leistungsfähigkeit

Charakteristische Werte bei Erdbebenbeanspruchung, Leistungskat. C2
Bemessung nach „EOTA Technical Report TR045, Edition Februar 2013“

Anhang C16

Tabelle C31: Verschiebungen unter Zuglast bei Erdbebenbeanspruchung, Leistungskategorie C2

HIT-HY 200-A mit Gewindestange, HIT-V-..., AM 8.8	M8	M10	M12	M16	M20	M24	M27	M30
Verschiebung DLS, HIT-V (-F) 8.8, AM (HDG) 8.8 $\delta_{N,seis(DLS)}$ [mm]	-	-	-	0,2	0,5	0,4	-	-
Verschiebung ULS, HIT-V (-F) 8.8, AM (HDG) 8.8 $\delta_{N,seis(ULS)}$ [mm]	-	-	-	0,6	0,8	1,0	-	-

Tabelle C32: Verschiebungen unter Querlast bei Erdbebenbeanspruchung, Leistungskategorie C2

HIT-HY 200-A mit Gewindestange, HIT-V-..., AM 8.8	M8	M10	M12	M16	M20	M24	M27	M30
Montage mit Hilti Verfüll-Set								
Verschiebung DLS, HIT-V 8.8, AM 8.8 $\delta_{V,seis(DLS)}$ [mm]	-	-	-	1,2	1,4	1,1	-	-
Verschiebung ULS, HIT-V 8.8, AM 8.8 $\delta_{V,seis(ULS)}$ [mm]	-	-	-	3,2	3,8	2,6	-	-
Montage ohne Hilti Verfüll-Set								
Verschiebung DLS, HIT-V 8.8, AM 8.8 $\delta_{V,seis(DLS)}$ [mm]	-	-	-	3,2	2,5	3,5	-	-
Verschiebung DLS, HIT-V-F 8.8, AM HDG 8.8 $\delta_{V,seis(DLS)}$ [mm]	-	-	-	2,3	3,8	3,7	-	-
Verschiebung ULS, HIT-V 8.8, AM 8.8 $\delta_{V,seis(ULS)}$ [mm]	-	-	-	9,2	7,1	10,2	-	-
Verschiebung ULS, HIT-V-F 8.8, AM HDG 8.8 $\delta_{V,seis(ULS)}$ [mm]	-	-	-	4,3	9,1	8,4	-	-

Injektionssystem Hilti HIT-HY 200-A

Leistungsfähigkeit

Verschiebung bei Erdbebenbeanspruchung, Leistungskat. C2
Bemessung nach „EOTA Technical Report TR045, Edition Februar 2013“

Anhang C17

Evaluation Technique Européenne ETE-11/0493 du 28 juillet 2017

Traduction française réalisée par Hilti - Version originale en allemand et anglais

Partie générale

Organisme d'évaluation technique ayant délivré l'évaluation technique européenne	Deutsches Institut für Bautechnik
Nom commercial du produit de construction	Système de scellement par injection Hilti HIT-HY 200-A
Famille de produits à laquelle appartient le produit de la construction	Cheville à scellement pour ancrage dans le béton
Fabricant	Hilti Aktiengesellschaft 9494 SCHAAN FÜRSTENTUM LIECHTENSTEIN
Usine de fabrication	Usines Hilti
Cette évaluation technique européenne contient	39 pages incluant 3 annexes
La présente Evaluation Technique Européenne est délivrée conformément au règlement (UE) n° 305/2011, sur la base de	Guide d'agrément technique européen sur les "Chevilles métalliques pour le béton", ETAG 001, partie 5 : Chevilles à scellement, avril 2013, utilisé comme Document d'Évaluation Européenne (DEE) selon l'article 66, paragraphe 3 du Règlement (UE) n° 305/2011.
Cette version remplace	l'ETE-11/0493 délivrée le 3 février 2017

L'évaluation technique européenne est délivrée par l'organisme d'évaluation technique dans sa langue officielle. Toutes les traductions dans d'autres langues doivent correspondre pleinement au document original et doivent être identifiées comme telles.

La communication de cette évaluation technique européenne, y compris la transmission par voie électronique, doit être complète. Cependant, une reproduction partielle peut être faite, avec le consentement écrit de l'organisme d'évaluation technique d'émission. Toute reproduction partielle doit être identifiée comme telle.

Cette évaluation technique européenne peut être annulée par l'organisme l'ayant délivré, notamment après notification de la Commission sur la base de l'article 25, paragraphe 3, du règlement (UE) n° 305/2011.

Partie spécifique

1 Définition technique du produit

Le système à injection Hilti HIT-HY 200-A est une cheville à scellement consistant en une cartouche de résine d'injection Hilti HIT-HY 200-A et un élément en acier conformément à l'Annexe A.

L'élément en acier est placé dans un trou foré rempli de résine d'injection et ancré via l'adhérence entre la partie métallique, la résine d'injection et le béton.

Un schéma et une description du produit sont donnés en annexe A.

2 Spécification de l'usage prévu selon le DEE applicable

Les performances données en section 3 ne sont valides que si la cheville est utilisée conformément aux spécifications et conditions données en annexe B.

Les dispositions prises dans la présente Evaluation Technique Européenne reposent sur l'hypothèse que la durée de vie estimée de la cheville pour l'utilisation prévue est de 50 ans. Les indications relatives à la durée de vie ne peuvent pas être interprétées comme une garantie donnée par le fabricant, mais doivent être considérées uniquement comme un moyen pour choisir le produit qui convient à la durée de vie économiquement raisonnable attendue des ouvrages.

3 Performances du produit et référence à la méthode d'essai utilisée pour l'évaluation

3.1 Résistance mécanique et stabilité (exigence 1)

Exigence fondamentale	Performances
Résistance caractéristique sous charges statiques et quasi-statiques, déplacements	Voir annexes C1 à C12
Résistance caractéristique pour les catégories de performance sismique C1 et C2, déplacements	Voir annexes C13 à C17

3.2 Sécurité en cas d'incendie (exigence 2)

Exigence fondamentale	Performances
Réaction au feu	Les ancrages sont conformes aux exigences de la classe A1
Résistance au feu	Aucune performance déterminée (APD)

3.3 Hygiène, santé et environnement (BWR 3)

En ce qui concerne les substances dangereuses, il peut y avoir des exigences (exemple : transposition de la législation européenne et des dispositions législatives, réglementaires et administratives nationales) applicables aux produits relevant du domaine d'emploi de la présente Evaluation Technique Européenne). Afin de respecter les dispositions du Règlement (UE) n° 305/2011, ces exigences doivent également être satisfaites lorsqu'elles et où elles s'appliquent.

3.4 Sécurité d'utilisation et accessibilité (exigence 4)

Pour l'exigence fondamentale Sécurité d'utilisation, les critères sont les mêmes que pour l'exigence fondamentale Résistance mécanique et stabilité.

4 Système d'évaluation et vérification de la constance des performances appliqué et base légale.

Conformément au Guide pour agrément technique européen ETAG 001, avril 2013, utilisé comme Document d'Evaluation Européenne (DEE) selon l'article 66 Paragraphe 3 du règlement (EU) N° 305/2011 et le document d'évaluation technique européenne DEE 330011-00-0601, le document légal applicable est le 96/582/EC.

Le système à appliquer est : 1

5 Données techniques nécessaires pour la mise en place d'un système d'évaluation et de vérification de la constance des performances (EVCP) conformément au DEE applicable

Les données techniques nécessaires à la mise en œuvre du système d'évaluation et de vérification de la constance des performances sont fixées dans le plan de contrôle déposé au Deutsches Institut für Bautechnik.

Délivré à Berlin le 28 juillet 2017 par le Deutsches Institut für Bautechnik

Ingénieur calcul bâtiment Andreas Kummerow
Chef de département

accrédité :
Lange

Conditions d'installation

Figure A1 :
Tige filetée et HIT-V-..., AM 8.8

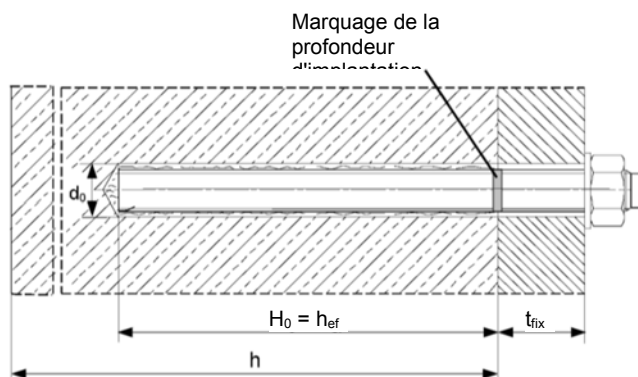


Figure A2 :
Tige filetée et HIT-V-..., AM 8.8, avec kit de remplissage Hilti

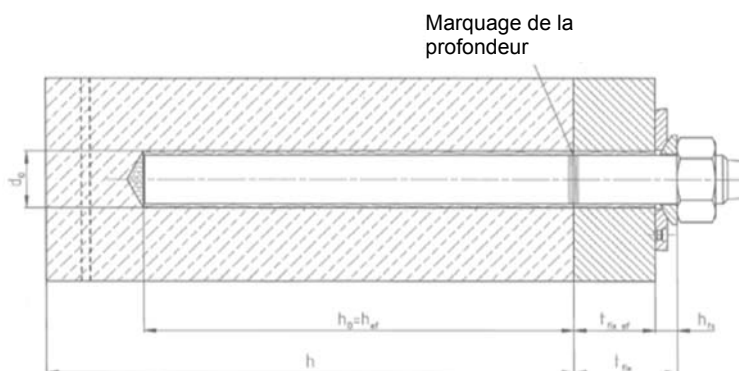
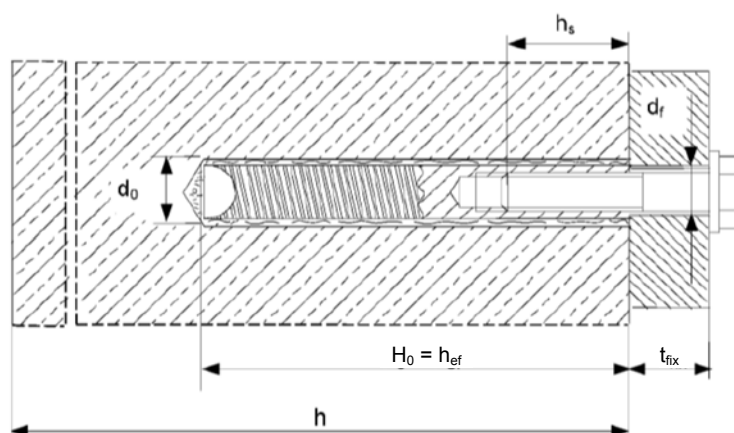


Figure A3 :
Douilles taraudées HIS-(R)N



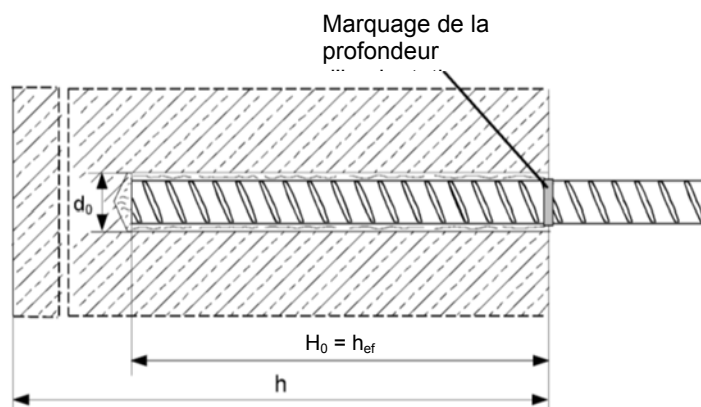
Système à injection Hilti HIT-HY 200-A

Description du produit
Conditions d'installation

Annexe A1

Conditions d'installation

Figure A4 :
Fers d'armature



Système à injection Hilti HIT-HY 200-A

Description du produit
Conditions d'installation

Annexe A2

Description du produit : résine d'injection et éléments en acier

Résine d'injection Hilti HIT-HY 200-A : système hybride comprenant résine, durcisseur et composant ciment eau 330 ml et 500 ml

Marquage :
HILTI-HIT
Numéro de fabrication et
ligne de production Date
d'expiration mm/aaaa



Nom du produit : « Hilti HIT-HY 200-A »

Buse mélangeuse Hilti HIT-RE-M



Éléments en acier



Tige filetée et HIT-V-... : M8 à M30



Tige Hilti AM 8.8 en acier électrozingué, AM HDG 8.8 version galvanisée à chaud M8 à M30, 1 m à 3 m

Tige filetée standard du commerce :

- Matériaux et propriétés mécanique selon le tableau A1.
- Certificat d'inspection 3.1 selon EN 10204:2004. Ce document doit être conservé.
- Marquage de la profondeur d'ancrage.



Douille à filetage intérieur : HIS-(R)N M8 à M20



Tige d'ancrage Hilti : HZA M12 à M27 et HZA-R M12 à M24

Système à injection Hilti HIT-HY 200-A

Description du produit
Résine d'injection / Buse mélangeuse / Éléments en acier

Annexe A3

Description du produit : Résine d'injection et éléments en acier



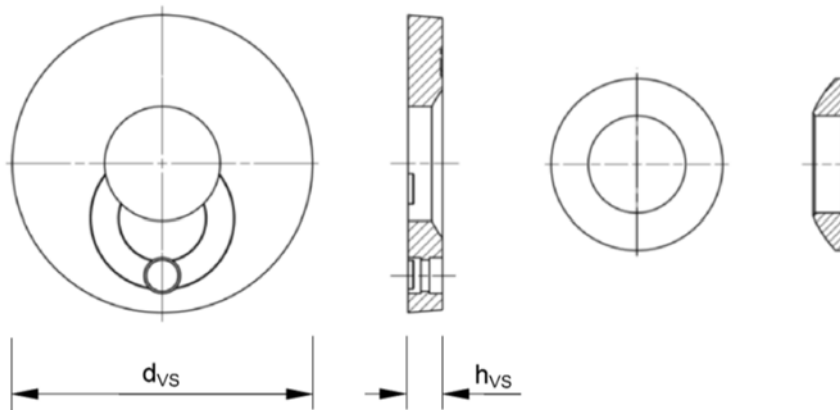
Fers d'armature : $\phi 8$ à $\phi 32$

- Matériaux et propriétés mécaniques selon le tableau A1
- Dimensions selon l'annexe B6

Kit de remplissage Hilti pour remplir l'espace annulaire entre la cheville et la pièce à fixer

Rondelle d'étanchéité

Rondelle sphérique



Kit de remplissage			M16	M20	M24
Diamètre de la rondelle d'étanchéité	d_{vs}	[mm]	56	60	70
Épaisseur de la rondelle d'étanchéité	h_{vs}	[mm]	6		

Système à injection Hilti HIT-HY 200-A

Description du produit
Résine d'injection / Buse mélangeuse / Eléments en acier

Annexe A4

Tableau A1 : Matériaux

Désignation	Matériau
Fers d'armature	
Fers d'armature : EN 1992-1-1: 2004 et AC:2010, Annexe C	Barres et fils redressés de classe de résistance B ou C avec f_{yk} et k conformes au NDP ou NCL de l'EN 1992-1-1/NA:2013 $f_{uk} = f_{tk} = k \cdot f_{yk}$
Parties métalliques en acier zingué	
Tige filetée, HIT-V-5.8(F)	Classe de résistance 5.8, $f_{uk} = 500 \text{ N/mm}^2$, $f_{yk} = 400 \text{ N/mm}^2$, Allongement au moment de la rupture ($l_0 = 5d$) > 8 % ductile Acier électro-zingué $\geq 5 \mu\text{m}$, (F) version galvanisée à chaud $\geq 45 \mu\text{m}$
Tige filetée, HIT-V-8.8(F)	Classe de résistance 8.8, $f_{uk} = 800 \text{ N/mm}^2$, $f_{yk} = 640 \text{ N/mm}^2$, Allongement au moment de la rupture ($l_0 = 5d$) > 12 % ductile Acier électro-zingué $\geq 5 \mu\text{m}$, (F) version galvanisée à chaud $\geq 45 \mu\text{m}$
Tige filetée Hilti, AM 8.8(HDG)	Classe de résistance 8.8, $f_{uk} = 800 \text{ N/mm}^2$, $f_{yk} = 640 \text{ N/mm}^2$, Allongement au moment de la rupture ($l_0 = 5d$) > 12 % ductile, Électrozinguage $\geq 5 \mu\text{m}@@$, (HDG) version galvanisée à chaud $\geq 45 \mu\text{m}$
Tige d'ancrage Hilti HZA	Acier rond avec partie filetée : électrozinguage $\geq 5 \mu\text{m}$ Barres d'armature de classe B ou C selon NDP ou NCL de la norme EN 1992-1-1/NA : 2013
Douille à filetage intérieur HIS-N	Électrozinguage $\geq 5 \mu\text{m}$
Rondelle	Électrozinguage $\geq 5 \mu\text{m}$, version galvanisée à chaud $\geq 45 \mu\text{m}$
Écrou	Classe de résistance de l'écrou adaptée à la classe de résistance de la tige filetée Électrozinguage $\geq 5 \mu\text{m}$, (F) version galvanisée à chaud $\geq 45 \mu\text{m}$
Kit de remplissage Hilti (F)	Rondelle de remplissage : électrozinguage $\geq 5 \mu\text{m}$, (F) version galvanisée à chaud $\geq 45 \mu\text{m}$ Rondelle sphérique : électrozinguage $\geq 5 \mu\text{m}$, (F) version galvanisée à chaud $\geq 45 \mu\text{m}$ Écrou de blocage : électrozinguage $\geq 5 \mu\text{m}$, (F) version galvanisée à chaud $\geq 45 \mu\text{m}@@$
Parties métalliques en acier inoxydable	
Tige filetée, HIT-V-R	Pour $\leq M24$: classe de résistance 70, $f_{uk} = 700 \text{ N/mm}^2$, $f_{yk} = 450 \text{ N/mm}^2$; Pour $> M24$: classe de résistance 50, $f_{uk} = 500 \text{ N/mm}^2$, $f_{yk} = 210 \text{ N/mm}^2$; Allongement au moment de la rupture ($l_0 = 5d$) > 8 % ductile Acier inoxydable 1.4401, 1.4404, 1.4578, 1.4571, 1.4439, 1.4362 EN 10088-1:2014
Tige d'ancrage Hilti HZA-R	Acier lisse avec partie filetée : Acier inoxydable 1.4404, 1.4362, 1.4571 EN 10088-1:2014 Barres d'armature de classe B ou C selon NDP ou NCL de la norme EN 1992-1-1/NA : 2013
Douille à filetage intérieur HIS-RN	Acier inoxydable 1.4401, 1.4571 EN 10088-1:2014
Rondelle	Acier inoxydable 1.4401, 1.4404, 1.4578, 1.4571, 1.4439, 1.4362 EN 10088-1:2014
Écrou	Classe de résistance de l'écrou adaptée à la classe de résistance de la tige filetée Acier inoxydable 1.4401, 1.4404, 1.4578, 1.4571, 1.4439, 1.4362 EN 10088-1:2014

Système à injection Hilti HIT-HY 200-A

Description du produit
Matériaux

Annexe A5

Traduit en français par Hilti

Parties métalliques en acier haute résistance à la corrosion	
---------------------------------------------------------------------	--

Tige filetée HIT-V-HCR	Pour $\leq M20$: $f_{uk} = 800 \text{ N/mm}^2$, $f_{yk} = 640 \text{ N/mm}^2$, Pour $> M20$: $f_{uk} = 700 \text{ N/mm}^2$, $f_{yk} = 400 \text{ N/mm}^2$, Allongement au moment de la rupture ($l_0 = 5d$) $> 8 \%$ ductile Acier haute résistance à la corrosion 1.4529, 1.4565 EN 10088-1:2014
Rondelle	Acier haute résistance à la corrosion 1.4529, 1.4565 EN 10088-1:2014
Écrou	Classe de résistance de l'écrou adaptée à la classe de résistance de la tige filetée Acier haute résistance à la corrosion 1.4529, 1.4565 EN 10088-1:2014

Système à injection Hilti HIT-HY 200-A	
-----------------------------------------------	--

Description du produit Matériaux	Annexe A6
--------------------------------------------	------------------

Spécifications de l'usage prévu

Ancrages soumis à :

- Charges statiques et quasi statiques.
- Catégories de performance sismique C1 et C2 (voir Tableau B1).

Matériau support :

- Béton de masse volumique normale armé ou non armé, selon EN 206-1:2000.
- Classes de résistance de C20/25 à C50/60, selon EN 206-1:2000.
- Béton fissuré et non fissuré.

Température du matériau support :

- **A l'installation**
-10 °C à +40 °C

- **En service**

Plage de températures I : -40 °C à +40 °C

(température max. à long terme +24 °C, et max. à court terme +40 °C)

Plage de températures II : -40 °C à +80 °C

(température max. à long terme +50 °C, et max. à court terme +80 °C)

Plage de températures III : -40 °C à +120 °C

(température max. à long terme +72 °C, et max. à court terme +120 °C)

Tableau B1 : Spécifications de l'usage prévu

Éléments	HIT-HY 200-A avec ...			
	HIT-V ... AM 8.8 	Barre d'armature 	HZA(-R) 	HIS-(R)N 
Perçage à percussion avec mèche creuse TE-CD ou TE-YD 	✓	✓	✓	✓
Perçage à percussion 	✓	✓	✓	✓
Charges statiques et quasi- statiques dans le béton fissuré et non fissuré	M8 à M30	φ 8 à φ 32	M12 à M27	M8 à M20
Catégorie de performance sismique C1	M10 à M30	φ 10 à φ 32	M12 à M27	-
Catégorie de performance sismique C2	M16 à M24, HIT-V 8.8, AM 8.8 HIT-V-F 8.8, AM HDG 8.8 Tige standard du commerce (électrozinguée uniquement)	-	-	-

Système à injection Hilti HIT-HY 200-A

Usage prévu
Spécifications

Annexe B1

Conditions d'utilisation (environnementales) :

- Ancrages soumis à une ambiance intérieure sèche (acier zingué, acier inoxydable ou acier à haute résistance à la corrosion).
- Structures soumises à une ambiance extérieure (y compris atmosphère industrielle et à proximité de la mer) et à des ambiances intérieures continuellement humides, pour autant que les conditions ambiantes ne soient pas particulièrement agressives (acier inoxydable ou à haute résistance à la corrosion).
- Structures soumises aux intempéries en extérieur et à des ambiances intérieures continuellement humides, avec des conditions particulièrement agressives (acier haute résistance à la corrosion).

Remarque : les conditions particulièrement agressives sont, par exemple, une immersion en eau de mer permanente ou périodique, des projections d'eau de mer, l'atmosphère chlorée des piscines couvertes ou une atmosphère avec pollution chimique extrême (par ex. usines de désulfuration ou tunnels routiers mettant en œuvre des produits de dégivrage).

Conception :

- Les ancrages sont conçus sous la responsabilité d'un ingénieur expert en ancrages et travaux de bétonnage.
 - Des plans et notes de calculs vérifiables sont préparés en tenant compte des charges devant être ancrées. La position de la cheville est indiquée sur les plans de conception (par ex. position de la cheville par rapport à l'armature ou aux supports, etc.).
 - Les ancrages sous charges statiques et quasi-statiques sont conçus selon :
« Le rapport technique EOTA TR 029, édition Septembre 2010 »
 - Les ancrages sous charges sismiques (béton fissuré) sont conçus selon :
« Le rapport technique EOTA TR 045, édition Février 2013 »
- Les ancrages doivent être positionnés en dehors des zones critiques (par ex. charnières en plastique) de la structure en béton. Les fixations dans un montage avec espacement ou avec une couche de coulis de ciment soumises à une action sismique ne sont pas couvertes par cette évaluation technique européenne (ETE).

Pose :

- Catégorie d'utilisation : béton sec ou mouillé (pas dans des trous noyés)
- Une installation en hauteur est possible
- Pose de chevilles réalisée par du personnel qualifié et sous la supervision du conducteur des travaux.

Système à injection Hilti HIT-HY 200-A

Usage prévu
Spécifications

Annexe B2

Tableau B2 : Paramètres d'installation de la tige filetée et HIT-V-... et AM 8.8

Tige filetée et HIT-V-... AM 8.8	M8	M10	M12	M16	M20	M24	M27	M30	
Diamètre de l'élément d [mm]	8	10	12	16	20	24	27	30	
Diamètre nominal de la mèche d _o [mm]	10	12	14	18	22	28	30	35	
Profondeur d'implantation effective et profondeur du trou h _{ef} = h _o percé [mm]	60 à 160	60 à 200	70 à 240	80 à 320	90 à 400	96 à 480	108 à 540	120 à 600	
Diamètre maximal du trou débouchant dans la pièce à fixer ¹⁾ d _r [mm]	9	12	14	18	22	26	30	33	
Épaisseur du kit de remplissage Hilti h _{fs} [mm]	-	-	-	11	13	15	-	-	
Épaisseur effective de la pièce à fixer avec kit de remplissage Hilti t _{fix,eff} [mm]	t _{fix,eff} t _{fix} -h _{fs}								
Épaisseur minimale de l'élément de structure en béton h _{min} [mm]	h _{ef} + 30 ≥ 100 mm			h _{ef} + 2·d _o					
Couple de serrage maximal T _{max} [Nm]	10	20	40	80	150	200	270	300	
Entraxe minimum S _{min} [mm]	40	50	60	75	90	115	120	140	
Distance au bord minimale C _{min} [mm]	40	45	45	50	55	60	75	80	

¹⁾ Pour des trous débouchants plus grands, voir « TR 029 section 1.1 »

HIT-V-...



Marquag

- 5.8 - l = HIT-V 5.8 M...x l
- 5.8F-l = HIT-V-5.8F M...x l
- 8.8 - l = HIT-V 8,8 M...x l
- 8.8F-l = HIT-V-8.8F M...x l
- R - l = HIT-V-R M...x l
- HCR-l = HIT-V-HCR M...x l

Tige filetée Hilti AM (HDG) 8.8



Système à injection Hilti HIT-HY 200-A

Usage prévu

Annexe B3

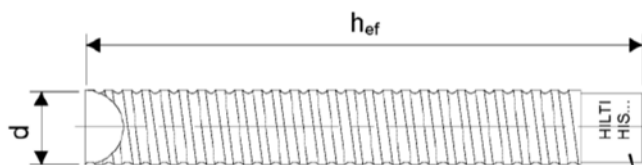
Paramètres d'installation pour tige filetée, HIT-V... et AM 8.8

Tableau B3 : Paramètres d'installation des douilles taraudées HIS-(R)N

Douille à filetage intérieur HIS-(R)N...			M8	M10	M12	M16	M20
Diamètre extérieur de la douille	d	[mm]	12,5	16,5	20,5	25,4	27,6
Diamètre nominal de la mèche	d _o	[mm]	14	18	22	28	32
Profondeur d'implantation effective et profondeur du trou percé	h _{ef} = h _o	[mm]	90	110	125	170	205
Diamètre maximal du trou débouchant dans la pièce à fixer ¹⁾	d _f	[mm]	9	12	14	18	22
Épaisseur minimale de l'élément de structure en béton	h _{min}	[mm]	120	150	170	230	270
Couple de serrage maximal	T _{max}	[Nm]	10	20	40	80	150
Longueur d'engagement du filetage min-max h _s		[mm]	8-20	10-25	12-30	16-40	20-50
Entraxe minimum	S _{min}	[mm]	60	75	90	115	130
Distance au bord minimale	C _{min}	[mm]	40	45	55	65	90

¹⁾ Pour des trous débouchants plus grands, voir « TR 029 section 1.1 »

Douille à filetage intérieur HIS-(R)N...



Marquage :
 Marquage d'identification - HILTI et gravure « HIS-N » (pour acier au carbone)
 Gravure « HIS-RN » (pour acier inoxydable)

Système à injection Hilti HIT-HY 200-A

Usage prévu

Annexe B4

Paramètres d'installation des douilles à filetage intérieur HIS-(R)N

Tableau B4 : Paramètres d'installation des tiges d'ancrage Hilti HZA-R

Tiges d'ancrage Hilti HZA-R ...		M12	M16	M20	M24
Diamètre des fers d'armature	ϕ [mm]	12	16	20	25
Profondeur d'implantation nominale et profondeur du trou percé	$h_{nom} = h_0$ [mm]	170 à 240	180 à 320	190 à 400	200 à 500
Profondeur d'implantation effective ($h_{ef} = h_{nom} - l_e$)	h_{ef} [mm]	$h_{nom} - 100$			
Longueur d'arbre lisse	l_e [mm]	100			
Diamètre nominal de la mèche	d_0 [mm]	16	20	25	32
Diamètre maximal du trou débouchant dans la pièce à fixer ¹⁾	d_f [mm]	14	18	22	26
Couple de serrage maximal	T_{max} [Nm]	40	80	150	200
Épaisseur minimale de l'élément de structure en béton	h_{min} [mm]	$h_{nom} + 2 \cdot d_0$			
Entraxe minimum	s_{min} [mm]	65	80	100	130
Distance au bord minimale	c_{min} [mm]	45	50	55	60

¹⁾ Pour des trous débouchants plus grands, voir « TR 029 section 1.1 »

Tableau B5 : Paramètres d'installation des tiges d'ancrage Hilti HZ A

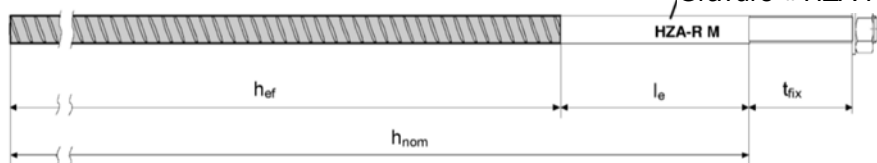
Tige d'ancrage Hilti HZA...		M12	M16	M20	M24	M27
Diamètre des fers d'armature	ϕ [mm]	12	16	20	25	28
Profondeur d'implantation nominale et profondeur du trou percé	$h_{nom} = h_0$ [mm]	90 à 240	100 à 320	110 à 400	120 à 500	140 à 560
Profondeur d'implantation effective ($h_{ef} = h_{nom} - l_e$)	h_{ef} [mm]	$h_{nom} - 20$				
Longueur d'arbre lisse	l_e [mm]	20				
Diamètre nominal de la mèche	d_0 [mm]	16	20	25	32	35
Diamètre maximal du trou débouchant dans la pièce à fixer ¹⁾	d_f [mm]	14	18	22	26	30
Couple de serrage maximal	T_{max} [Nm]	40	80	150	200	270
Épaisseur minimale de l'élément de structure en béton	h_{min} [mm]	$h_{nom} + 2 \cdot d_0$				
Entraxe minimum	s_{min} [mm]	65	80	100	130	140
Distance au bord minimale	c_{min} [mm]	45	50	55	60	75

¹⁾ Pour des trous débouchants plus grands, voir « TR 029 section 1.1 »

Marquage :

Gravure « HZA-R »

M .. /t_{fix}



Système à injection Hilti HIT-HY 200-A

Usage prévu

Annexe B5

Paramètres d'installation des tiges d'ancrage Hilti HZA-(R)

Tableau B6 : Paramètres d'installation des fers d'armature

Fers d'armature	ϕ 8	ϕ 10	ϕ 12	ϕ 14	ϕ 16	ϕ 20	ϕ 25	ϕ 26	ϕ 28	ϕ 30	ϕ 32
Diamètre ϕ [mm]	8	10	12	14	16	20	25	26	28	30	32
Profondeur d'implantation effective et profondeur du trou percé $h_{ef} = h_0$ [mm]	60 à 160	60 à 200	70 à 240	75 à 280	80 à 320	90 à 400	100 à 500	104 à 520	112 à 560	120 à 600	128 à 640
Diamètre nominal de la mèche d_0 [mm]	10 / 12 ¹⁾	12 / 14 ¹⁾	14 ¹⁾ / 16 ¹⁾	18	20	25	32	32	35	37	40
Épaisseur minimale de l'élément de structure en béton h_{min} [mm]	$h_{ef} + 30$ ≥ 100 mm			$h_{ef} + 2 \cdot d_0$							
Entraxe minimum s_{min} [mm]	40	50	60	70	80	100	125	130	140	150	160
Distance au bord minimale c_{min} [mm]	40	45	45	50	50	65	70	75	75	80	80

¹⁾ Chacune des deux valeurs indiquées peut être utilisée.

Fers d'armature



Pour boulon de fers d'armature

- Valeur minimum de la surface des nervures $f_{R,min}$ selon l'EN 1992-1-1:2004+AC:2010
- La hauteur des nervures de la barre h_{rib} doit être comprise dans la plage $0,05 \phi \leq h_{rib} \leq 0,07 \cdot \phi$ (ϕ : diamètre nominal de la barre ; h_{rib} : hauteur des nervures de la barre)

Traduit en français par Hilti

Usage prévu
Paramètres d'installation des fers d'armature

Tableau B7 : Temps de travail maximum et temps de durcissement minimum

Température du matériau support T	Durée pratique d'utilisation maximum t_{work}	Temps minimum de durcissement t_{cure}
-10 °C à -5 °C	1,5 heure	7 heures
> -5 °C à 0 °C	50 min	4 heures
> 0 °C à 5 °C	25 min	2 heures
> 5 °C à 10 °C	15 min	75 min
> 10 °C à 20 °C	7 min	45 min
> 20 °C à 30 °C	4 min	30 min
> 30 °C à 40 °C	3 min	30 min

Système à injection Hilti HIT-HY 200-A

Annexe B7

Usage prévu
Temps de travail maximum et temps de durcissement minimum

Tableau B8 : Paramètres de nettoyage et outils de pose

Éléments				Perçage et nettoyage		Installation	
Tige filetée, HIT-V-... AM 8.8	HIS-(R)N	Barre d'armature	HZA-(R)	Perçage à percussion		Ecouvillon	Embout d'injection
					Mèche creuse		
							
Taille	Taille	Taille	Taille	d ₀ [mm]	d ₀ [mm]	HIT-RB	HIT-SZ
M8	-	φ8	-	10	-	10	-
M10	-	φ8 / φ10	-	12	12 ¹⁾	12	12
M12	M8	φ10 / φ12	-	14	14 ¹⁾	14	14
-	-	φ12	M12	16	16	16	16
M16	M10	φ14	-	18	18	18	18
-	-	φ16	M16	20	20	20	20
M20	M12	-	-	22	22	22	22
-	-	φ20	M20	25	25	25	25
M24	M16	-	-	28	28	28	28
M27	-	-	-	30	-	30	30
-	M20	φ25 / φ26	M24	32	32	32	32
M30	-	φ28	M27	35	35	35	35
-	-	φ30	-	37	-	37	37
-	-	φ32	-	40	-	40	40

¹⁾ À utiliser en association avec l'aspirateur Hilti d'un volume d'aspiration ≥ 61 l/s (VC 20/40 –Y en mode filaire uniquement).

Solutions de nettoyage

Nettoyage manuel (MC) :
Pompe manuelle Hilti pour nettoyer les trous d'un diamètre d₀ ≤ 20 mm et d'une profondeur de h₀ ≤ 10 d



Nettoyage par air comprimé (CAC) :
La buse d'air a une ouverture d'au moins 3,5 mm de diamètre.



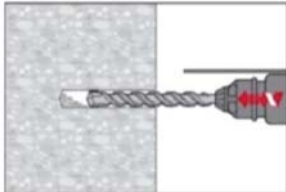
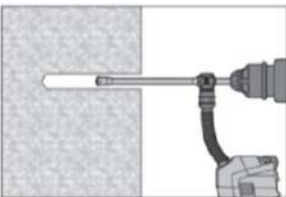
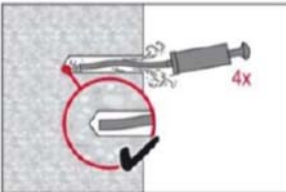
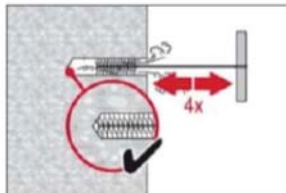
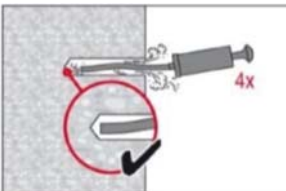
Nettoyage automatique (AC) :
Le nettoyage est réalisé pendant le forage, avec les systèmes de forage Hilti TE-CD et TE-YD incluant un aspirateur.

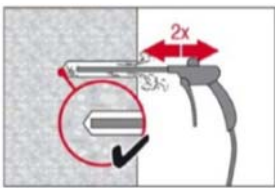
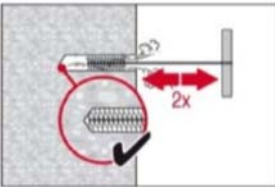
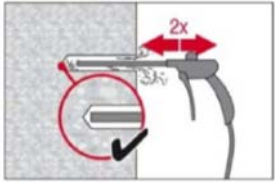
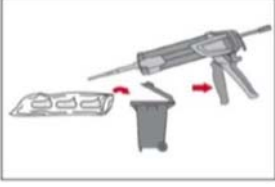


Système à injection Hilti HIT-HY 200-A

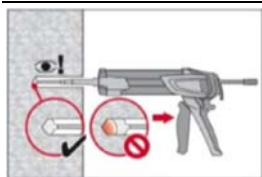
Usage prévu
Outils de nettoyage et de pose

Annexe B8

<h2>Instructions de pose</h2>	
<h3>Perçage du trou</h3>	
<h4>a) Perçage à percussion</h4>	
	<p>Percer le trou à la profondeur d'implantation requise en utilisant un marteau perforateur en rotation-percussion et une mèche au carbure de diamètre approprié.</p>
<h4>b) Perçage à percussion avec une mèche creuse Hilti</h4>	
	<p>Percer le trou à la profondeur d'implantation requise avec une mèche creuse Hilti TE-CD ou TIE-YD@@ de taille appropriée fixée à l'aspirateur Hilti VC 20/40 (-Y) (volume d'aspiration ≥ 57 l/s), avec nettoyage automatique du filtre activé. Le système de forage enlève la poussière et nettoie le trou pendant le perçage s'il est utilisé conformément au manuel de l'utilisateur. En cas d'utilisation de TE- CD taille 12 ou 14, se reporter au tableau B8</p> <p>Une fois le perçage terminé, passer à l'étape « Préparation de l'injection » des instructions de pose.</p>
<h3>Nettoyage du trou</h3>	
<p>Juste avant d'installer la cheville, le trou doit être nettoyé de toute poussière ou débris.</p>	
<h4>Nettoyage manuel (MC)</h4>	
<p>Pour béton non fissuré uniquement Pour les trous d'un diamètre $d_0 \leq 20$ mm et d'une profondeur $h_0 \leq 10 \cdot d$</p>	
	<p>La pompe manuelle Hilti peut être utilisée pour nettoyer les trous d'un diamètre $d_0 \leq 20$ mm et d'une profondeur $h_{ef} \leq 10 d$. Souffler au moins 4 fois depuis le fond du trou jusqu'à ce que l'air qui ressort soit exempt de poussière visible</p>
	<p>Brosser 4 fois avec l'écouvillon de taille spécifiée (voir Tableau B8) en insérant l'écouvillon métallique Hilti HIT-RB au fond du trou (si nécessaire utiliser une rallonge) avec un mouvement de rotation, puis en le retirant. L'écouvillon doit présenter une résistance naturelle à l'entrée dans le trou (\varnothing écouvillon $\geq \varnothing$ trou) - si ce n'est pas le cas, l'écouvillon est trop petit et doit être remplacé par un écouvillon de diamètre supérieur.</p>
	<p>Souffler de nouveau au moins 4 fois avec la pompe manuelle Hilti jusqu'à ce que l'air qui ressort soit exempt de poussière visible.</p>
<h3>Système à injection Hilti HIT-HY 200-A</h3>	
<p>Usage prévu Instructions de pose</p>	<p>Annexe B9</p>

<p>Nettoyage par air comprimé (CAC) pour tout diamètre de perçage d_0 et toute profondeur de perçage h_0</p>	
	<p>Souffler 2 fois depuis le fond du trou (si nécessaire avec une extension) et sur toute la longueur du trou avec de l'air comprimé exempt d'huile (minimum 6 bar à 6 m³/h) jusqu'à ce que l'air qui ressort soit exempt de poussière visible. Pour les trous de diamètre ≥ 32 mm, le compresseur doit fournir un débit d'air d'au moins 140 m³/h.</p>
	<p>Brosser 2 fois avec l'écouvillon de taille spécifiée (voir Tableau B8) en insérant l'écouvillon métallique Hilti HIT-RB au fond du trou (si nécessaire utiliser une rallonge) avec un mouvement de rotation, puis en le retirant. L'écouvillon doit présenter une résistance naturelle à l'entrée dans le trou (\varnothing écouvillon $\geq \varnothing$ trou) - si ce n'est pas le cas, l'écouvillon est trop petit et doit être remplacé par un écouvillon de diamètre supérieur.</p>
	<p>Souffler de nouveau 2 fois le trou à l'air comprimé jusqu'à ce que l'air sortant ne comporte aucune poussière visible.</p>
<p>Préparation de l'injection</p>	
	<p>Fixer soigneusement la buse mélangeuse Hilti HIT-RE-M à la cartouche souple (bien ajustée). Ne pas modifier la buse mélangeuse. Respecter les instructions d'utilisation de la pince à injecter. Vérifier le fonctionnement du porte-cartouche. Ne pas utiliser de porte-cartouche ou de cartouches souples endommagés Insérer la cartouche dans le porte-cartouches et placer celui-ci dans l'appareil à injection.</p>
	<p>Éliminer les premières pressions. La cartouche s'ouvre automatiquement lorsque l'injection commence. En fonction de la taille de la cartouche, les premières pressions doivent être jetées. Quantités à éliminer :</p> <ul style="list-style-type: none"> 2 coups pour une cartouche de 330 ml, 3 coups pour une cartouche de 500 ml, 4 coups pour une cartouche de 500 ml ≤ 5 °C.
<p>Système à injection Hilti HIT-HY 200-A</p>	
<p>Usage prévu Instructions de pose</p>	<p>Annexe B10</p>

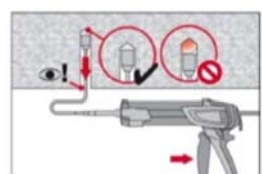
Injecter la résine à partir du fond du trou sans former de vides d'air.



Injecter la résine à partir du fond du trou vers l'extrémité et retirer lentement et progressivement la buse mélangeuse après chaque pression. Remplir les trous jusqu'aux 2/3 environ pour que l'espace annulaire entre la cheville et le béton soit complètement rempli sur toute la longueur d'implantation.

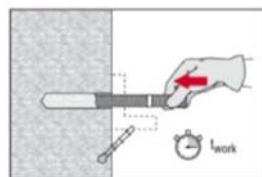


Après l'injection, dépressuriser la pince en pressant le bouton de verrouillage. Cela permettra d'éviter de continuer à injecter de la résine.

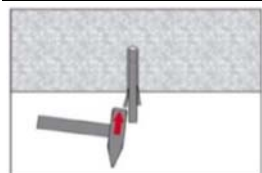


Installation au-dessus de la tête et/ou installation avec une profondeur d'implantation $h_{ef} > 250$ mm. Pour les applications au plafond, l'injection n'est possible qu'avec l'aide d'un embout à injection et d'une rallonge. Assembler la buse mélangeuse HIT-RE-M, la ou les rallonge(s) et l'embout à injection de taille appropriée (voir Tableau B8). Insérer l'embout à injection au fond du trou et commencer l'injection. Au cours de l'injection, l'embout sera naturellement repoussé par la pression de la résine vers le bord du trou

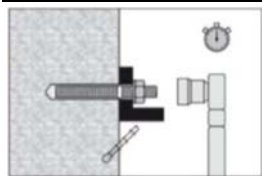
Mise en place de l'élément d'ancrage



Avant utilisation, vérifier que l'élément est sec et débarrassé de toute trace d'huile et autres contaminants. Marquer et insérer l'élément à la profondeur requise jusqu'à ce que le temps de travail t_{work} se soit écoulé. Le temps de travail t_{work} est indiqué dans le tableau B7.



Pour une application au plafond, utiliser un embout d'injection et fixer la barre avec des cales.

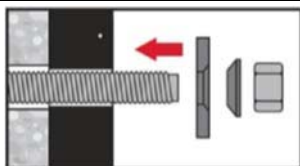


Mise en charge de la cheville : une fois le temps de durcissement t_{cure} requis écoulé (voir Tableau B7), la cheville peut être mise en charge. Le couple de serrage appliqué ne doit pas excéder les valeurs T_{max} indiquées dans les tableaux B2 à B5.

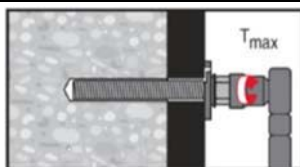
Système à injection Hilti HIT-HY 200-A

Annexe B11

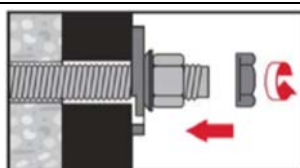
Installation du kit de remplissage



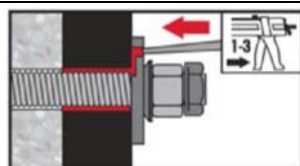
Utiliser le kit de remplissage Hilti avec un écrou standard. Respecter l'orientation appropriée de la rondelle de remplissage et de la rondelle sphérique.



Le couple de serrage appliqué ne doit pas excéder les valeurs T_{max} indiquées dans les tableaux B2 à B5.



En option :
Installation de l'écrou de blocage. Serrer de $\frac{1}{4}$ à $\frac{1}{2}$ tour (pas pour la taille M24).



Remplir l'espace annulaire entre la tige d'ancrage et la pièce à fixer d'une à trois pressions de résine d'injection Hilti HIT-HY 200 A.

Suivre les instructions de pose fournies avec la cartouche HIT-HY 200 A.

Une fois le temps de durcissement t_{cure} écoulé, la cheville peut être mise en charge.

Système à injection Hilti HIT-HY 200-A

Usage prévu
Instructions de pose

Annexe B12

Tableau C1 : Valeurs caractéristiques de résistance pour les tiges filetées, HIT-V-... et AM 8.8 sous charges de traction dans le béton

HIT-HY 200-A avec tige filetée, HIT-V-..., AM 8.8			M8	M10	M12	M16	M20	M24	M27	M30	
Facteur de sécurité de l'installation	γ_2	[-]	1,0								
Rupture acier											
Résistance caractéristique de l'acier	$N_{Rk,s}$	[kN]	$A_s \cdot f_{uk}$								
Facteur partiel de sécurité de niveau 5.8	$\gamma_{Ms,N^{1)}$	[-]	1,5								
Facteur partiel de sécurité de niveau 8.8	$\gamma_{Ms,N^{1)}$	[-]	1,5								
Facteur partiel de sécurité HIT-V-R	$\gamma_{Ms,N^{1)}$	[-]	1,86						2,86		
Facteur partiel de sécurité HIT-V-HCR	$\gamma_{Ms,N^{1)}$	[-]	1,5				2,1				
Rupture combinée par arrachement et par cône de béton											
Résistance d'adhérence caractéristique dans le béton non fissuré C20/25											
Plage de températures I : / 24 °C	40 °C	$\tau_{Rk,ucr}$	[N/mm ²]								
			18								
Plage de températures II : / 50 °C	80 °C	$\tau_{Rk,ucr}$	[N/mm ²]								
			15								
Plage de températures III :	120 °C / 72 °C	$\tau_{Rk,ucr}$	[N/mm ²]								
			13								
Résistance d'adhérence caractéristique dans le béton fissuré C20/25											
Plage de températures I : / 24 °C	40 °C	$\tau_{Rk,cr}$	[N/mm ²]		7,5	8,5		9,0			
Plage de températures II : / 50 °C	80 °C	$\tau_{Rk,cr}$	[N/mm ²]		6,0	7,0		7,5			
Plage de températures III :	120 °C / 72 °C	$\tau_{Rk,cr}$	[N/mm ²]		5,5	6,0		6,5			
Facteurs d'augmentation de τ_{Rk} dans le béton	ψ_c	C30/37		1,04							
		C40/45		1,07							
		C50/60		1,1							
Fissuration											
Distance au bord $C_{cr,sp}$ [mm] pour	$h / h_{ef} \geq 2,0$		$1,0 \cdot h_{ef}$								
	$2,0 > h / h_{ef} > 1,3$		$4,6 h_{ef} - 1,8 h$								
	$h / h_{ef} \leq 1,3$		$2,26 h_{ef}$								
Entraxe	$S_{cr,sp}$	[mm]	$2 C_{cr,sp}$								

1) En l'absence de réglementations nationales.

Système à injection Hilti HIT-HY 200-A

Performances

Résistance caractéristique sous efforts de traction dans le béton
Conception selon le « Rapport technique EOTA TR 029, édition Septembre 2010 »

Annexe C1

Tableau C2 : Valeurs caractéristiques de résistance pour les tiges filetées, HIT-V-... et AM 8.8 sous charges de cisaillement

HIT-HY 200-A avec tige filetée, HIT-V-..., AM 8.8		M8	M10	M12	M16	M20	M24	M27	M30	
Rupture acier sans bras de levier										
Résistance caractéristique de l'acier	$V_{Rk,s}$	[kN]	$0,5 \cdot A_s \cdot f_{uk}$							
Facteur partiel de sécurité de niveau 5.8	$\gamma_{Ms,V}^{1)}$	[-]	1,25							
Facteur partiel de sécurité de niveau 8.8	$\gamma_{Ms,V}^{1)}$	[-]	1,25							
Facteur partiel de sécurité HIT-V-R	$\gamma_{Ms,V}^{1)}$	[-]	1,56					2,38		
Facteur partiel de sécurité HIT-V-HCR	$\gamma_{Ms,V}^{1)}$	[-]	1,25				1,75			
Rupture acier avec bras de levier										
Moment de flexion caractéristique	$M^0_{Rk,s}$	[Nm]	$1,2 \cdot W_{el} \cdot f_{uk}$							
Rupture béton par effet de levier										
Facteur de l'équation (5.7) du Rapport Technique TR 029 pour la conception des chevilles à scellement	k	[-]	2,0							
Rupture de l'arête en béton										
La valeur de h_{ef} pour le calcul dans les équations (5.8a) et (5.8b) du Rapport Technique TR 029 est limitée par :			$\min (h_{ef} ; 12 \cdot d_{nom})$							
Diamètre extérieur de l'ancrage	d_{nom}	[mm]	8	10	12	16	20	24	27	30

¹⁾ En l'absence de réglementations nationales.

Système à injection Hilti HIT-HY 200-A

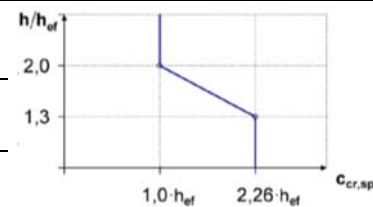
Performances

Valeurs caractéristiques de résistance sous charges de cisaillement dans le béton
Conception selon le « Rapport technique EOTA TR 029, édition Septembre 2010 »

Annexe C2

Tableau C3 : Valeurs caractéristiques de résistance de la douille à filetage intérieur HIS-(R)N sous charges de traction dans le béton

Hilti HIT-HY 200-A avec HIS-(R)N		M8	M10	M12	M16	M20
Facteur de sécurité de l'installation	γ_2 [-]	1,0				
Rupture de l'acier des tiges filetées						
Résistance caractéristique HIS-N avec vis de classe 8.8	$N_{Rk,s}$ [kN]	25	46	67	125	116
Facteur partiel de sécurité	$\gamma_{Ms,N}^{1)}$ [-]	1,50				
Résistance caractéristique HIS-RN avec vis de classe 70	$N_{Rk,s}$ [kN]	26	41	59	110	166
Facteur partiel de sécurité	$\gamma_{Ms,N}^{1)}$ [-]	1,87				2,4
Rupture combinée par arrachement et par cône de béton						
Profondeur effective d'ancrage	h_{ef} [mm]	90	110	125	170	205
Diamètre effectif de la cheville	d_1 [mm]	12,5	16,5	20,5	25,4	27,6
Résistance d'adhérence caractéristique dans le béton non fissuré C20/25						
Plage de températures I : / 24 °C	40 °C $\tau_{Rk,ucr}$ [N/mm ²]	13				
Plage de températures II : / 50 °C	80 °C $\tau_{Rk,ucr}$ [N/mm ²]	11				
Plage de températures III : 120 °C/72 °C	$\tau_{Rk,ucr}$ [N/mm ²]	9,5				
Résistance d'adhérence caractéristique dans le béton fissuré C20/25						
Plage de températures I : / 24 °C	40 °C $\tau_{Rk,cr}$ [N/mm ²]	7				
Plage de températures II : / 50 °C	80 °C $\tau_{Rk,cr}$ [N/mm ²]	5,5				
Plage de températures III : 120 °C/72 °C	$\tau_{Rk,cr}$ [N/mm ²]	5				
Facteur d'augmentation de τ_{Rk} dans le béton	ψ_c	C30/37		1,04		
		C40/45		1,07		
		C50/60		1,1		
Fissuration pertinente pour le béton non fissuré						
Distance au bord $C_{cr,sp}$ [mm] pour	$h / h_{ef} \geq 2,0$	$1,0 \cdot h_{ef}$				
	$2,0 > h / h_{ef} > 1,3$	$4,6 h_{ef} - 1,8 h$				
	$h / h_{ef} \leq 1,3$	$2,26 \cdot h_{ef}$				
Entraxe	$S_{cr,sp}$ [mm]	$2 \cdot C_{cr,sp}$				



¹⁾ En l'absence de réglementations nationales.

Système à injection Hilti HIT-HY 200-A

Performances

Résistance caractéristique sous efforts de traction dans le béton
Conception selon le « Rapport technique EOTA TR 029, édition Septembre 2010 »

Annexe C3

Tableau C4 : Valeurs caractéristiques de résistance de la douille à filetage intérieur HIS-(R)N sous charges de cisaillement dans le béton

Hilti HIT-HY 200-A avec HIS-(R)N		M8	M10	M12	M16	M20
Rupture acier sans bras de levier						
Résistance caractéristique HIS-N avec vis de classe 8.8	$V_{Rk,s}$ [kN]	13	23	34	63	58
Facteur partiel de sécurité	$\gamma_{Ms,V}^{1)}$ [-]	1,25				
Résistance caractéristique HIS-RN avec vis de classe 70	$V_{Rk,s}$ [kN]	13	20	30	55	83
Facteur partiel de sécurité	$\gamma_{Ms,V}^{1)}$ [-]	1,56				2,0
Rupture acier avec bras de levier						
Résistance caractéristique HIS-N avec vis de classe 8.8	$M^{\circ}_{Rk,s}$ [Nm]	30	60	105	266	519
Facteur partiel de sécurité	$\gamma_{Ms,V}^{1)}$ [-]	1,25				
Résistance caractéristique HIS-RN avec vis de classe 70	$M^{\circ}_{Rk,s}$ [Nm]	26	52	92	233	454
Facteur partiel de sécurité	$\gamma_{Ms,V}^{1)}$ [-]	1,56				
Rupture béton par effet de levier						
Facteur de l'équation (5.7) du Rapport Technique TR 029 pour la conception des chevilles à scellement	k [-]	2,0				
Rupture de l'arête en béton						
Diamètre extérieur de l'ancrage	d_{nom} [mm]	12,5	16,5	20,5	25,4	27,6

¹⁾ En l'absence de réglementations nationales.

Système à injection Hilti HIT-HY 200-A

Performances

Valeurs caractéristiques de résistance sous charges de cisaillement dans le béton
Conception selon le « Rapport technique EOTA TR 029, édition Septembre 2010 »

Annexe C4

Tableau C5 : Valeurs caractéristiques de résistance des tiges d'ancrage Hilti HZA / HZA-R sous charges de traction dans le béton

Hilti HIT-HY 200-A avec HZA, HZA-R			M12	M16	M20	M24	M27
Facteur de sécurité de l'installation	γ_2	h	1,0				
Rupture acier							
Résistance caractéristique HZA	$N_{Rk,s}$	[kN]	46	86	135	194	253
Résistance caractéristique HZA-R	$N_{Rk,s}$	[kN]	62	111	173	248	-
Facteur partiel de sécurité	$\gamma_{Ms}^{1)}$	h	1,4				
Rupture combinée par extraction-glisement et par cône de béton							
Diamètre des barres d'armature	d	[mm]	12	16	20	25	28
Résistance d'adhérence caractéristique dans le béton non fissuré C20/25							
Plage de températures I : 40 °C / 24 °C	$\tau_{Rk,ucr}$	[N/mm ²]	12				
Plage de températures II : 80 °C / 50 °C	$\tau_{Rk,ucr}$	[N/mm ²]	10				
Plage de températures III : 120 °C / 72 °C	$\tau_{Rk,ucr}$	[N/mm ²]	8,5				
Résistance d'adhérence caractéristique dans le béton fissuré C20/25							
Plage de températures I : 40 °C / 24 °C	$\tau_{Rk,cr}$	[N/mm ²]	7				
Plage de températures II : 80 °C / 50 °C	$\tau_{Rk,cr}$	[N/mm ²]	5,5				
Plage de températures III : 120 °C / 72 °C	$\tau_{Rk,cr}$	[N/mm ²]	5				
Facteur d'augmentation de τ_{Rk} dans le béton	ψ_c	C30/37	1,04				
		C40/45	1,07				
		C50/60	1,1				
Profondeur effective d'ancrage pour le calcul de $N_{Rk,p}$ selon éq. 5.2a (TR 029, 5.2.2.3 Rupture combinée par extraction-glisement et par cône)	HZA	h_{ef}	[mm]	$h_{nom} - 20$			
	HZA-R	h_{ef}	[mm]	$h_{nom} - 100$			-
Rupture du cône en béton							
Profondeur effective d'ancrage pour le calcul de $N_{Rk,c}$ selon éq. 5.3a (TR 029, 5.2.2.4 Rupture du cône de béton)	HZA HZA-R	h_{ef}	[mm]	h_{nom}			
Fissuration pertinente pour le béton non fissuré							
Distance au bord $C_{cr,sp}$ [mm] pour	$h / h_{ef} \geq 2,0$		$1,0 \cdot h_{ef}$				
	$2,0 > h / h_{ef} > 1,3$		$4,6 \cdot h_{ef} - 1,8 \cdot h$				
	$h / h_{ef} \leq 1,3$		$2,26 \cdot h_{ef}$				
Entraxe	$S_{cr,sp}$	[mm]	$2 \cdot C_{cr,sp}$				

1) En l'absence de réglementations nationales

Système à injection Hilti HIT-HY 200-A

Performances

Résistance caractéristique sous efforts de traction dans le béton
Conception selon le « Rapport technique EOTA TR 029, édition Septembre 2010 »

Annexe C5

Tableau C6 : Valeurs caractéristiques de résistance des tiges d'ancrage Hilti HZA, HZA-R sous charges de cisaillement dans le béton

Hilti HIT-HY 200-A avec HZA, HZA-R			M12	M16	M20	M24	M27
Rupture acier sans bras de levier							
Résistance caractéristique HZA	$V_{Rk,s}$	[kN]	23	43	67	97	126
Résistance caractéristique HZA-R	$V_{Rk,s}$	[kN]	31	55	86	124	-
Facteur partiel de sécurité	$\gamma_{Ms}^{1)}$	[-]	1,5				
Rupture acier avec bras de levier							
Résistance caractéristique HZA	$M^0_{Rk,s}$	[Nm]	72	183	357	617	915
Résistance caractéristique HZA-R	$M^0_{Rk,s}$	[Nm]	97	234	457	790	-
Facteur partiel de sécurité	$\gamma_{Ms}^{1)}$	[-]	1,5				
Rupture béton par effet de levier							
Facteur de l'équation (5.7) du Rapport Technique TR 029 pour la conception des chevilles à scellement	k	[-]	2,0				
Rupture de l'arête en béton							
La valeur de h_{ef} pour le calcul dans les équations (5.8a) et (5.8b) du Rapport Technique TR 029 est limitée par :			min (h_{nom} ; $12 \cdot d_{nom}$)				
Diamètre extérieur de l'ancrage	d_{nom}	[mm]	12	16	20	24	27

¹⁾ En l'absence de réglementations nationales

Système à injection Hilti HIT-HY 200-A

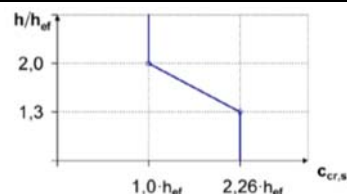
Performances

Valeurs caractéristiques de résistance sous charges de cisaillement dans le béton
Conception selon le « Rapport technique EOTA TR 029, édition Septembre 2010 »

Annexe C6

Tableau C7 : Valeurs caractéristiques de résistance des fers d'armature sous charges de traction dans le béton

HIT-HY 200-A avec fers d'armature		φ8	φ10	φ12	φ14	φ16	φ20	φ25	φ26	φ28	φ30	φ32	
Facteur de sécurité de l'installation γ_2		[-] 1,0											
Rupture acier													
Résistance caractéristique pour les fers d'armature B500B selon DIN 488:2009-08 ²⁾		$N_{Rk,s}$ [kN]	28	43	62	85	111	173	270	292	339	388	442
Facteur partiel de sécurité ³⁾		$\gamma_{Ms,N}$ ¹⁾	[-] 1,4										
Rupture combinée par arrachement et par cône de béton													
Diamètre des barres d'armature d		[mm]	8	10	12	14	16	20	25	26	28	30	32
Résistance d'adhérence caractéristique dans le béton non fissuré C20/25													
Plage de températures I : 40 °C à 24 °C		$\tau_{Rk,ucr}$ [N/mm ²]	12										
Plage de températures II : 80 °C/50 °C		$\tau_{Rk,ucr}$ [N/mm ²]	10										
Plage de températures III : 120 °C/72 °C		$\tau_{Rk,ucr}$ [N/mm ²]	8,5										
Résistance d'adhérence caractéristique dans le béton fissuré C20/25													
Plage de températures I : 40 °C à 24 °C		$\tau_{Rk,cr}$ [N/mm ²]	-	5	7								
Plage de températures II : 80 °C/50 °C		$\tau_{Rk,cr}$ [N/mm ²]	-	4	5,5								
Plage de températures III : 120 °C/72 °C		$\tau_{Rk,cr}$ [N/mm ²]	-	3,5	5								
Facteur d'augmentation de τ_{Rk} dans le béton		ψ_c	C30/37		1,04								
			C40/45		1,07								
			C50/60		1,1								
Fissuration pertinente pour le béton non fissuré													
Distance au bord $c_{Cr,sp}$ [mm]		$h / h_{ef} \geq 2,0$	$1,0 \cdot h_{ef}$										
		$2,0 > h / h_{ef} > 1,3$	$4,6 \cdot h_{ef} - 1,8 \cdot h$										
		$h / h_{ef} \leq 1,3$	$2,26 \cdot h_{ef}$										
Entraxe		$s_{Cr,sp}$ [mm]	$2 \cdot c_{Cr,sp}$										



- 1) En l'absence de réglementations nationales
 2) La résistance à la traction caractéristique $N_{Rk,s}$ pour les fers d'armature non conformes aux exigences de la norme DIN 488 doit être calculée conformément au rapport technique TR 029, équation (5.1).
 3) Le facteur partiel de sécurité $\gamma_{Ms,N}$ pour les fers d'armature non conformes aux exigences de la norme DIN 488 doit être calculé conformément au rapport technique TR 029, équation (3.3a).

Système à injection Hilti HIT-HY 200-A

Performances

Résistance caractéristique sous efforts de traction dans le béton
 Conception selon le « Rapport technique EOTA TR 029, édition Septembre 2010 »

Annexe C7

Tableau C8 : Valeurs caractéristiques de résistance pour les fers d'armature sous charges de cisaillement dans le béton

HIT-HY 200-A avec fers d'armature		φ 8	φ 10	φ 12	φ 14	φ 16	φ 20	φ 25	φ 26	φ 28	φ 30	φ 32
Rupture acier sans bras de levier												
Résistance caractéristique pour les fers d'armature B500B selon DIN 488:2009-08 ²⁾	$V_{Rk,s}$ [kN]	14	22	31	42	55	86	135	146	169	194	221
Facteur partiel de sécurité ⁴⁾	$\gamma_{Ms,V}$ ¹⁾ [-]	1,5										
Rupture acier avec bras de levier												
Résistance caractéristique pour les fers d'armature B500B selon DIN 488:2009-08 ³⁾	$M^0_{Rk,s}$ [Nm]	33	65	112	178	265	518	1012	1139	1422	1749	2123
Rupture béton par effet de levier												
Facteur de l'équation (5.7) du Rapport Technique TR 029 pour la conception des chevilles à scellement	k [-]	2,0										
Rupture de l'arête en béton												
La valeur de h_{ef} pour le calcul dans les équations (5.8a) et (5.8b) du Rapport Technique TR 029 est limitée par :		min (h_{ef} ; $12 \cdot d_{nom}$)										
Diamètre extérieur de l'ancrage	d_{nom} [mm]	8	10	12	14	16	20	25	26	28	30	32

- 1) En l'absence de réglementations nationales,
 2) La résistance caractéristique au cisaillement $V_{Rk,s}$ pour les fers d'armature non conformes aux exigences de la norme DIN 488 doit être calculée selon le rapport technique TR 029, équation (5.5).
 3) La résistance à la flexion caractéristique $M^0_{Rk,s}$ pour les fers d'armature non conformes aux exigences de la norme DIN 488 doit être calculée conformément au rapport technique TR 029, équation (5.6b).
 4) Le facteur partiel de sécurité $\gamma_{Ms,V}$ pour les fers d'armature non conformes aux exigences de la norme DIN 488 doit être calculé conformément au rapport technique TR 029, équation (3.3b) ou (3.3c),

Système à injection Hilti HIT-HY 200-A

Performances

Valeurs caractéristiques de résistance sous charges de cisaillement dans le béton
Conception selon le « Rapport technique EOTA TR 029, édition Septembre 2010 »

Annexe C8

Tableau C9 : Déplacements sous charge de traction

Hilti HIT-HY 200-A avec tige filetée, HIT-V-..., AM 8.8			M8	M10	M12	M16	M20	M24	M27	M30	
Béton non fissuré - plage de températures I : 40 °C à 24 °C											
Déplacement	δ_{N0}	[mm/(N/mm ²)]	0,02	0,03	0,03	0,04	0,06	0,07	0,07	0,08	
	$\delta_{N\infty}$	[mm/(N/mm ²)]	0,04	0,05	0,06	0,08	0,10	0,13	0,14	0,16	
Béton non fissuré - plage de températures II : 80 °C / 50 °C											
Déplacement	δ_{N0}	[mm/(N/mm ²)]	0,03	0,04	0,05	0,06	0,08	0,09	0,10	0,12	
	$\delta_{N\infty}$	[mm/(N/mm ²)]	0,04	0,05	0,06	0,09	0,11	0,13	0,15	0,16	
Béton non fissuré - plage de températures III : 120 °C / 72 °C											
	δ_{N0}	[mm/(N/mm ²)]	0,04	0,05	0,06	0,08	0,10	0,12	0,13	0,16	
Déplacement	$\delta_{N\infty}$	[mm/(N/mm ²)]	0,04	0,05	0,07	0,09	0,11	0,13	0,15	0,17	
Béton fissuré - plage de températures I : 40 °C / 24 °C											
Déplacement	δ_{N0}	[mm/(N/mm ²)]	0,07								
	$\delta_{N\infty}$	[mm/(N/mm ²)]	0,16								
Béton fissuré - plage de températures II : 80 °C / 50 °C											
Déplacement	δ_{N0}	[mm/(N/mm ²)]	0,10								
	$\delta_{N\infty}$	[mm/(N/mm ²)]	0,22								
Béton fissuré - plage de températures III : 120 °C / 72 °C											
Déplacement	δ_{N0}	[mm/(N/mm ²)]	0,13								
	$\delta_{N\infty}$	[mm/(N/mm ²)]	0,29								

Tableau C10 : Déplacements sous charges de cisaillement

Hilti HIT-HY 200-A avec tige filetée, HIT-V-...			M8	M10	M12	M16	M20	M24	M27	M30
Déplacement	δ_{V0}	[mm/kN]	0,06	0,06	0,05	0,04	0,04	0,03	0,03	0,03
	$\delta_{V\infty}$	[mm/kN]	0,09	0,08	0,08	0,06	0,06	0,05	0,05	0,05

Système à injection Hilti HIT-HY 200-A

Performances

Déplacements avec tige filetée, HIT-V-... et AM 8.8

Annexe C9

Tableau C11 : Déplacements sous charge de traction

Hilti HIT-HY 200-A avec HIS-(R)N		M8	M10	M12	M16	M20
Béton non fissuré - plage de températures I : 40 °C à 24 °C						
Déplacement	δ_{N0} [mm/(N/mm ²)]	0,03	0,05	0,06	0,07	0,08
	$\delta_{N\infty}$ [mm/(N/mm ²)]	0,06	0,09	0,11	0,13	0,14
Béton non fissuré - plage de températures II : 80 °C / 50 °C						
Déplacement	δ_{N0} [mm/(N/mm ²)]	0,05	0,06	0,08	0,10	0,11
	$\delta_{N\infty}$ [mm/(N/mm ²)]	0,07	0,09	0,11	0,13	0,15
Béton non fissuré - plage de températures III : 120 °C / 72 °C						
Déplacement	δ_{N0} [mm/(N/mm ²)]	0,06	0,08	0,10	0,13	0,14
	$\delta_{N\infty}$ [mm/(N/mm ²)]	0,07	0,09	0,11	0,14	0,15
Béton fissuré - plage de températures I : 40 °C / 24 °C						
Déplacement	δ_{N0} [mm/(N/mm ²)]					0,11
	$\delta_{N\infty}$ [mm/(N/mm ²)]					0,16
Béton fissuré - plage de températures II : 80 °C / 50 °C						
Déplacement	δ_{N0} [mm/(N/mm ²)]					0,15
	$\delta_{N\infty}$ [mm/(N/mm ²)]					0,22
Béton fissuré - plage de températures III : 120 °C / 72 °C						
Déplacement	δ_{N0} [mm/(N/mm ²)]					0,20
	$\delta_{N\infty}$ [mm/(N/mm ²)]					0,29

Tableau C12 : Déplacements sous charges de cisaillement

Hilti HIT-HY 200-A avec HIS-(R)N		M8	M10	M12	M16	M20
Déplacement	δ_{V0} [mm/kN]	0,06	0,06	0,05	0,04	0,04
	$\delta_{V\infty}$ [mm/kN]	0,09	0,08	0,08	0,06	0,06

Système à injection Hilti HIT-HY 200-A

Performances
Déplacements avec HIS-(R)N

Annexe C10

Tableau C13 : Déplacements sous charge de traction

Hilti HIT-HY 200-A avec HZA, HZA-R			M12	M16	M20	M24	M27
Béton non fissuré - plage de températures I : 40 °C à 24 °C							
Déplacement	δ_{N0}	[mm/(N/mm ²)]	0,03	0,04	0,06	0,07	0,08
	$\delta_{N\infty}$	[mm/(N/mm ²)]	0,06	0,08	0,13	0,13	0,15
Béton non fissuré - plage de températures II : 80 °C / 50 °C							
Déplacement	δ_{N0}	[mm/(N/mm ²)]	0,05	0,06	0,08	0,10	0,11
	$\delta_{N\infty}$	[mm/(N/mm ²)]	0,06	0,09	0,14	0,14	0,15
Béton non fissuré - plage de températures III : 120 °C / 72 °C							
Déplacement	δ_{N0}	[mm/(N/mm ²)]	0,06	0,08	0,10	0,12	0,14
	$\delta_{N\infty}$	[mm/(N/mm ²)]	0,07	0,09	0,14	0,14	0,16
Béton fissuré - plage de températures I : 40 °C / 24 °C							
Déplacement	δ_{N0}	[mm/(N/mm ²)]	0,11				
	$\delta_{N\infty}$	[mm/(N/mm ²)]	0,16				
Béton fissuré - plage de températures II : 80 °C / 50 °C							
Déplacement	δ_{N0}	[mm/(N/mm ²)]	0,15				
	$\delta_{N\infty}$	[mm/(N/mm ²)]	0,22				
Béton fissuré - plage de températures III : 120 °C / 72 °C							
Déplacement	δ_{N0}	[mm/(N/mm ²)]	0,20				
	$\delta_{N\infty}$	[mm/(N/mm ²)]	0,29				

Tableau C14 : Déplacements sous charges de cisaillement

Hilti HIT-HY 200-A avec HZA, HZA-R			M12	M16	M20	M24	M27
Déplacement	δ_{V0}	[mm/kN]	0,05	0,04	0,04	0,03	0,03
	$\delta_{V\infty}$	[mm/kN]	0,08	0,06	0,06	0,05	0,05

Système à injection Hilti HIT-HY 200-A

Performances
Déplacements avec HZA et HZA-R

Annexe C11

Tableau C15 : Déplacements sous charge de traction

Hilti HIT-HY 200-A avec fers d'armature		φ 8	φ 10	φ 12	φ 14	φ 16	φ 20	φ 25	φ 26	φ 28	φ 30	φ 32
Béton non fissuré - plage de températures I : 40 °C à 24 °C												
Déplacement	δ_{N0} [mm/(N/mm ²)]	0,02	0,03	0,03	0,04	0,04	0,06	0,07	0,08	0,08	0,09	0,09
	$\delta_{N\infty}$ [mm/(N/mm ²)]	0,04	0,05	0,06	0,07	0,08	0,10	0,13	0,14	0,15	0,16	0,17
Béton non fissuré - plage de températures II : 80 °C / 50 °C												
Déplacement	δ_{N0} [mm/(N/mm ²)]	0,03	0,04	0,05	0,05	0,06	0,08	0,10	0,11	0,11	0,12	0,12
	$\delta_{N\infty}$ [mm/(N/mm ²)]	0,04	0,05	0,06	0,07	0,09	0,11	0,14	0,15	0,15	0,16	0,17
Béton non fissuré - plage de températures III : 120 °C / 72 °C												
Déplacement	δ_{N0} [mm/(N/mm ²)]	0,04	0,05	0,06	0,07	0,08	0,10	0,12	0,13	0,14	0,15	0,16
	$\delta_{N\infty}$ [mm/(N/mm ²)]	0,04	0,05	0,07	0,08	0,09	0,11	0,14	0,15	0,16	0,17	0,18
Béton fissuré - plage de températures I : 40 °C / 24 °C												
Déplacement	δ_{N0} [mm/(N/mm ²)]	0,11										
	$\delta_{N\infty}$ [mm/(N/mm ²)]	0,16										
Béton fissuré - plage de températures II : 80 °C / 50 °C												
Déplacement	δ_{N0} [mm/(N/mm ²)]	0,15										
	$\delta_{N\infty}$ [mm/(N/mm ²)]	0,22										
Béton fissuré - plage de températures III : 120 °C / 72 °C												
Déplacement	δ_{N0} [mm/(N/mm ²)]	0,20										
	$\delta_{N\infty}$ [mm/(N/mm ²)]	0,29										

Tableau C16 : Déplacements sous charges de cisaillement

Hilti HIT-HY 200-A avec fers d'armature		φ 8	φ 10	φ 12	φ 14	φ 16	φ 20	φ 25	φ 26	φ 28	φ 30	φ 32
Déplacement	δ_{V0} [mm/kN]	0,06	0,05	0,05	0,04	0,04	0,04	0,03	0,03	0,03	0,03	0,03
	$\delta_{V\infty}$ [mm/kN]	0,09	0,08	0,07	0,06	0,06	0,05	0,05	0,05	0,04	0,04	0,04

Système à injection Hilti HIT-HY 200-A

Performances
Déplacements avec fers d'armature

Annexe C12

La conception sismique doit être effectuée selon le TR 045 « Conception des chevilles métalliques sous charge sismique »

Tableau C17 : Valeurs caractéristiques de résistance pour la tige filetée, HIT-V-... -..., AM 8.8 sous charges de traction pour la catégorie de performance sismique C1

HIT-HY 200-A avec tige filetée, HIT-V-..., AM 8.8		M8	M10	M12	M16	M20	M24	M27	M30
Rupture acier									
HIT-V-5.8(F), tige filetée 5.8	$N_{Rk,s,seis}$ [kN]	-	29	42	79	123	177	230	281
HIT-V-8.8(F), tige filetée 8.8	$N_{Rk,s,seis}$ [kN]	-	46	67	126	196	282	367	449
HIT-V-R, tige filetée A4-70	$N_{Rk,s,seis}$ [kN]	-	41	59	110	172	247	230	281
HIT-V-HCR, tige filetée HCR-80	$N_{Rk,s,seis}$ [kN]	-	46	67	126	196	247	321	393
Rupture combinée par arrachement et par cône de béton									
Résistance d'adhérence caractéristique dans le béton fissuré C20/25									
Plage de températures I :40 °C / 24 °C	$\tau_{Rk,seis}$ [N/mm ²]	-	5,2	7,0					
Plage de températures II :80 °C/50 °C	$\tau_{Rk,seis}$ [N/mm ²]	-	3,9	5,7					
Plage de températures III :120°C/72°C	$\tau_{Rk,seis}$ [N/mm ²]	-	3,5	4,8					

Tableau C18 : Valeurs caractéristiques de résistance pour la tige filetée, HIT-V-... et AM 8.8 sous charges de cisaillement pour la catégorie de performance sismique C1

HIT-HY 200-A avec tige filetée, HIT-V-..., AM 8.8		M8	M10	M12	M16	M20	M24	M27	M30
Rupture acier sans bras de levier									
HIT-V 5.8(F), tige filetée 5.8	$V_{Rk,s,seis}$ [kN]	-	11	15	27	43	62	81	98
HIT-V 8.8(F), tige filetée 8.8	$V_{Rk,s,seis}$ [kN]	-	16	24	44	69	99	129	157
HIT-V R, tige filetée A4-70	$V_{Rk,s,seis}$ [kN]	-	14	21	39	60	87	81	98
HIT-V HCR, tige filetée HCR-80	$V_{Rk,s,seis}$ [kN]	-	16	24	44	69	87	113	137

Tableau C19 : Déplacements sous charges de traction pour la catégorie de performance sismique C1

HIT-HY 200-A avec tige filetée, HIT-V-..., AM 8.8		M8	M10	M12	M16	M20	M24	M27	M30
Déplacement ¹⁾	$\delta_{N,seis}$ [mm]	-	0,8	0,8	0,8	0,8	0,8	0,8	0,8

¹⁾ Déplacement maximal au cours de l'événement sismique.

Tableau C20 : Déplacements sous charges de cisaillement pour la catégorie de performance sismique C1

HIT-HY 200-A avec tige filetée, HIT-V-..., AM 8.8		M8	M10	M12	M16	M20	M24	M27	M30
Déplacement ¹⁾	$\delta_{V,seis}$ [mm]	-	3,5	3,8	4,4	5,0	5,6	6,1	6,5

¹⁾ Déplacement maximal au cours de l'événement sismique.

Système à injection Hilti HIT-HY 200-A

Performances

Valeurs caractéristiques pour la catégorie de performance sismique C1 et déplacements
Conception selon le « Rapport technique EOTA TR 045, édition Février 2013 »

Annexe C13

Tableau C21 : Valeurs caractéristiques de résistance pour les tiges d'ancrage Hilti HZA, HZA-R sous charges de traction pour la catégorie de performance sismique C1

HIT-HY 200-A avec tige d'ancrage Hilti HZA, HZA-R			M12	M16	M20	M24	M27
Rupture acier							
Résistance caractéristique HZA	$N_{Rk,s,seis}$	[kN]	46	86	135	194	253
Résistance caractéristique HZA-R	$N_{Rk,s,seis}$	[kN]	62	111	173	248	-
Facteur partiel de sécurité	$\gamma_{Ms,N,seis}$ ¹⁾	[-]	1,4				
Rupture combinée par extraction-glisement et par cône de béton							
Diamètre des barres d'armature	d	[mm]	12	16	20	25	28
Résistance d'adhérence caractéristique dans le béton fissuré C20/25							
Plage de températures I : 40 °C/24 °C	$\tau_{Rk,cr}$	[N/mm ²]	6,1				
Plage de températures II : 80 °C/50 °C	$\tau_{Rk,cr}$	[N/mm ²]	4,8				
Plage de températures III : 120 °C/72 °C	$\tau_{Rk,cr}$	[N/mm ²]	4,4				

¹⁾ En l'absence de réglementations nationales.

Tableau C22 : Valeurs caractéristiques de résistance pour tiges d'ancrage Hilti HZA, HZA-R sous charges de cisaillement pour la catégorie de performance sismique C1

HIT-HY 200-A avec tige d'ancrage Hilti HZA, HZA-R			M12	M16	M20	M24	M27
Rupture acier sans bras de levier							
Résistance caractéristique HZA	$V_{Rk,s,seis}$	[kN]	16	30	47	68	88
Résistance caractéristique HZA-R	$V_{Rk,s,seis}$	[kN]	22	39	60	124	-
Facteur partiel de sécurité	$V_{Rk,s,seis}$	[-]	1,5				

¹⁾ En l'absence de réglementations nationales.

Tableau C23 : Déplacements sous charges de traction pour la catégorie de performance sismique C1

HIT-HY 200-A avec tige d'ancrage Hilti HZA, HZA-R			M12	M16	M20	M24	M27
Déplacement ¹⁾	$\delta_{N,seis}$	[mm]	1,3	1,3	1,3	1,3	1,3

¹⁾ Déplacement maximal au cours de l'événement sismique

Tableau C24 : Déplacements sous charges de cisaillement pour la catégorie de performance sismique C1

HIT-HY 200-A avec tige d'ancrage Hilti HZA, HZA-R			M12	M16	M20	M24	M27
Déplacement ¹⁾	$\delta_{V,seis}$	[mm]	3,8	4,4	5,0	5,6	6,1

¹⁾ Déplacement maximal au cours de l'événement sismique

Système à injection Hilti HIT-HY 200-A

Performances

Valeurs caractéristiques pour la catégorie de performance sismique C1 et déplacements
Conception selon le « Rapport technique EOTA TR 045, édition Février 2013 »

Annexe C14

Tableau C25 : Valeurs caractéristiques de résistance des fers d'armature sous charge de traction pour la catégorie de performance sismique C1

HIT-HY 200-A avec fers d'armature	φ 8	φ 10	φ 12	φ 14	φ 16	φ 20	φ 25	φ 26	φ 28	φ 30	φ 32	
Rupture acier												
Résistance caractéristique fers B500B selon DIN488:2009-08 ¹⁾ $N_{Rk,seis}$ [kN]	-	43	62	85	111	173	270	292	339	388	442	
Rupture combinée par arrachement et par cône de béton												
Diamètre des barres d'armature d [mm]	-	10	12	14	16	20	25	26	28	30	32	
Résistance d'adhérence caractéristique dans le béton fissuré C20/25												
Plage de températures I : 40 °C/24 °C $\tau_{Rk,cr}$ [N/mm ²]	-	4,4						6,1				
Plage de températures II : 80 °C/50 °C $\tau_{Rk,cr}$ [N/mm ²]	-	3,5						4,8				
Plage de températures III : 120 °C/72 °C $\tau_{Rk,cr}$ [N/mm ²]	-	3						4,4				

¹⁾ La résistance à la traction caractéristique $N_{Rk,s,seis}$ pour les fers d'armature non conformes aux exigences de la norme DIN 488 doit être calculée conformément au rapport technique TR 029, équation (5.1), $N_{Rk,s,seis} = N_{Rk,s}$.

Tableau C26 : Valeurs caractéristiques de résistance des fers d'armature sous charge de cisaillement pour la catégorie de performance sismique C1

HIT-HY 200-A avec fers d'armature	φ 8	φ 10	φ 12	φ 14	φ 16	φ 20	φ 25	φ 26	φ 28	φ 30	φ 32
Rupture acier sans bras de levier											
Résistance caractéristique fers B500B selon DIN488:2009-08 ¹⁾ $V_{Rk,s,seis}$ [kN]	-	15	22	29	39	60	95	102	118	135	165

¹⁾ La résistance caractéristique au cisaillement $V_{Rk,s,seis}$ pour les fers d'armature non conformes aux exigences de la norme DIN 488 doit être calculée selon le rapport technique TR 029, équation (5.5), $V_{Rk,s,seis} = 0,7 \times V_{Rk,s}$.

Tableau C27 : Déplacements sous charges de traction pour la catégorie de performance sismique C1

HIT-HY 200-A avec fers d'armature	φ 8	φ 10	φ 12	φ 14	φ 16	φ 20	φ 25	φ 26	φ 28	φ 30	φ 32
Déplacement ¹⁾ $\delta_{N,seis}$ [mm]	-	1,3	1,3	1,3	1,3	1,3	1,3	1,3	1,3	1,3	1,3

¹⁾ Déplacement maximal au cours de l'événement sismique.

Tableau C28 : Déplacements sous charges de cisaillement pour la catégorie de performance sismique C1

Hilti HIT-HY 200-A avec fers d'armature	φ 8	φ 10	φ 12	φ 14	φ 16	φ 20	φ 25	φ 26	φ 28	φ 30	φ 32
Déplacement ¹⁾ $\delta_{V,seis}$ [mm]	-	1,3	1,3	1,3	1,3	1,3	1,3	1,3	1,3	1,3	1,3

¹⁾ Déplacement maximal au cours de l'événement sismique.

Système à injection Hilti HIT-HY 200-A

Performances

Valeurs caractéristiques pour la catégorie de performance sismique C1 et déplacements
Conception selon le « Rapport technique EOTA TR 045, édition Février 2013 »

Annexe C15

Tableau C29 : Valeurs caractéristiques de résistance à la traction pour tiges filetées, HIT-V-... et AM 8.8 pour la catégorie de performance sismique C2

HIT-HY 200-A avec tige filetée, HIT-V-..., AM 8.8	M8	M10	M12	M16	M20	M24	M27 M30
Rupture acier							
HIT-V (-F) 8.8, AM (HDG) 8.8 tige filetée standard du commerce 8.8, uniquement électrozinguée	$N_{Rk,s,seis}$ [kN]		-	126	196	282	-
Rupture combinée par arrachement et rupture béton							
Résistance d'adhérence caractéristique dans le béton fissuré C20/25, dans des trous percés par perçage à percussion (TE-CD et TE-YD)							
Plage de températures I : 40 °C / 24 °C	$\tau_{Rk,seis}$ [N/mm ²]		-	3,9	4,3	3,5	-
Plage de températures II : 80 °C / 50 °C	$\tau_{Rk,seis}$ [N/mm ²]		-	3,3	3,7	2,9	-
Plage de températures III : 120 °C / 72 °C	$\tau_{Rk,seis}$ [N/mm ²]		-	2,8	3,2	2,5	-

Tableau C30 : Valeurs caractéristiques de résistance au cisaillement pour tiges filetées, HIT-V-... et AM 8.8, pour la catégorie de performance sismique C2

HIT-HY 200-A avec tige filetée, HIT-V-..., AM 8.8	M8	M10	M12	M16	M20	M24	M27 M30
Rupture acier sans bras de levier, installation avec kit de remplissage Hilti							
HIT-V 8.8, AM 8.8	$V_{Rk,s,seis}$ [kN]		-	46	77	103	-
Rupture acier sans bras de levier, installation sans kit de remplissage Hilti							
HIT-V 8.8, AM 8.8	$V_{Rk,s,seis}$ [kN]		-	40	71	90	-
HIT-V-F 8.8, AM HDG 8.8	$V_{Rk,s,seis}$ [kN]		-	30	46	66	-
Tige filetée standard du commerce 8.8 électrozinguée	$V_{Rk,s,seis}$ [kN]		-	28	50	63	-

Système à injection Hilti HIT-HY 200-A

Performances

Valeurs caractéristiques pour la catégorie de performance sismique C2
Conception selon le « Rapport technique EOTA TR 045, édition Février 2013 »

Annexe C16

Tableau C31 : Déplacements sous charges de traction pour la catégorie de performance sismique C2

HIT-HY 200-A avec tige filetée, HIT-V-..., AM 8.8	M8	M10	M12	M16	M20	M24	M27	M30
Déplacement DLS, HIT-V (-F) 8.8, AM (HDG) 8.8 $\delta_{N,seis(DLS)}$ [mm]	-			0,2	0,5	0,4	-	
Déplacement ULS, HIT-V (-F) 8.8, AM (HDG) 8.8 $\delta_{N,seis(DLS)}$ [mm]	-			0,6	0,8	1,0	-	

Tableau C32 : Déplacements sous charges de cisaillement pour la catégorie de performance sismique C2

HIT-HY 200-A avec tige filetée, HIT-V-..., AM 8.8	M8	M10	M12	M16	M20	M24	M27	M30
Installation avec kit de remplissage Hilti								
Déplacement DLS, HIT-V 8.8, AM 8.8 $\delta_{V,seis(DLS)}$ [mm]	-			1,2	1,4	1,1	-	
Déplacement ULS, HIT-V 8.8, AM 8.8 $\delta_{V,seis(DLS)}$ [mm]	-			3,2	3,8	2,6	-	
Installation sans kit de remplissage Hilti								
Déplacement DLS, HIT-V 8.8, AM 8.8 $\delta_{V,seis(DLS)}$ [mm]	-			3,2	2,5	3,5	-	
Déplacement DLS, HIT-V-F 8.8, AM HDG 8.8 $\delta_{V,seis(DLS)}$ [mm]	-			2,3	3,8	3,7	-	
Déplacement ULS, HIT-V, 8.8 AM 8.8 $\delta_{V,seis(DLS)}$ [mm]	-			9,2	7,1	10,2	-	
Déplacement ULS, HIT-V-F 8.8, AM HDG 8.8 $\delta_{V,seis(DLS)}$ [mm]	-			4,3	9,1	8,4	-	

Système à injection Hilti HIT-HY 200-A

Performances

Déplacements pour la catégorie de performance sismique C2
Conception selon le « Rapport technique EOTA TR 045, édition Février 2013 »

Annexe C17

**Organ zatwierdzający wyroby budowlane i rodzaje budowli
Bautechnisches Prüfamt (Urzędowa Jednostka Kontrolna ds.
Technologii Budowlanej)**

Instytucja prawa publicznego ustanowiona przez rząd federalny
i kraje związkowe

Określona zgodnie z artykułem 29
Rozporządzenia (UE)
Nr. 305/2011 oraz członek EOTA
(Europejskiej Organizacji ds.
Ocen Technicznych)

**Europejska
Ocena Techniczna**

**ETA-11/0493
z dnia 28 lipca 2017 r.**

Tłumaczenie z języka niemieckiego na język polski wykonane na zlecenie Hilti (Poland) Sp. z o.o.

Część ogólna

Jednostka Oceny Technicznej wydająca
Europejską Ocenę Techniczną

DIBt
Niemiecki Instytut Techniki Budowlanej

Nazwa handlowa wyrobu budowlanego

System iniekcyjny Hilti HIT-HY 200-A

Grupa wyrobów,
do której należy wyrób budowlany

Kotwy wklejane do stosowania w betonie

Producent

Hilti Spółka Akcyjna
9494 SCHAAN
KSIĘSTWO LIECHTENSTEIN

Zakład produkcyjny

Zakłady HILTI

Niniejsza Europejska Ocena Techniczna
zawiera

39 stron, w tym 3 załączniki

Niniejsza Europejska Ocena Techniczna
została wydana zgodnie z Rozporządzeniem (UE)
Nr 305/2011, na podstawie

Wytycznych dot. europejskich aprobat
technicznych „Kotwy metalowe do stosowania w
betonie” ETAG 001 Część 5 „Kotwy wklejane”,
kwiecień 2013,
zastosowanych jako Europejski Dokument Oceny
(EAD) zgodnie z artykułem 66, ustęp 3
Rozporządzenia (UE)
Nr 305/2011.

Niniejsza wersja zastępuje

ETA-11/0493 wydaną w dniu 3 lutego 2017 r.

Europejska Ocena Techniczna została wystawiona przez Jednostkę Oceny Technicznej w języku urzędowym. Tłumaczenia Europejskiej Oceny Technicznej na inne języki powinny w całości odpowiadać oryginałowi i być oznaczone jako tłumaczenia.

Niniejsza Europejska Ocena Techniczna może być powielana – także w formie elektronicznej – tylko w całości i w wersji nieskróconej. Powielanie jej fragmentów dozwolone jest wyłącznie za pisemną zgodą Jednostki Oceny Technicznej, która wystawiła dany dokument. W takim przypadku należy zaznaczyć, że kopiowane fragmenty są jedynie fragmentami dokumentu.

Jednostka Oceny Technicznej, która wydała niniejszy dokument, ma prawo do uchYLENIA niniejszej Europejskiej Oceny Technicznej, w szczególności na podstawie informacji Komisji zgodnie z artykułem 25, ustęp 3 Rozporządzenia (UE) nr 305/2011.

Część szczegółowa

1 Opis techniczny produktu

System iniekcyjny Hilti HIT-HY 200-A to kotwa wklejana, która składa się z wkładu foliowego wypełnionego żywicą iniekcyjną Hilti HIT-HY 200-A oraz elementu stalowego według załącznika A. Element stalowy umieszczany jest w wywierconym otworze wypełnionym żywicą iniekcyjną i kotwiony poprzez wiązanie chemiczne powstałe między elementem stalowym, żywicą iniekcyjną a betonem. Produkt opisany jest w załączniku A.

2 Specyfikacja zastosowania zgodnie ze stosownym Europejskim Dokumentem Oceny

Właściwości użytkowe określone w rozdziale 3 obowiązują tylko wówczas, gdy kotwa stosowana jest zgodnie ze specyfikacją i warunkami określonymi w załączniku B. Metody badań i oceny stanowiące podstawę niniejszej Europejskiej Oceny Technicznej zakładają, że okres użytkowania kotwy wynosi przynajmniej 50 lat. Podany okres użytkowania nie może być rozumiany jako gwarancja producenta, a jedynie jako dodatkowe informacje mające pomóc w wyborze produktu odpowiedniego pod kątem oczekiwanego okresu użyteczności budowli.

3 Właściwości użytkowe produktu i dane dotyczące metod użytych do ich oceny

3.1 Wytrzymałość mechaniczna i stateczność (BWR 1)

Podstawowa charakterystyka	Właściwości
Nośność charakterystyczna dla obciążeń statycznych i quasi-statycznych dla obliczania połączeń zgodnie z Raportem Technicznym TR 029, przemieszczenia	Patrz załączniki C1 do C12
Nośność charakterystyczna dla obciążeń sejsmicznych kategorii C1 do obliczania połączeń zgodnie z Raportem Technicznym TR 045, przemieszczenia	Patrz załączniki C13 do C17

3.2 Ochrona przeciwpożarowa (BWR 2)

Podstawowa charakterystyka	Właściwości
Reakcja na ogień	Kotwa spełnia wymagania dla klasy A1
Odporność ogniowa	Nie określono właściwości (niem. KLF)

3.3 Higiena, zdrowie i ochrona środowiska (BWR 3)

W odniesieniu do substancji niebezpiecznych produkty w zakresie obowiązywania Europejskiej Oceny Technicznej mogą podlegać dodatkowym wymaganiom (np. wdrożone ustawodawstwo europejskie i krajowe przepisy prawne i administracyjne). Aby spełnić postanowienia Rozporządzenia (UE) nr 305/2011, należy w danym przypadku spełnić również niniejsze wymagania.

3.4 Bezpieczeństwo użytkowania (BWR 4)

Podstawowe charakterystyki odnoszące się do bezpieczeństwa użytkowania są ujęte w ramach wymagań podstawowych „Wytrzymałość mechaniczna i stateczność”.

4 Stosowany system oceny i weryfikacji stałości właściwości użytkowych wraz z odniesieniami do podstawy prawnej

Zgodnie z Wytycznymi do Europejskich Aprobac Technicznych ETAG 001, z kwietnia 2013 r. zastosowanych jako Europejski Dokument Oceny (EDO) zgodnie z artykułem 66, ustęp 3 Rozporządzenia (UE) nr 305/2011 zastosowanie ma następujący dokument: [96/582/WE].

Zastosowanie ma system: 1

5 Szczegóły techniczne konieczne do wdrożenia systemu oceny i weryfikacji stałości właściwości użytkowych uwzględnione w odpowiednim Europejskim Dokumencie Oceny

Szczegóły techniczne konieczne do wdrożenia systemu oceny i weryfikacji stałości właściwości użytkowych stanowią część planu kontroli dostępnego w Niemieckim Instytucie Techniki Budowlanej.

Dokument wydany w Berlinie w dniu 28 lipca 2017 r. przez Niemiecki Instytut Techniki Budowlanej

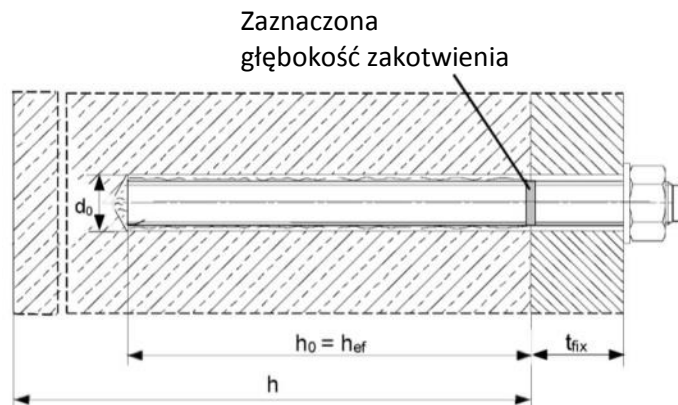
Mgr inż. Andreas Kummerow
Kierownik działu

Uwierzytelnione przez

Warunki montażu

Rysunek A1:

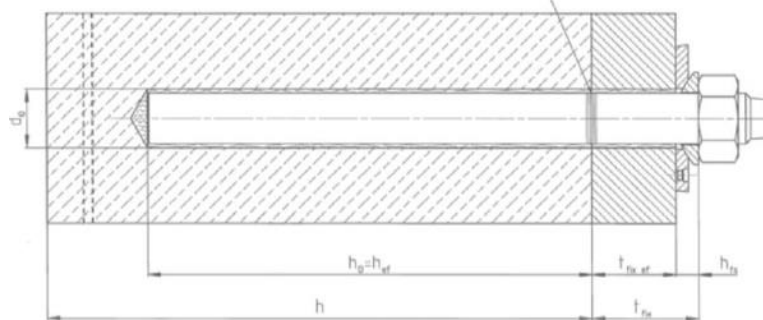
Pręt gwintowany oraz HIT-V-..., AM 8.8



Rysunek A2:

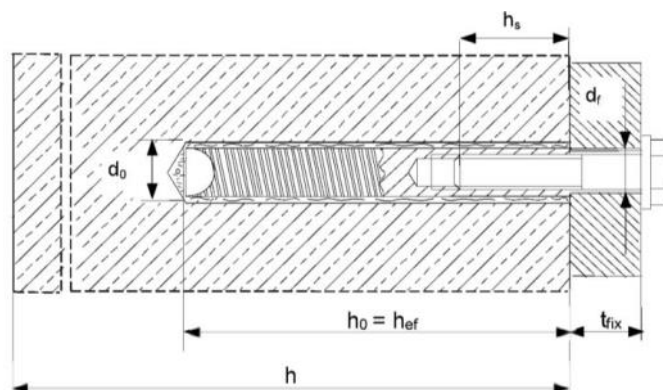
Pręt gwintowany oraz HIT-V-..., AM 8.8, z zestawem wypełniającym

Marking of the
embedment depth



Rysunek A3:

Tuleja z gwintem wewnętrznym HIS-(R)N



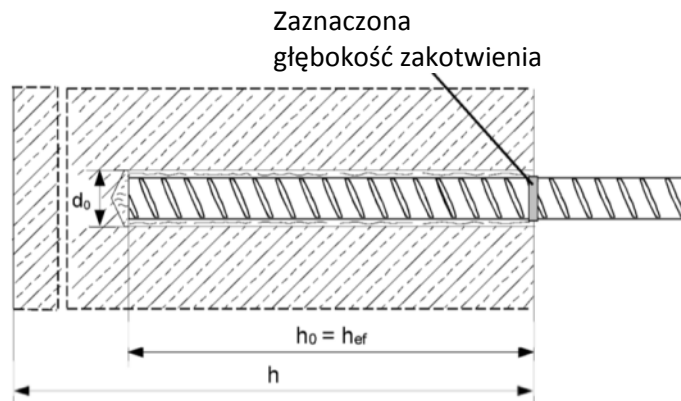
System iniekccyjny Hilti HIT-HY 200-A

Opis produktu
Warunki montażu

Załącznik A1

Warunki montażu

Rysunek A4: Pręt zbrojeniowy



System iniekcyjny Hilti HIT-HY 200-A	Załącznik A2
Opis produktu Warunki montażu	

Opis produktu: Żywica iniekcyjna oraz elementy stalowe

Żywica iniekcyjna Hilti HIT-HY 200-A: System hybrydowy z wypełnieniem
330 ml i 500 ml

Oznaczenie:
HILTI-HIT
Numer partii oraz
linii produkcyjnej
Data ważności m-c/r

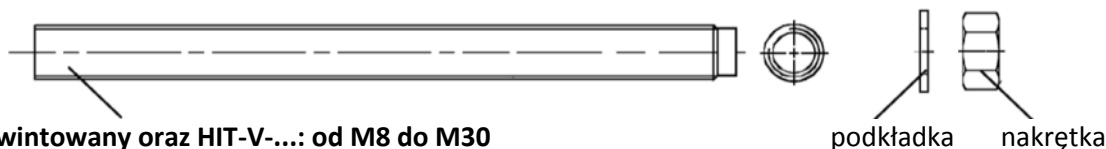


Nazwa wyrobu: "Hilti HIT-HY 200-A"

Mieszacz statyczny Hilti HIT-RE-M



Elementy stalowe



Pręt gwintowany oraz HIT-V-...: od M8 do M30



Pręt gwintowany metryczny Hilti AM 8.8, ocynkowany galwanicznie, AM HDG 8.8 ocynkowany
ogniowo od M8 do M30, od 1m do 3m

Pręt gwintowany dostępny w handlu:

- Materiały oraz właściwości mechaniczne według tabeli A1.
- Świadectwo odbioru 3.1 zgodne z EN 10204:2004. Dokumenty te należy zachować.
- Zaznaczona głębokość zakotwienia.



Tuleja z gwintem wewnętrznym: HIS-(R)N od M8 do M20



Kotwa rozciągana Hilti: HZA od M12 do M27 oraz HZA-R od M12 do M24

Opis produktu: Żywica iniekcyjna oraz elementy stalowe

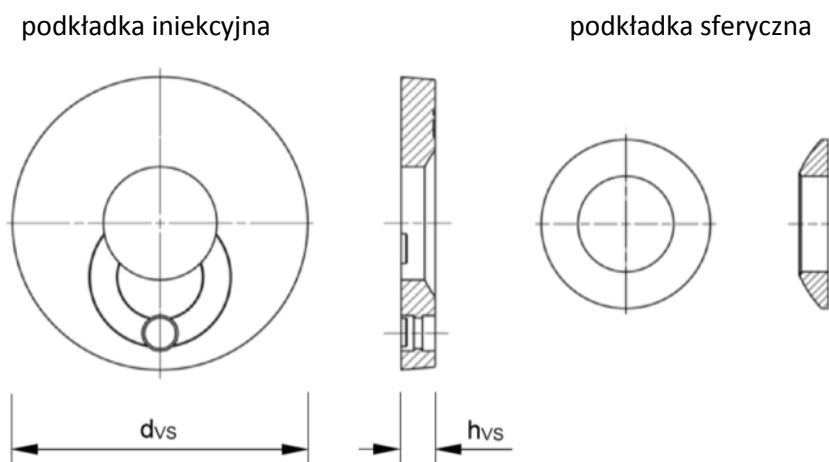
System iniekcyjny Hilti HIT-HY 200-A	Załącznik A3
Opis produktu Żywica iniekcyjna / mieszacz statyczny / elementy stalowe	



Pręt zbrojeniowy: Od Φ 8 do Φ 32

- Materiały oraz właściwości mechaniczne według tabeli A1
- Wymiary według załącznika B6

Zestaw wypełniający do wypełnienia szczeliny pierścieniowej pomiędzy kotwą a mocowanym elementem



Zestaw wypełniający		M16	M20	M24
Średnica podkładki iniekcyjnej	d_{vs} [mm]	56	60	70
Wysokość podkładki iniekcyjnej	h_{vs} [mm]	6		

System iniekcyjny Hilti HIT-HY 200-A	Załącznik A4
Opis produktu Żywica iniekcyjna / mieszacz statyczny / elementy stalowe	

Tabela A1: Materiały

Opis elementu	Materiał
Elementy stalowe wykonane ze stali zbrojeniowej do betonu	
Pręt zbrojeniowy: EN 1992-1-1: 2004 oraz AC:2010, załącznik C	Pręty proste i pręty rozwijane z kręgów, klasa B lub C f_{yk} i k zgodne z NDP lub NCL według EN 1992-1-1/NA:2013 $f_{uk} = f_{tk} = k \cdot f_{yk}$
Elementy stalowe wykonane ze stali ocynkowanej	
Pręt gwintowany, HIT-V-5.8(F)	Klasa wytrzymałości 5.8, $f_{uk} = 500 \text{ N/mm}^2$, $f_{yk} = 400 \text{ N/mm}^2$, Wydłużenie przy zerwaniu ($l_0=5d$) > 8%, ciągliwe Stal ocynkowana galwanicznie $\geq 5 \mu\text{m}$, (F) Stal ocynkowana ogniowo $\geq 45 \mu\text{m}$
Pręt gwintowany, HIT-V-8.8(F)	Klasa wytrzymałości 8.8, $f_{uk} = 800 \text{ N/mm}^2$, $f_{yk} = 640 \text{ N/mm}^2$, Wydłużenie przy zerwaniu ($l_0=5d$) > 8%, ciągliwe Stal ocynkowana galwanicznie $\geq 5 \mu\text{m}$, (F) Stal ocynkowana ogniowo $\geq 45 \mu\text{m}$
Pręt gwintowany metryczny Hilti AM 8.8 (HDG)	Klasa wytrzymałości 8.8, $f_{uk} = 800 \text{ N/mm}^2$, $f_{yk} = 640 \text{ N/mm}^2$, Wydłużenie przy zerwaniu ($l_0=5d$) > 12%, ciągliwe Stal ocynkowana galwanicznie $\geq 5 \mu\text{m}$, (HDG) Stal ocynkowana ogniowo $\geq 45 \mu\text{m}$
Kotwa rozciągana Hilti HZA	Pręt gwintowany stalowy okrągły: stal ocynkowana galwanicznie $\geq 5 \mu\text{m}$ Pręt zbrojeniowy klasy B zgodnie z NDP lub NCL według EN 1992-1-1/NA:2013
Tuleja z gwintem wewnętrznym HIS-N	Stal ocynkowana galwanicznie $\geq 5 \mu\text{m}$
Podkładka	Stal ocynkowana galwanicznie $\geq 5 \mu\text{m}$, Stal ocynkowana ogniowo $\geq 45 \mu\text{m}$
Nakrętka	Klasa wytrzymałości stali nakrętki dostosowana do klasy wytrzymałości stali pręta gwintowanego Stal ocynkowana galwanicznie $\geq 5 \mu\text{m}$, Stal ocynkowana ogniowo $\geq 45 \mu\text{m}$
Zestaw wypełniający Hilti (F)	Podkładka iniekcyjna: Stal ocynkowana galwanicznie $\geq 5 \mu\text{m}$, (F) Stal ocynkowana ogniowo $\geq 45 \mu\text{m}$ Podkładka sferyczna: Stal ocynkowana galwanicznie $\geq 5 \mu\text{m}$, (F) Stal ocynkowana ogniowo $\geq 45 \mu\text{m}$ Nakrętka zabezpieczająca: Stal ocynkowana galwanicznie $\geq 5 \mu\text{m}$, (F) Stal ocynkowana ogniowo $\geq 45 \mu\text{m}$
Elementy stalowe wykonane ze stali nierdzewnej	
Pręt gwintowany, HIT-V-R	Dla $\leq \text{M24}$: Klasa wytrzymałości 70, $f_{uk} = 700 \text{ N/mm}^2$, $f_{yk} = 450 \text{ N/mm}^2$, Dla $> \text{M24}$: Klasa wytrzymałości 50, $f_{uk} = 500 \text{ N/mm}^2$, $f_{yk} = 210 \text{ N/mm}^2$, Wydłużenie przy zerwaniu ($l_0=5d$) > 8%, ciągliwe Materiał 1.4401, 1.4404, 1.4578, 1.4571, 1.4439, 1.4362 EN 10088-1:2014
Kotwa rozciągana Hilti HZA-R	Pręt gwintowany stalowy okrągły: Materiał 1.4404, 1.4362, 1.4571 EN 10088-1:2014 Pręt zbrojeniowy klasy B zgodnie z NDP lub NCL według EN 1992-1-1/NA:2013
Tuleja z gwintem wewnętrznym HIS-RN	Materiał 1.4401, 1.4571 EN 10088-1:2014
Podkładka	Materiał 1.4401, 1.4404, 1.4578, 1.4571, 1.4439, 1.4362 EN 10088-1:2014
Nakrętka	Klasa wytrzymałości stali nakrętki dostosowana do klasy wytrzymałości stali pręta gwintowanego Materiał 1.4401, 1.4404, 1.4578, 1.4571, 1.4439, 1.4362 EN 10088-1:2014

System iniekcyjny Hilti HIT-HY 200-A	Załącznik A5
Opis produktu Materiały	

Elementy stalowe ze stali o wysokiej odporności na korozję	
Pręt gwintowany HIT-V-HCR	Dla \leq M20: $f_{uk} = 800$ N/mm ² , $f_{yk} = 640$ N/mm ² , Dla $>$ M20: $f_{uk} = 700$ N/mm ² , $f_{yk} = 400$ N/mm ² , Wydłużenie przy zerwaniu ($l_0=5d$) $>$ 8%, ciągliwe Materiał 1.4529, 1.4565 EN 10088-1:2014
Podkładka	Materiał 1.4529, 1.4565 EN 10088-1:2014
Nakrętka	Klasa wytrzymałości stali nakrętki dostosowana do klasy wytrzymałości stali pręta gwintowanego Materiał 1.4529, 1.4565 EN 10088-1:2014

System iniekcyjny Hilti HIT-HY 200-A	Załącznik A6
Opis produktu Materiały	

Dane dotyczące zastosowania

Mocowania poddawane są następującym obciążeniom:

- Obciążenia statyczne i quasi-statyczne
- Obciążenia sejsmiczne kategorii C1 i C2 (tabela B1)

Materiał podłoża:

- Zbrojony lub niezbrojony beton zwykły według EN 206-1:2000.
- Klasa wytrzymałości betonu od C20/25 do C50/60 według EN 206-1:2000.
- Beton spękany i niespękany.

Temperatura podłoża:

- **podczas montażu**
od -10°C do +40°C

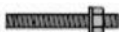
- **w trakcie eksploatacji**

Zakres temperatur I: od -40°C do +40°C
(maks. dopuszczalna temperatura przy oddziaływaniu długotrwałym +24°C oraz maks. dopuszczalna temperatura przy oddziaływaniu krótkotrwałym +40°C)

Zakres temperatur II: od -40°C do +80°C
(maks. dopuszczalna temperatura przy oddziaływaniu długotrwałym +50°C oraz maks. dopuszczalna temperatura przy oddziaływaniu krótkotrwałym +80°C)

Zakres temperatur III: od -40°C do +120°C
(maks. dopuszczalna temperatura przy oddziaływaniu długotrwałym +72°C oraz maks. dopuszczalna temperatura przy oddziaływaniu krótkotrwałym +120°C)

Tabela B1: Dane dotyczące zastosowania

Mocowania poddawane są następującym obciążeniom:	HIT-HY 200-A z...			
	HIT-V ... AM 8.8 	Pręt zbrojeniowy: 	HZA(-R) 	HIS(-R)N 
Elementy				
Wiercenie udarowe przy użyciu wiertła rurowego TE-CD lub TE-YD 	✓	✓	✓	✓
Wiercenie udarowe 	✓	✓	✓	✓
Obciążenia statyczne i quasi-statyczne w betonie spękany i niespękany	Od M8 do M30	Od Φ 8 do Φ 32	Od M12 do M27	Od M8 do M20
Obciążenia sejsmiczne kategorii C1	Od M10 do M30	Od Φ 10 do Φ 32	Od M12 do M27	-
Obciążenia sejsmiczne kategorii C2	Od M16 do M24, HIT-V 8.8, AM 8.8 HIT-V-F 8.8, AM HDG 8.8 Pręt gwintowany dostępny w handlu 8.8 (tylko ocynkowany galwanicznie)	-	-	-

System iniekcyjny Hilti HIT-HY 200-A	Załącznik B1
Dane dotyczące zastosowania Specyfikacje	

Warunki użytkowania (warunki miejscowe):

- Konstrukcje poddawane warunkom typowym dla suchych pomieszczeń (stal ocynkowana, stal nierdzewna lub stal o podwyższonej odporności na korozję)
- Konstrukcje znajdujące się na zewnątrz (łącznie ze środowiskiem przemysłowym i atmosferą nadmorską) oraz w pomieszczeniach mokrych, pod warunkiem, że nie występują warunki szczególnie agresywne (stal nierdzewna lub stal o podwyższonej odporności na korozję).
- Konstrukcje znajdujące się na zewnątrz oraz w pomieszczeniach mokrych, pod warunkiem, że występują warunki szczególnie agresywne (stal o podwyższonej odporności na korozję).
Dodatkowe uwagi: warunkami agresywnymi są np. stałe lub przerywane zanurzenie w wodzie morskiej lub strefa rozbryzgów wody morskiej, środowisko krytych pływalni o wysokiej zawartości chloru bądź środowiska w znacznym stopniu zanieczyszczone chemicznie (np. instalacje odsiarczania spalin lub tunele drogowe, w których stosuje się preparaty do odladzania).

Projektowanie:

- Mocowania muszą być zaprojektowane przez inżyniera mającego doświadczenie w zakresie zakotwień i budownictwa betonowego.
- Należy wykonać możliwe do sprawdzenia obliczenia i sporządzić rysunki techniczne, przy czym należy uwzględnić obciążenia przenoszone przez kotwy. Na rysunkach technicznych należy zaznaczyć położenie kotwy (np. pozycja kotwy względem zbrojenia lub podpór itd.).
- Zakotwienia należy zaprojektować zgodnie z:
"EOTA Technical Report TR 029, wersja z września 2010"
- Mocowania poddawane obciążeniom sejsmicznym (beton spękany) muszą być zaprojektowane zgodnie z:
"EOTA Technical Report TR 045, wersja z lutego 2013"
Zakotwienia należy umieścić poza obszarami krytycznymi konstrukcji betonowej (np. elastycznymi przegubami). Mocowania poddawane obciążeniom sejsmicznym, które wykonane są w oparciu o montaż dystansowy lub na podłożu z zaprawy, nie są objęte niniejszą Europejską Oceną Techniczną (EOT).

Montaż:

- Kategoria użytkowania: suchy lub wilgotny beton (nie montować w otworach wypełnionych wodą)
- Dopuszcza się montaż w pozycji nad głową
- Montaż przeprowadzany jest przez odpowiednio przeszkolony personel pod nadzorem kierownika budowy.

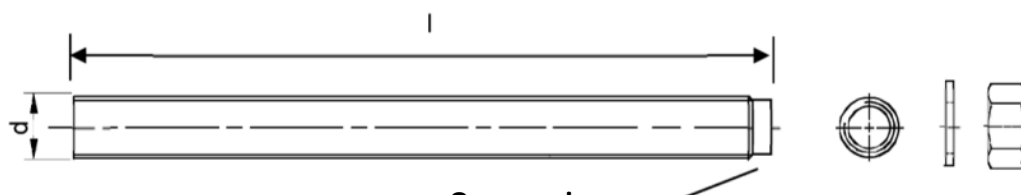
System iniekcyjny Hilti HIT-HY 200-A	Załącznik B2
Dane dotyczące zastosowania Specyfikacje	

Tabela B2: Parametry montażowe prętów gwintowanych oraz HIT-V-..., AM 8.8

Pręt gwintowany oraz HIT-V-...		M8	M10	M12	M16	M20	M24	M27	M30
Średnica elementu d	[mm]	8	10	12	16	20	24	27	30
Znamionowa średnica wiertła d ₀	[mm]	10	12	14	18	22	28	30	35
Czynna głębokość zakotwienia oraz głębokość wierconego otworu h _{ef} =h ₀	[mm]	od 60 do 160	od 60 do 200	od 70 do 240	od 80 do 320	od 90 do 400	od 96 do 480	od 108 do 540	od 120 do 600
Maksymalna średnica otworu przelotowego w mocowanym elemencie ¹⁾ d _f	[mm]	9	12	14	18	22	26	30	33
Łączna wysokość zestawu wypełniającego Hilti h _{fs}	[mm]	-	-	-	11	13	15	-	-
Czynna grubość mocowanego elementu z zestawem wypełniającym Hilti t _{fix,eff}	[mm]	$t_{fix,eff} = t_{fix} - h_{fs}$							
Minimalna grubość elementu konstrukcyjnego h _{min}	[mm]	$h_{ef} + 30$ ≥ 100 mm			$h_{ef} + 2 \cdot d_0$				
Maksymalny moment dokręcający T _{max}	[Nm]	10	20	40	80	150	200	270	300
Minimalny rozstaw kotew S _{min}	[mm]	40	50	60	75	90	115	120	140
Minimalna odległość kotew od krawędzi podłoża C _{min}	[mm]	40	45	45	50	55	60	75	80

¹⁾ w przypadku większych otworów przelotowych patrz "TR 029, rozdział 1.1"

HIT-V-...



Oznaczenie:

5.8 - l = HIT-V-5.8 M...x l
 5.8F - l = HIT-V-5.8F M...x l
 8.8 - l = HIT-V-8.8 M...x l
 8.8F - l = HIT-V-8.8F M...x l
 R - l = HIT-V-R M...x l
 HCR - l = HIT-V-HCR M...x l



Pręt gwintowany metryczny Hilti AM 8.8, ocynkowany galwanicznie, od M8 do M30, od 1 m do 3 m

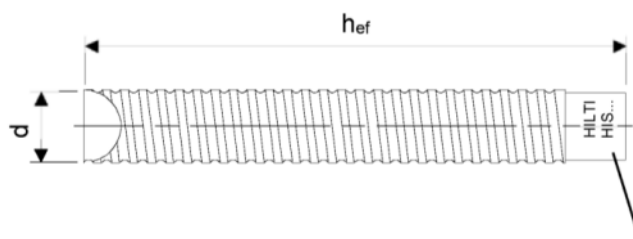
System iniekcyjny Hilti HIT-HY 200-A	Załącznik B3
Dane dotyczące zastosowania Parametry montażowe prętów gwintowanych oraz HIT-V-... i AM 8.8	

Tabela B3: Parametry montażowe tulei z gwintem wewnętrznym HIS-(R)N

Tuleja z gwintem wewnętrznym HIS-(R)N ...			M8	M10	M12	M16	M20
Średnica zewnętrzna tulei	d	[mm]	12,5	16,5	20,5	25,4	27,6
Znamionowa średnica wiertła	d ₀	[mm]	14	18	22	28	32
Czynna głębokość zakotwienia oraz głębokość wierconego otworu	h _{ef} = h ₀	[mm]	90	110	125	170	205
Maksymalna średnica otworu przelotowego w mocowanym elemencie ¹⁾	d _f	[mm]	9	12	14	18	22
Minimalna grubość elementu konstrukcyjnego	h _{min}	[mm]	120	150	170	230	270
Maksymalny moment dokręcający	T _{max}	[Nm]	10	20	40	80	150
Długość wkręcania minimalna-maksymalna	h _s	[mm]	8-20	10-25	12-30	16-40	20-50
Minimalny rozstaw kotew	S _{min}	[mm]	60	75	90	115	130
Minimalna odległość kotew od krawędzi podłoża	C _{min}	[mm]	40	45	55	65	90

¹⁾ w przypadku większych otworów przelotowych patrz "TR 029, rozdział 1.1"

Tuleja z gwintem wewnętrznym HIS-(R)N ...



Oznaczenie:

Symbol identyfikacyjny - HILTI oraz wytłoczenie "HIS-N" (w przypadku stali węglowej)
wytłoczenie „HIS-RN” (w przypadku stali nierdzewnej)

System iniekcyjny Hilti HIT-HY 200-A	Załącznik B4
Dane dotyczące zastosowania Parametry montażowe tulei z gwintem wewnętrznym HIS-(R)N	

Tabela B4: Parametry montażowe kotwy rozciąganej Hilti HZA-R

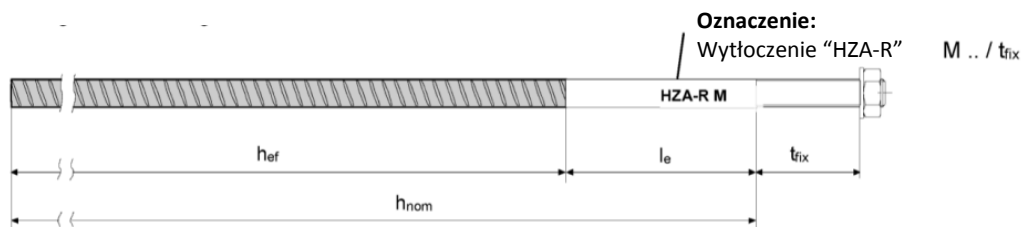
Kotwa rozciągana Hilti HZA-R ...			M12	M16	M20	M24
Średnica pręta zbrojeniowego	Φ	[mm]	12	16	20	25
Znamionowa głębokość zakotwienia oraz głębokość wierconego otworu	$h_{nom} = h_o$	[mm]	od 170 do 240	od 180 do 320	od 190 do 400	od 200 do 500
Czynna długość zakotwienia ($h_{ef} = h_{nom} - l_e$)	h_{ef}	[mm]	$h_{nom} - 100$			
Długość gładkiego odcinka kotwy	l_e	[mm]	100			
Znamionowa średnica wiertła	d_o	[mm]	16	20	25	32
Maksymalna średnica otworu przelotowego w mocowanym elemencie ¹⁾	d_f	[mm]	14	18	22	26
Maksymalny moment dokręcający	T_{max}	[Nm]	40	80	150	200
Minimalna grubość elementu konstrukcyjnego	h_{min}	[mm]	$h_{nom} + 2 \cdot d_o$			
Minimalny rozstaw kotew	S_{min}	[mm]	65	80	100	130
Minimalna odległość kotew od krawędzi podłoża	C_{min}	[mm]	45	50	55	60

¹⁾ w przypadku większych otworów przelotowych patrz "TR 029, rozdział 1.1"

Tabela B5: Parametry montażowe kotwy rozciąganej Hilti HZA

Kotwa rozciągana Hilti HZA...			M12	M16	M20	M24	M27
Średnica pręta zbrojeniowego	Φ	[mm]	12	16	20	25	28
Znamionowa głębokość zakotwienia oraz głębokość wierconego otworu	$h_{nom} = h_o$	[mm]	od 90 do 240	od 100 do 320	od 110 do 400	od 120 do 500	od 140 do 560
Czynna długość zakotwienia ($h_{ef} = h_{nom} - l_e$)	h_{ef}	[mm]	$h_{nom} - 20$				
Długość gładkiego odcinka kotwy	l_e	[mm]	20				
Znamionowa średnica wiertła	d_o	[mm]	16	20	25	32	35
Maksymalna średnica otworu przelotowego w mocowanym elemencie ¹⁾	d_f	[mm]	14	18	22	26	30
Maksymalny moment dokręcający	T_{max}	[Nm]	40	80	150	200	270
Minimalna grubość elementu konstrukcyjnego	h_{min}	[mm]	$h_{nom} + 2 \cdot d_o$				
Minimalny rozstaw kotew	S_{min}	[mm]	65	80	100	130	140
Minimalna odległość kotew od krawędzi podłoża	C_{min}	[mm]	45	50	55	60	75

¹⁾ w przypadku większych otworów przelotowych patrz "TR 029, rozdział 1.1"



System iniekcyjny Hilti HIT-HY 200-A	Załącznik B5
Dane dotyczące zastosowania	
Parametry montażowe kotwy rozciąganej Hilti HZA-(R)	

Tabela B6: Parametry montażowe prętów zbrojeniowych

Pręt zbrojeniowy			8	Φ 10	Φ 12	Φ 14	Φ 16	Φ 20	Φ 25	Φ 26	Φ 28	Φ 30	Φ 32	
Średnica	[mm]		8	10	12	14	16	20	25	26	28	30	32	
Czynna	$h_{ef} = h_0$	[mm]	od 60 do 160	od 60 do 200	od 70 do 240	od 75 do 280	od 80 do 320	od 90 do 400	od 100 do 500	od 104 do 520	od 112 do 560	od 120 do 600	od 128 do 640	
głębokość zakotwienia oraz														
głębokość wierconego otworu														
Znamionowa średnica wiertła	d_0	[mm]	10/ 12 ¹⁾	12/ 14 ¹⁾	14 ¹⁾	16 ¹⁾	18	20	25	32	32	35	37	40
Minimalna grubość elementu konstrukcyjnego	h_{min}	[mm]	$h_{ef} + 30$ ≥ 100 mm				$h_{ef} + 2d_0$							
Minimalny rozstaw kotew	S_{min}	[mm]	40	50	60	70	80	100	125	130	140	150	160	
Minimalna odległość kotew od krawędzi podłoża	C_{min}	[mm]	40	45	45	50	50	65	70	75	75	80	80	

¹⁾ Dopuszczalne jest zastosowanie obu wartości znamionowych średnicy wiertła.

Pręt zbrojeniowy



Dla pręta zbrojeniowego

- Minimalne wartości danej powierzchni żebrowanej $f_{R, min}$ według EN 1992-1-1:2004+AC:2010
- Wysokość uźebrowania pręta zbrojeniowego hrib musi spełniać następujące wymaganie: $0,05 \Phi h_{rib} \leq 0,07 = \Phi$ (Φ znamionowa średnica pręta zbrojeniowego; hrib: wysokość uźebrowania)

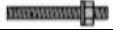
System iniekcyjny Hilti HIT-HY 200-A	Załącznik B6
Dane dotyczące zastosowania Parametry montażowe prętów zbrojeniowych	

Tabela B7: Maksymalny czas obróbki oraz minimalny czas utwardzania

Temperatura podłoża T	Maksymalny czas obróbki t_{work}	Minimalny czas utwardzania t_{cure}
od -10 °C do -5 °C	1,5 h	7 h
> -5 °C do 0 °C	50 min	4 h
> 0 °C do 5 °C	25 min	2 h
> 5 °C do 10 °C	15 min	75 min
> 10 °C do 20 °C	7 min	45 min
> 20 °C do 30 °C	4 min	30 min
> 30 °C do 40 °C	3 min	30 min

System iniekcyjny Hilti HIT-HY 200-A	Załącznik B7
Dane dotyczące zastosowania Maksymalny czas obróbki oraz minimalny czas utwardzania	

Tabela B8: Dane dotyczące narzędzi do czyszczenia i osadzania

Element mocujący				Wiercenie i czyszczenie			Montaż
HIT-V-... AM 8.8	HIS-(R)N	Pręt zbrojeniowy:	HZA(-R)	Wiercenie udarowe		Szczotka	Końcówka iniekcyjna
							
Rozmiar	Rozmiar	Rozmiar	Rozmiar	d ₀ [mm]	d ₀ [mm]	HIT-RB	HIT-SZ
M8	-	Φ 8	-	10	-	10	-
M10	-	Φ 8 / Φ 10	-	12	12 ¹⁾	12	12
M12	M8	Φ 10 / Φ 12	-	14	14 ¹⁾	14	14
-	-	Φ 12	M12	16	16	16	16
M16	M10	Φ 14	-	18	18	18	18
-	-	Φ 16	M16	20	20	20	20
M20	M12	-	-	22	22	22	22
-	-	Φ 20	M20	25	25	25	25
M24	M16	-	-	28	28	28	28
M27	-	-	-	30	-	30	30
-	M20	Φ 25 / Φ 26	M24	32	32	32	32
M30	-	Φ 28	M27	35	35	35	35
-	-	Φ 30	-	37	-	37	37
-	-	Φ 32	-	40	-	40	40

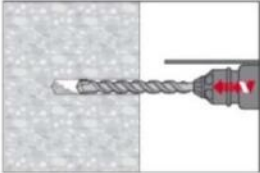
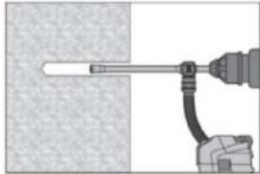
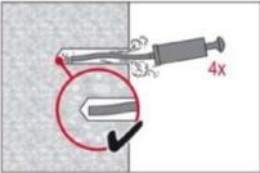
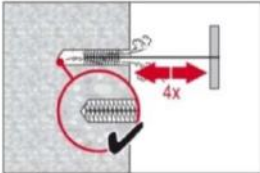
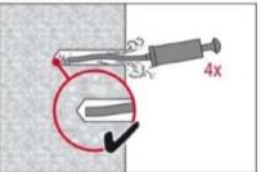
¹⁾ Tylko w połączeniu z odkurzaczem Hilti o pojemności zasysania ≥ 61 l/s (tzn. VC 20/40 -Y, wyłącznie zasilanie sieciowe (230V))

Metody czyszczenia wierconych otworów

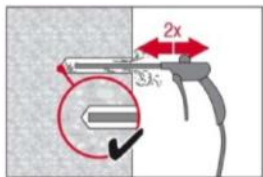
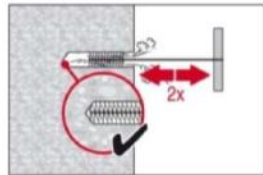
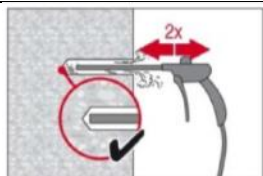
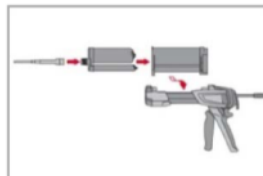
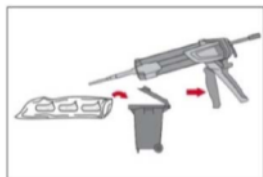
<p>Czyszczenie ręczne (MC): Do przedmuchiwania wierconych otworów o maks. średnicy $d_0 \leq 20$ mm i głębokości otworów $h_0 \leq 10$ d zaleca się stosowanie ręcznej pompki Hilti.</p>	
<p>Czyszczenie za pomocą sprężonego powietrza (CAC): Do czyszczenia otworów przy użyciu sprężonego powietrza zaleca się użycie dyszy o min. średnicy 3,5 mm.</p>	
<p>Czyszczenie automatyczne (AC): Otwory czyszczone są podczas wiercenia za pomocą systemu Hilti TE-CD i TE-YD wyposażonego w odkurzacz.</p>	

System iniekcyjny Hilti HIT-HY 200-A	Załącznik B8
Dane dotyczące zastosowania	
Dane dotyczące narzędzi do czyszczenia i osadzania	

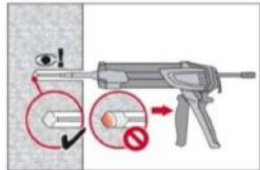
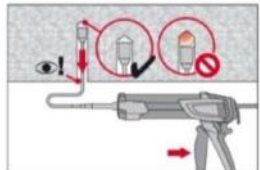
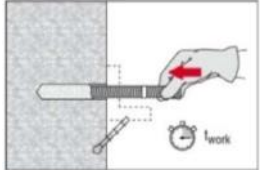
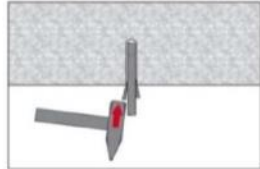
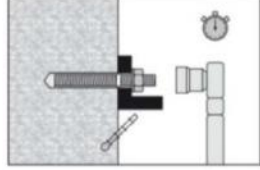
Instrukcja montażowa

Wiercenie otworów	
a) Wiercenie udarowe	
	Otwór wywiercić za pomocą wiertarki udarowej z włączoną funkcją udarowo-obrotową, użyć do tego wiertła o średnicy dopasowanej do wierconego otworu, zwrócić uwagę na prawidłową głębokość otworu.
b) Wiercenie udarowe przy użyciu wiertła rurowego Hilti	
	Otwór wywiercić do wymaganej głębokości zakotwienia przy użyciu wiertła rurowego Hilti TE-CD lub TE-YD z włączoną funkcją udarowo-obrotową i podłączonym odkurzaczem VC 20/40 (-Y) (pojemność zasysania ≥ 57 l/s) z włączoną automatyczną funkcją czyszczenia filtra. Ta metoda umożliwia usunięcie zwiercin i wyczyszczenie otworu podczas wiercenia, pod warunkiem jednak, że wiertło rurowe będzie używane zgodnie z instrukcją obsługi. W przypadku wiertel rurowych TE-CD o rozmiarze 12 i 14 patrz tabela B8. Po wykonaniu otworu można rozpocząć aplikację zaprawy iniekcyjnej według instrukcji montażu.
Czyszczenie wywierconych otworów	bezpośrednio przed osadzeniem kotwy otwór należy oczyścić i usunąć zwierciny oraz zanieczyszczenia. Nieprawidłowo oczyszczony otwór = niskie wartości nośności
Czyszczenie ręczne (MC):	Tylko w przypadku betonu niespękanego w przypadku otworów o średnicy do ≤ 20 mm i głębokości $h_o \leq 10$ d
	W przypadku otworów o średnicy do ≤ 20 mm i głębokości zakotwienia $h_{ef} \leq 10$ d można użyć ręcznej pompki Hilti. Wywiercony otwór przedmuchać przynajmniej 4 razy za pomocą ręcznej pompki, aż do chwili, w której strumień wylatujący z otworu nie będzie zawierał zanieczyszczeń.
	Następnie wyszczotkować otwór przynajmniej 4 razy za pomocą szczotki o odpowiednim rozmiarze (patrz tabela B8). Szczotkę drucianą Hilti HIT-RB wsunąć do dna otworu ruchem obrotowym i wyciągnąć (w razie potrzeby użyć przedłużki). Podczas wsuwania szczotki musi być wyczuwalny opór (\varnothing szczotki $\geq \varnothing$ wywierconego otworu) - jeśli nie ma oporu, szczotka jest za mała i należy użyć większej.
	Wywiercony otwór ponownie przedmuchać przynajmniej 4 razy za pomocą ręcznej pompki Hilti, aż do chwili, w której strumień wylatujący z otworu nie będzie zawierał zanieczyszczeń.

System iniekcyjny Hilti HIT-HY 200-A	Załącznik B9
Dane dotyczące zastosowania Instrukcja montażowa	

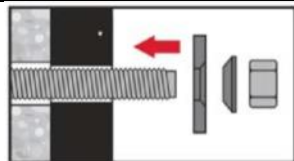
Czyszczenie za pomocą sprężonego powietrza (CAC) dla wierconych otworów o pełnym zakresie średnic d_0 i głębokości h_0	
	<p>Otwór przedmuchać dwa razy, zaczynając od jego dna, na całej długości, użyć do tego bezolejowego sprężonego powietrza (min. 6 bar przy wydajności 6 m³/h; w razie potrzeby użyć przedłużki). Otwór czyścić do momentu, w którym wylatujący z niego strumień powietrza nie będzie zawierał zanieczyszczeń.</p> <p>W przypadku wierconych otworów o średnicy ≥ 32 mm należy użyć kompresora o wydajności min. 140 m³/h.</p>
	<p>Następnie wyszczotkować otwór przynajmniej 2 razy za pomocą szczotki o odpowiednim rozmiarze (patrz tabela B8). Szczotkę drucianą Hilti HIT-RB wsunąć do dna otworu ruchem obrotowym i wyciągnąć (w razie potrzeby użyć przedłużki).</p> <p>Podczas wsuwania szczotki musi być wyczuwalny opór (\varnothing szczotki $\geq \varnothing$ wywierconego otworu) - jeśli nie ma oporu, szczotka jest za mała i należy użyć większej.</p>
	<p>Otwór ponownie dwa razy przedmuchać, zaczynając od jego dna, na całej długości, używając do tego sprężonego powietrza. Otwór czyścić do momentu, w którym wylatujący z niego strumień powietrza nie będzie zawierał zanieczyszczeń.</p>
Przygotowanie aplikacji żywicy iniekcyjnej	
	<p>Mieszacz statyczny Hilti HIT-RE-M porządnie zamocować na wkładzie foliowym. W żadnym wypadku nie wolno wprowadzać żadnych zmian przy mieszaczu.</p> <p>Przestrzegać instrukcji obsługi dozownika. Sprawdzić, czy kasetka nie jest uszkodzona. Nie używać uszkodzonych wkładów foliowych ani kaset. Wkład foliowy umieścić w kasecie, a kasetę zamocować w dozowniku.</p>
	<p>Wkład foliowy otwiera się automatycznie po rozpoczęciu dozowania. Do mocowania kotew nie wolno używać pierwszych wyciśniętych porcji żywicy. Porcja żywicy, którą należy odrzucić, zależy od pojemności wkładu:</p> <ul style="list-style-type: none"> 2 porcje w przypadku wkładu o pojemności 330 ml, 3 porcje w przypadku wkładu o pojemności 500 ml, 4 porcje w przypadku wkładu o pojemności 500 ml w temperaturze $\leq 5^{\circ}\text{C}$.

System iniekcyjny Hilti HIT-HY 200-A	Załącznik B10
Dane dotyczące zastosowania Instrukcja montażowa	

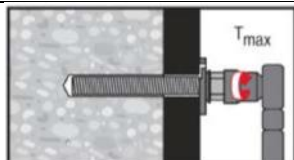
Aplikacja zaprawy iniekcyjnej od dna otworu bez tworzenia pęcherzyków powietrza	
	<p>Dozować zaprawę, zaczynając od dna otworu, przy czym przy każdej porcji żywicy należy lekko wysuwać mieszacz.</p> <p>Otwór wypełnić żywicą do głębokości ok. 2/3. Po osadzeniu mocowanego elementu szczelina pierścieniowa musi być całkowicie wypełniona zaprawą.</p>
	<p>Po aplikacji zaprawy zablokować dozownik, aby zapobiec dozowaniu kolejnej porcji żywicy.</p>
	<p>Montaż w pozycji nad głową i/lub montaż przy głębokości zakotwienia $h_{ef} > 250\text{mm}$.</p> <p>Aplikacja zaprawy w przypadku montażu w pozycji nad głową możliwa jest wyłącznie przy użyciu końcówki iniekcyjnej i przedłużki.</p> <p>Połączyć ze sobą mieszacz HIT-RE-M, przedłużkę i dopasowaną pod względem wielkości końcówkę iniekcyjną Hilti HIT-SZ (patrz tabela B8). Końcówkę iniekcyjną wsunąć do dna otworu i zaaplikować zaprawę. W trakcie aplikacji końcówka iniekcyjna automatycznie wysunie się z otworu pod wpływem ciśnienia.</p>
Osadzanie mocowanego elementu	
	<p>Przed montażem upewnić się, czy mocowany element jest suchy i czy nie jest zabrudzony np. olejem.</p> <p>Przed upływem czasu obróbki t_{work} mocowany element oznaczyć i wsunąć do otworu na głębokość zakotwienia.</p> <p>Czas obróbki t_{work} patrz tabela B7.</p>
	<p>W przypadku montażu w pozycji nad głową mocowany element zabezpieczyć przed wysunięciem w ostatecznej pozycji, używając do tego np. klinów.</p>
	<p>Obciążyć mocowany element:</p> <p>Kotwę można obciążyć po upływie czasu utwardzania t_{cure} (patrz tabela B7). Moment dokręcający, który należy zastosować, nie może być większy niż wartości T_{max} podane w tabelach od B2 do B5.</p>

System iniekcyjny Hilti HIT-HY 200-A	Załącznik B11
Dane dotyczące zastosowania Instrukcja montażowa	

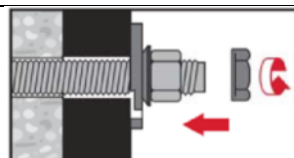
Instrukcja montażowa w przypadku stosowania zestawu wypełniającego Hilti



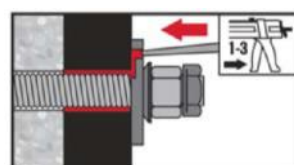
Podkładkę sferyczną ułożyć stroną sferyczną do podkładki iniekccyjnej. Podkładkę iniekccyjną, podkładkę sferyczną oraz nakrętkę nakręcić na gwint



Moment dokręcający, który należy zastosować, nie może być większy niż wartości T_{max} podane w tabelach od B2 do B5.



Opcjonalnie:
Nakręcić nakrętkę i dokręcić ją o 1/4 do 1/2 obrotu. (Ta metoda nie jest dopuszczalna w przypadku M24).



Szczelinę pierścieniową pomiędzy mocowanym elementem a prętem kotwy wypełnić od 1 do 3 porcjami żywicy iniekccyjnej Hilti HIT-HY 200-A.
Podczas osadzania elementu przestrzegać instrukcji użytkowania dołączonej do systemu iniekcyjnego.
Kotwę można obciążyć po upływie wymaganego czasu utwardzania t_{cure} .

System iniekcyjny Hilti HIT-HY 200-A	Załącznik C1
Dane dotyczące zastosowania Instrukcja montażowa	

Tabela C1: Wartości charakterystyczne nośności na obciążenia rozciągające dla prętów gwintowanych, HIT-V-... oraz AM 8.8 w betonie

HIT-HY 200-A z prętem gwintowanym, HIT-V-..., AM 8.8			M8	M10	M12	M16	M20	M24	M27	M30		
Montażowy współczynnik bezpieczeństwa	γ_2	[-]	1,0									
Zniszczenie stali												
Nośność charakterystyczna stali	$N_{Rk,S}$	[kN]	$A_s \cdot f_{uk}$									
Częściowy współczynnik bezpieczeństwa, klasa 8.8	$\gamma_{Ms, N}^{1)}$	[-]	1,5									
Częściowy współczynnik bezpieczeństwa, klasa 5.8	$\gamma_{Ms, N}^{1)}$	[-]	1,5									
Częściowy współczynnik bezpieczeństwa HIT-V-R	$\gamma_{Ms, N}^{1)}$	[-]	1,86						2,86			
Częściowy współczynnik bezpieczeństwa HIT-V-HCR	$\gamma_{Ms, N}^{1)}$	[-]	1,5					2,1				
Zniszczenie przez kombinację wyciągnięcia kotwy i wyłamania stożka betonu												
Nośność charakterystyczna wiązania w betonie niespękanym klasy wytrzymałości C20/25												
Zakres temperatur I:	40 °C/24 °C	$\tau_{Rk, ucr}$	[N/mm ²]	18								
Zakres temperatur II:	80 °C/50 °C	$\tau_{Rk, ucr}$	[N/mm ²]	15								
Zakres temperatur III:	120 °C/72 °C	$\tau_{Rk, ucr}$	[N/mm ²]	13								
Nośność charakterystyczna wiązania w betonie niespękanym klasy wytrzymałości C50/60												
Zakres temperatur I:	40 °C/24 °C	$\tau_{Rk, cr}$	[N/mm ²]	7,5	8,5		9,0					
Zakres temperatur II:	80 °C/50 °C	$\tau_{Rk, cr}$	[N/mm ²]	6,0	7,0		7,5					
Zakres temperatur III:	120 °C/72 °C	$\tau_{Rk, cr}$	[N/mm ²]	5,5	6,0		6,5					
Współczynnik zwiększający R_k dla betonu	ψ_c	C30/37	1,04									
		C40/45	1,07									
		C 50/60	1,1									
Zniszczenie przez rozłupanie												
Odległości od krawędzi podłoża $C_{cr,sp}$ [mm] przy	$h/h_{ef} \geq 2,0$	$1,0 \cdot h_{ef}$										
	$2,0 > h/h_{ef} > 1,3$	$4,6 \cdot h_{ef} - 1,8 \cdot h$										
	$h/h_{ef} \leq 1,3$	$2,26 \cdot h_{ef}$										
rozstawie kotew Scr,sp [mm]			$2 \cdot C_{cr,sp}$									

¹⁾ O ile brak właściwych przepisów krajowych.

System iniekcyjny Hilti HIT-HY 200-A	Załącznik C1
Wytrzymałość Wartości charakterystyczne nośności na obciążenia rozciągające w betonie Projektowanie według „EOTA Technical Report TR 29, wersja z września 2010”	

Tabela C2: Wartości charakterystyczne nośności na obciążenia ścinające dla prętów gwintowanych, HIT-V-... oraz AM 8.8 w betonie

HIT-HY 200-A z prętem gwintowanym, HIT-V-..., AM 8.8			M8	M10	M12	M16	M20	M24	M27	M30	
Zniszczenie stali bez oddziaływania momentu zginającego											
Nośność charakterystyczna stali	$V_{Rk,s}$	[kN]	$0,5 \cdot A_s \cdot f_{uk}$								
Częściowy współczynnik bezpieczeństwa, klasa 8.8	$\gamma_{Ms,v}^{1)}$	[-]	1,25								
Częściowy współczynnik bezpieczeństwa, klasa 5.8	$\gamma_{Ms,v}^{1)}$	[-]	1,25								
Częściowy współczynnik bezpieczeństwa HIT-V-R	$\gamma_{Ms,v}^{1)}$	[-]	1,56						2,38		
Częściowy współczynnik bezpieczeństwa HIT-V-HCR	$\gamma_{Ms,v}^{1)}$	[-]	1,25				1,75				
Zniszczenie stali z oddziaływaniem momentu zginającego											
Charakterystyczny moment zginający	$M_{Rk,s}^0$	[Nm]	$1,2 \cdot W_{el} f_{uk}$								
Zniszczenie podłoża betonowego przez podważenie											
Współczynnik w równaniu (5.7) według Technical Report TR 029 dla projektowania kotew wklejanych	k	[-]	2,0								
Zniszczenie krawędzi podłoża betonowego											
Wartość h_{ef} do obliczenia równań (5.8a) oraz (5.8b) według Technical Report TR 029 jest ograniczona przez:			$\min(h_{ef}, 12 \cdot d_{nom})$								
Średnicę zewnętrzną kotew	d_{nom}	[mm]	8	10	12	16	20	24	27	30	

¹⁾ O ile brak właściwych przepisów krajowych.

System iniekcyjny Hilti HIT-HY 200-A	Załącznik C2
Wytrzymałość Wartości charakterystyczne nośności na obciążenia rozciągające w betonie Projektowanie według „EOTA Technical Report TR 29, wersja z września 2010“	

Tabela C3: Wartości charakterystyczne nośności na obciążenia rozciągające dla tulei z gwintem wewnętrznym HIS-(R)N w betonie

HILTI HIT-HY 200-A z HIS-(R)N			M8	M10	M12	M16	M20
Montażowy współczynnik bezpieczeństwa	γ_2	[-]	1,0				
Zniszczenie stali							
HIS-N ze śrubą 8.8	$N_{Rk,s}$	[kN]	25	46	67	125	116
Częściowy współczynnik bezpieczeństwa	$\gamma_{Ms,N}^{1)}$	[-]	1,50				
HIS-RN ze śrubą 70	$N_{Rk,s}$	[kN]	26	41	59	110	166
Częściowy współczynnik bezpieczeństwa	$\gamma_{Ms,N}^{1)}$	H	1,87				2,4
Zniszczenie przez kombinację wyciągnięcia kotwy i wyłamania stożka betonu							
głębokość zakotwienia	h_{ef}	[mm]	90	110	125	170	205
Średnica zewnętrzna tulei	d_1	[mm]	12,5	16,5	20,5	25,4	27,6
Nośność charakterystyczna wiązania w betonie niespękanym klasy wytrzymałości C20/25							
Zakres temperatur I:	40 °C / 24 °C	$\tau_{Rk,ucr}$	[N/mm ²]	13			
Zakres temperatur II:	80 °C / 50 °C	$\tau_{Rk,ucr}$	[N/mm ²]	11			
Zakres temperatur III:	120 °C / 72 °C	$\tau_{Rk,ucr}$	[N/mm ²]	9,5			
Nośność charakterystyczna wiązania w betonie spękanym klasy wytrzymałości C20/25							
Zakres temperatur I:	40 °C / 24 °C	$\tau_{Rk,cr}$	[N/mm ²]	7			
Zakres temperatur II:	80 °C / 50 °C	$\tau_{Rk,cr}$	[N/mm ²]	5,5			
Zakres temperatur III:	120 °C / 72 °C	$\tau_{Rk,cr}$	[N/mm ²]	5			
Współczynnik zwiększający τ_{Rk} dla betonu	ψ_c	C30/37		1,04			
		C40/45		1,07			
		C50/60		1,1			

Zniszczenie przez rozłupanie

Odległości od krawędzi podłoża $C_{cr,sp}$ [mm] przy	$h/h_{ef} \geq 2,0$	$1,0 \cdot h_{ef}$	
	$2,0 > h/h_{ef} > 1,3$	$4,6 \cdot h_{ef} - 1,8 h$	
	$h/h_{ef} \leq 1,3$	$2,26 \cdot h_{ef}$	
rozstawie kotew	$S_{cr,sp}$	[mm]	$2 \cdot C_{cr,sp}$

¹⁾ O ile brak właściwych przepisów krajowych.

System iniekcyjny Hilti HIT-HY 200-A	Załącznik C3
Wytrzymałość Wartości charakterystyczne nośności na obciążenia rozciągające w betonie Projektowanie według „EOTA Technical Report TR 29, wersja z września 2010“	

Tabela C4: Wartości charakterystyczne nośności na obciążenia ścinające dla tulei z gwintem wewnętrznym HIS-(R)N w betonie

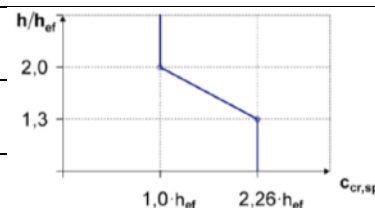
HILTI HIT-HY 200-A z HIS-(R)N			M8	M10	M12	M16	M20
Zniszczenie stali bez oddziaływania momentu zginającego							
HIS-N ze śrubą 8.8	$V_{Rk,s}$	[kN]	13	23	34	63	58
Częściowy współczynnik bezpieczeństwa	$\gamma_{Ms,v}^{1)}$	[-]	1,25				
HIS-RN ze śrubą 70	$V_{Rk,s}$	[kN]	13	20	30	55	83
Częściowy współczynnik bezpieczeństwa	$\gamma_{Ms,v}^{1)}$	[-]	1,56				
Zniszczenie stali z oddziaływaniem momentu zginającego							
HIS-N ze śrubą 8.8	$M^{\circ}_{Rk,s}$	[Nm]	30	60	105	266	519
Częściowy współczynnik bezpieczeństwa	$\gamma_{Ms,v}^{1)}$	[-]	1,25				
HIS-RN ze śrubą 70	$M^{\circ}_{Rk,s}$	[Nm]	26	52	92	233	454
Częściowy współczynnik bezpieczeństwa	$\gamma_{Ms,v}^{1)}$	[-]	1,56				
Zniszczenie podłoża betonowego przez podważenie							
Współczynnik w równaniu (5.7) według Technical Report TR 029 dla projektowania kotew wklejanych			2,0				
	k	[-]					
Zniszczenie krawędzi podłoża betonowego							
Średnicę zewnętrzną kotew	d_{nom}	[mm]	12,5	16,5	20,5	25,4	27,6

¹⁾ O ile brak właściwych przepisów krajowych.

System iniekcyjny Hilti HIT-HY 200-A	Załącznik C4
Wytrzymałość Wartości charakterystyczne nośności na obciążenia rozciągające w betonie Projektowanie według „EOTA Technical Report TR 29, wersja z września 2010“	

Tabela C5: Wartości charakterystyczne nośności na obciążenia rozciągające dla kotew rozciąganych Hilti HZA / HZA-R w betonie

Hilti HIT-HY 200-A z HZA, HZA-R			M12	M16	M20	M24	M27
Montażowy współczynnik bezpieczeństwa	γ_2	[-]	1,0				
Zniszczenie stali							
Nośność charakterystyczna HZA	$N_{Rk,s}$	[kN]	46	86	135	194	253
Nośność charakterystyczna HZA-R	$N_{Rk,s}$	[kN]	62	111	173	248	-
Częściowy współczynnik bezpieczeństwa	$\gamma_{Ms, N}^{1)}$	[-]	1,4				
Zniszczenie przez kombinację wyciągnięcia kotwy i wyłamania stożka betonu							
Średnica pręta zbrojeniowego	d	[mm]	12	16	20	25	28
Nośność charakterystyczna wiązania w betonie niespękanym klasy wytrzymałości C20/25							
Zakres temperatur I: 40 °C/24 °C	$\tau_{Rk, ucr}$	[N/mm ²]	12				
Zakres temperatur II: 80 °C/50 °C	$\tau_{Rk, ucr}$	[N/mm ²]	10				
Zakres temperatur III: 120 °C/72 °C	$\tau_{Rk, ucr}$	[N/mm ²]	8,5				
Nośność charakterystyczna wiązania w betonie spękanym klasy wytrzymałości C20/25							
Zakres temperatur I: 40 °C/24 °C	$\tau_{Rk, cr}$	[N/mm ²]	7				
Zakres temperatur II: 80 °C/50 °C	$\tau_{Rk, cr}$	[N/mm ²]	5,5				
Zakres temperatur III: 120 °C/72 °C	$\tau_{Rk, cr}$	[N/mm ²]	5				
Współczynnik zwiększający τ_{Rk} dla betonu	ψ_c	C30/37	1,04				
		C40/45	1,07				
		C50/60	1,1				
Głębokość zakotwienia dla obliczenia $N_{Rk,p}^0$ według równania 5.2a HZA (TR 029, 5.2.2.3 Zniszczenie przez kombinację wyciągnięcia kotwy HZA-R i wyłamania stożka betonu)	h_{ef}	[mm]	$h_{nom} - 20$				
	h_{ef}	[mm]	$h_{nom} - 100$				
Wyłamanie stożka betonu							
Głębokość zakotwienia dla obliczenia $N_{Rk,c}^0$ według równania 5.3a HZA-R (TR 029, 5.2.2.4 Zniszczenie podłoża betonowego)	h_{ef}	[mm]	h_{nom}				
Zniszczenie przez rozłupanie							
Odległości od krawędzi podłoża $C_{cr,sp}$ [mm] przy	$h / h_{ef} \geq 2,0$		$1,0 \cdot h_{ef}$				
	$2,0 > h/h_{ef} > 1,3$		$4,6 \cdot h_{ef} - 1,8 \cdot h$				
	$h/h_{ef} \leq 1,3$		$2,26 h_{ef}$				
rozstawie kotew	$S_{cr,sp}$	[mm]	$2 \cdot C_{cr,sp}$				



¹⁾ O ile brak właściwych przepisów krajowych.

System iniekcyjny Hilti HIT-HY 200-A	Załącznik C5
Wytrzymałość Wartości charakterystyczne nośności na obciążenia rozciągające w betonie Projektowanie według „EOTA Technical Report TR 29, wersja z września 2010“	

Tabela C6: Wartości charakterystyczne nośności na obciążenia ścinające dla kotew rozciąganych Hilti HZA / HZA-R w betonie

Hilti HIT-HY 200-A z HZA, HZA-R			M12	M16	M20	M24	M27
Zniszczenie stali bez oddziaływania momentu zginającego							
Nośność charakterystyczna HZA	$V_{Rk,s}$	[kN]	23	43	67	97	126
Nośność charakterystyczna HZA-R	$V_{Rk,s}$	[kN]	31	55	86	124	-
Częściowy współczynnik bezpieczeństwa	$\gamma_{MS,N}^{1)}$	[-]	1,5				
Zniszczenie stali z oddziaływaniem momentu zginającego							
Charakterystyczny moment zginający HZA	$M^0_{Rk,s}$	[Nm]	72	183	357	617	915
Charakterystyczny moment zginający HZA-R	$M^0_{Rk,s}$	[Nm]	97	234	457	790	-
Częściowy współczynnik bezpieczeństwa	$\gamma_{Ms,N}^{1)}$	[-]	1,5				
Zniszczenie podłoża betonowego przez podważenie							
Współczynnik w równaniu (5.7) według Technical Report TR 029 dla projektowania kotew wklejanych	k	[-]	2,0				
Zniszczenie krawędzi podłoża betonowego							
Wartość h_{ef} do obliczenia równań (5.8a) oraz (5.8b) według Technical Report TR 029 jest ograniczona przez:			min (h_{nom} ; $12 \cdot d_{nom}$)				
Średnicę zewnętrzną kotew	d_{nom}	[mm]	12	16	20	24	27

¹⁾ O ile brak właściwych przepisów krajowych.

System iniekcyjny Hilti HIT-HY 200-A	Załącznik C6
Wytrzymałość Wartości charakterystyczne nośności na obciążenia rozciągające w betonie Projektowanie według „EOTA Technical Report TR 29, wersja z września 2010”	

Tabela C7: Wartości charakterystyczne nośności na obciążenia rozciągające dla prętów gwintowanych w betonie

HIT-HY 200-A z prętem zbrojeniowym			Ø8	Ø 10	Ø 12	Ø 14	Ø 16	Ø 20	Ø 25	Ø 26	Ø 28	Ø 30	Ø 32
Montażowy współczynnik bezpieczeństwa	γ_2	[-]	1,0										
Zniszczenie stali													
Nośność charakterystyczna stali z prętem zbrojeniowym B500B według DIN 488:2009-08 ²⁾			28	43	62	85	111	173	270	292	339	388	442
Częściowy współczynnik bezpieczeństwa ³⁾			1,4										
Zniszczenie przez kombinację wyciągnięcia kotwy i wyłamania stożka betonu													
Średnica pręta zbrojeniowego	d	[mm]	8	10	12	14	16	20	25	26	28	30	32
Nośność charakterystyczna wiązania w betonie niespękanym klasy wytrzymałości C20/25													
Zakres temperatur I: 40 °C/24 °C	$\tau_{Rk, ucr}$	[N/mm ²]	12										
Zakres temperatur II: 80 °C/50 °C	$\tau_{Rk, ucr}$	[N/mm ²]	10										
Zakres temperatur III: 120 °C/72 °C	$\tau_{Rk, ucr}$	[N/mm ²]	8,5										
Nośność charakterystyczna wiązania w betonie spękanym klasy wytrzymałości C20/25													
Zakres temperatur I: 40 °C/24 °C	$\tau_{Rk, cr}$	[N/mm ²]	-	5	7								
Zakres temperatur II: 80 °C/50 °C	$\tau_{Rk, cr}$	[N/mm ²]	-	4	5,5								
Zakres temperatur III: 120 °C/72 °C	$\tau_{Rk, cr}$	[N/mm ²]	-	3,5	5								
Współczynnik zwiększający τ_{Rk} dla betonu	ψ_c	C30/37	1,04										
		C40/45	1,07										
		C50/60	1,1										
Zniszczenie przez rozłupanie													
Odległości od krawędzi podłoża Ccr.sp[mm] przy	$h / h_{ef} \geq 2,0$		1,0 · h _{ef}										
	$2,0 > h/h_{ef} > 1,3$		4,6 · h _{ef} - 1,8 · h										
	$h/h_{ef} \leq 1,3$		2,26 · h _{ef}										
rozstawie kotew	$S_{cr, sp}$ [mm]		2 C _{cr, sp}										

¹⁾ O ile brak właściwych przepisów krajowych.

²⁾ Charakterystyczną nośność NRk,s dla prętów gwintowanych, która nie jest zgodna z normą DIN 488, należy obliczyć zgodnie z Technical Report TR029, równanie (5.1).

³⁾ ³⁾ Częściowy współczynnik bezpieczeństwa $\gamma_{Ms,N}$ dla prętów gwintowanych, który nie jest zgodny z normą DIN 488, należy obliczyć zgodnie z Technical Report TR029, równanie (3.3a).

System iniekcyjny Hilti HIT-HY 200-A	Załącznik C7
Wytrzymałość Wartości charakterystyczne nośności na obciążenia rozciągające w betonie Projektowanie według „EOTA Technical Report TR 29, wersja z września 2010“	

Tabela C8: Wartości charakterystyczne nośności na obciążenia ścinające dla prętów gwintowanych w betonie

HIT-HY 200-A z prętem zbrojeniowym			Ø8	Ø 10	Ø 12	Ø 14	Ø 16	Ø 20	Ø 25	Ø 26	Ø 28	Ø 30	Ø 32
Zniszczenie stali bez oddziaływania momentu zginającego													
Nośność charakterystyczna stali z prętem zbrojeniowym B500B według DIN 488:2009-08 ²⁾	$V_{Rk,s}$	[kN]	14	22	31	42	55	86	135	146	169	194	221
Częściowy współczynnik bezpieczeństwa ⁴⁾	$\gamma_{Ms,v}$ ¹⁾	[-]	1,50										
Zniszczenie stali z oddziaływaniem momentu zginającego													
Charakterystyczny moment zginający z prętem zbrojeniowym B500B według DIN 488:2009-08 ³⁾	$M^o_{Rk,s}$	[Nm]	33	65	112	178	265	518	1012	1139	1422	1749	2123
Zniszczenie podłoża betonowego przez podważenie													
Współczynnik w równaniu (5.7) według Technical Report TR 029 dla projektowania kotew wklejanych	k	[-]	2,0										
Zniszczenie krawędzi podłoża betonowego													
Wartość h_{ef} do obliczenia równań (5.8a) oraz (5.8b) według Technical Report TR 029 jest ograniczona przez:	min (h_{ef} ; $12 \cdot d_{nom}$)												
Średnicę zewnętrzną kotew	d_{nom}	[mm]	8	10	12	14	16	20	25	26	28	30	32

¹⁾ O ile brak właściwych przepisów krajowych.

²⁾ Charakterystyczną nośność na obciążenia ścinające $V_{Rk,s}$ dla prętów gwintowanych, która nie jest zgodna z normą DIN 488, należy obliczyć zgodnie z Technical Report TR029, równanie (5.5).

³⁾ Charakterystyczną nośność na zginanie $M^o_{Rk,s}$ dla prętów gwintowanych, która nie jest zgodna z normą DIN 488, należy obliczyć zgodnie z Technical Report TR029, równanie (5.6b).

⁴⁾ Częściowy współczynnik bezpieczeństwa $\gamma_{Ms,v}$ dla prętów gwintowanych, który nie jest zgodny z normą DIN 488, należy obliczyć zgodnie z Technical Report TR029, równanie (3.3a) albo (3.3c).

System iniekcyjny Hilti HIT-HY 200-A	Załącznik C8
Wytrzymałość Wartości charakterystyczne nośności na obciążenia rozciągające w betonie Projektowanie według „EOTA Technical Report TR 29, wersja z września 2010“	

Tabela C9: Przemieszczenia pod wpływem obciążeń rozciągających

Hilti HIT-HY 200-A z prętem gwintowanym, HIT-V- AM 8.8			M8	M10	M12	M16	M20	M24	M27	M30
Beton niespękany Zakres temperatur I: 40°C / 24°C										
Przemieszczenie	δ_{N0}	[mm/(N/mm ²)]	0,02	0,03	0,03	0,04	0,06	0,07	0,07	0,08
	$\delta_{N\infty}$	[mm/(N/mm ²)]	0,04	0,05	0,06	0,08	0,10	0,13	0,14	0,16
Beton niespękany Zakres temperatur II: 80°C / 50°C										
Przemieszczenie	δ_{N0}	[mm/(N/mm ²)]	0,03	0,04	0,05	0,06	0,08	0,09	0,10	0,12
	$\delta_{N\infty}$	[mm/(N/mm ²)]	0,04	0,05	0,06	0,09	0,11	0,13	0,15	0,16
Beton niespękany Zakres temperatur III: 120°C / 72°C										
Przemieszczenie	δ_{N0}	[mm/(N/mm ²)]	0,04	0,05	0,06	0,08	0,10	0,12	0,13	0,16
	$\delta_{N\infty}$	[mm/(N/mm ²)]	0,04	0,05	0,07	0,09	0,11	0,13	0,15	0,17
Beton spękany Zakres temperatur I: 40°C / 24°C										
Przemieszczenie	δ_{N0}	[mm/(N/mm ²)]	0,07							
	$\delta_{N\infty}$	[mm/(N/mm ²)]	0,16							
Beton spękany Zakres temperatur II: 80°C / 50°C										
Przemieszczenie	δ_{N0}	[mm/(N/mm ²)]	0,10							
	$\delta_{N\infty}$	[mm/(N/mm ²)]	0,22							
Beton spękany Zakres temperatur III: 120°C / 72°C										
Przemieszczenie	δ_{N0}	[mm/(N/mm ²)]	0,13							
	$\delta_{N\infty}$	[mm/(N/mm ²)]	0,29							

Tabela C10: Przemieszczenia pod wpływem obciążeń ścinających

Hilti HIT-HY 200-A z prętem gwintowanym, HIT-V- AM 8.8			M8	M10	M12	M16	M20	M24	M27	M30
Przemieszczenie	δ_{v0}	[mm/kN]	0,06	0,06	0,05	0,04	0,04	0,03	0,03	0,03
	$\delta_{v\infty}$	[mm/kN]	0,09	0,08	0,08	0,06	0,06	0,05	0,05	0,05

System iniekcyjny Hilti HIT-HY 200-A	Załącznik C9
Wytrzymałość Przemieszczenia z prętem zbrojeniowym, HIT-V-... i AM 8.8	

Tabela C11: Przemieszczenia pod wpływem obciążeń rozciągających

HILTI HIT-HY 200-A z HIS-(R)N			M8	M10	M12	M16	M20
Beton niespękany Zakres temperatur I: 40°C / 24°C							
Przemieszczenie	δ_{N0}	[mm/(N/mm ²)]	0,03	0,05	0,06	0,07	0,08
	$\delta_{N\infty}$	[mm/(N/mm ²)]	0,06	0,09	0,11	0,13	0,14
Beton niespękany Zakres temperatur II: 80°C / 50°C							
Przemieszczenie	δ_{N0}	[mm/(N/mm ²)]	0,05	0,06	0,08	0,10	0,11
	$\delta_{N\infty}$	[mm/(N/mm ²)]	0,07	0,09	0,11	0,13	0,15
Beton niespękany Zakres temperatur III: 120°C/72°C							
Przemieszczenie	δ_{N0}	[mm/(N/mm ²)]	0,06	0,08	0,10	0,13	0,14
	$\delta_{N\infty}$	[mm/(N/mm ²)]	0,07	0,09	0,11	0,14	0,15
Beton spękany Zakres temperatur I: 40°C / 24°C							
Przemieszczenie	δ_{N0}	[mm/(N/mm ²)]	0,11				
	$\delta_{N\infty}$	[mm/(N/mm ²)]	0,16				
Beton spękany Zakres temperatur II: 80°C / 50°C							
Przemieszczenie	δ_{N0}	[mm/(N/mm ²)]	0,15				
	$\delta_{N\infty}$	[mm/(N/mm ²)]	0,22				
Beton spękany Zakres temperatur III: 120°C /72°C							
Przemieszczenie	δ_{N0}	[mm/(N/mm ²)]	0,20				
	$\delta_{N\infty}$	[mm/(N/mm ²)]	0,29				

Tabela C12: Przemieszczenia pod wpływem obciążeń ścinających

HILTI HIT-HY 200-A z HIS-(R)N			M8	M10	M12	M16	M20
Przemieszczenie	δ_{v0}	[mm/kN]	0,06	0,06	0,05	0,04	0,04
	$\delta_{v\infty}$	[mm/kN]	0,09	0,08	0,08	0,06	0,06

System iniekcyjny Hilti HIT-HY 200-A	Załącznik C10
Wytrzymałość Przemieszczenia z HIS-(R)N	

Tabela C13: Przemieszczenia pod wpływem obciążeń rozciągających

Hilti HIT-HY 200-A z HZA, HZA-R			M12	M16	M20	M24	M27
Beton niespękany Zakres temperatur I: 40°C / 24°C							
Przemieszczenie	δ_{N0}	[mm/(N/mm ²)]	0,03	0,04	0,06	0,07	0,08
	$\delta_{N\infty}$	[mm/(N/mm ²)]	0,06	0,08	0,13	0,13	0,15
Beton niespękany Zakres temperatur II: 80°C / 50°C							
Przemieszczenie	δ_{N0}	[mm/(N/mm ²)]	0,05	0,06	0,08	0,10	0,11
	$\delta_{N\infty}$	[mm/(N/mm ²)]	0,06	0,09	0,14	0,14	0,15
Beton niespękany Zakres temperatur III: 120°C / 72°C							
Przemieszczenie	δ_{N0}	[mm/(N/mm ²)]	0,06	0,08	0,10	0,12	0,14
	$\delta_{N\infty}$	[mm/(N/mm ²)]	0,07	0,09	0,14	0,14	0,16
Beton spękany Zakres temperatur I: 40°C / 24°C							
Przemieszczenie	δ_{N0}	[mm/(N/mm ²)]	0,11				
	$\delta_{N\infty}$	[mm/(N/mm ²)]	0,16				
Beton spękany Zakres temperatur II: 80°C / 50°C							
Przemieszczenie	δ_{N0}	[mm/(N/mm ²)]	0,15				
	$\delta_{N\infty}$	[mm/(N/mm ²)]	0,22				
Beton spękany Zakres temperatur III: 120°C / 72°C							
Przemieszczenie	δ_{N0}	[mm/(N/mm ²)]	0,20				
	$\delta_{N\infty}$	[mm/(N/mm ²)]	0,29				

Tabela C14: Przemieszczenia pod wpływem obciążeń ścinających

Hilti HIT-HY 200-A z HZA, HZA-R			M12	M16	M20	M24	M27
Przemieszczenie	δ_{v0}	[mm/kN]	0,05	0,04	0,04	0,03	0,03
	$\delta_{v\infty}$	[mm/kN]	0,08	0,06	0,06	0,05	0,05

System iniekcyjny Hilti HIT-HY 200-A	Załącznik C11
Wytrzymałość Przemieszczenia z HZA, HZA-R	

Tabela C15: Przemieszczenia pod wpływem obciążeń rozciągających

Hilti HIT-HY 200-A z prętem zbrojeniowym		Φ8	Φ10	Φ12	Φ14	Φ16	Φ20	Φ25	Φ26	Φ28	Φ30	Φ32	
Beton niespękany Zakres temperatur I: 40°C / 24°C													
Przemieszczenie	δ_{N0}	[mm/(N/mm ²)]	0,02	0,03	0,03	0,04	0,04	0,06	0,07	0,08	0,08	0,09	0,09
	$\delta_{N\infty}$	[mm/(N/mm ²)]	0,04	0,05	0,06	0,07	0,08	0,10	0,13	0,14	0,15	0,16	0,17
Beton niespękany Zakres temperatur II: 80°C / 50°C													
Przemieszczenie	δ_{N0}	[mm/(N/mm ²)]	0,03	0,04	0,05	0,05	0,06	0,08	0,10	0,11	0,11	0,12	0,12
	$\delta_{N\infty}$	[mm/(N/mm ²)]	0,04	0,05	0,06	0,07	0,09	0,11	0,14	0,15	0,15	0,16	0,17
Beton niespękany Zakres temperatur III: 120°C / 72°C													
Przemieszczenie	δ_{N0}	[mm/(N/mm ²)]	0,04	0,05	0,06	0,07	0,08	0,10	0,12	0,13	0,14	0,15	0,16
	$\delta_{N\infty}$	[mm/(N/mm ²)]	0,04	0,05	0,07	0,08	0,09	0,11	0,14	0,15	0,16	0,17	0,18
Beton spękany Zakres temperatur I: 40°C / 24°C													
Przemieszczenie	δ_{N0}	[mm/(N/mm ²)]							0,11				
	$\delta_{N\infty}$	[mm/(N/mm ²)]							0,16				
Beton spękany Zakres temperatur II: 80°C / 50°C													
Przemieszczenie	δ_{N0}	[mm/(N/mm ²)]							0,15				
	$\delta_{N\infty}$	[mm/(N/mm ²)]							0,22				
Beton spękany Zakres temperatur III: 120°C / 72°C													
Przemieszczenie	δ_{N0}	[mm/(N/mm ²)]							0,20				
	$\delta_{N\infty}$	[mm/(N/mm ²)]							0,29				

Tabela C16: Przemieszczenia pod wpływem obciążeń ścinających

Hilti HIT-HY 200-A z prętem zbrojeniowym		Φ8	Φ10	Φ12	Φ14	Φ16	Φ20	Φ25	Φ26	Φ28	Φ30	Φ32
Przemieszczenie	δ_{v0}	[mm/kN]	0,06	0,05	0,05	0,04	0,04	0,04	0,03	0,03	0,03	0,03
	$\delta_{v\infty}$	[mm/kN]	0,09	0,08	0,07	0,06	0,06	0,05	0,05	0,05	0,04	0,04

System iniekcyjny Hilti HIT-HY 200-A	Załącznik C12
Wytrzymałość Przemieszczenia z prętem zbrojeniowym	

Projektowanie dla obciążeń sejsmicznych należy przeprowadzić zgodnie z TR 045 „Design of metal anchors for use in concrete under seismic action“

Tabela C17: Wartości charakterystyczne nośności na obciążenia rozciągające dla prętów gwintowanych, HIT-V- ...oraz AM 8.8 dla obciążeń sejsmicznych kategorii C1

HIT-HY 200-A z prętem gwintowanym, HIT-V-..., AM 8.8			M8	M10	M12	M16	M20	M24	M27	M30
Zniszczenie stali										
HIT-V-5.8(F), pręt gwintowany 5.8	$N_{Rk,s,seis}$	[kN]	-	29	42	79	123	177	230	281
HIT-V-8.8(F), pręt gwintowany 8.8	$N_{Rk,s,seis}$	[kN]	-	46	67	126	196	282	367	449
HIT-V-R, pręt gwintowany A4-70	$N_{Rk,s,seis}$	[kN]	-	41	59	110	172	247	230	281
HIT-V-HCR, pręt gwintowany HCR-80	$N_{Rk,s,seis}$	[kN]	-	46	67	126	196	247	321	393
Zniszczenie przez kombinację wyciągnięcia kotwy i wyłamania stożka betonu										
Nośność charakterystyczna wiązania w betonie spękanym klasy wytrzymałości C20/25										
Zakres temperatur I: 40 °C/24 °C	$\tau_{Rk,seis}$	[N/mm ²]	-	5,2	7,0					
Zakres temperatur II: 80 °C/50 °C	$\tau_{Rk,seis}$	[N/mm ²]	-	3,9	5,7					
Zakres temperatur III: 120 °C/72 °C	$\tau_{Rk,seis}$	[N/mm ²]	-	3,5	4,8					

Tabela C18: Wartości charakterystyczne nośności na obciążenia ścinające dla prętów gwintowanych, HIT-V- ...oraz AM 8.8 dla obciążeń sejsmicznych kategorii C1

HIT-HY 200-A z prętem gwintowanym, HIT-V-..., AM 8.8			M8	M10	M12	M16	M20	M24	M27	M30
Zniszczenie stali bez oddziaływania momentu zginającego										
HIT-V 5.8(F), pręt gwintowany 5.8	$V_{Rk,s,seis}$	[kN]	-	11	15	27	43	62	81	98
HIT-V 8.8(F), pręt gwintowany 8.8	$V_{Rk,s,seis}$	[kN]	-	16	24	44	69	99	129	157
HIT-V R, pręt gwintowany A4-70	$V_{Rk,s,seis}$	[kN]	-	14	21	39	60	87	81	98
HIT-V HCR, pręt gwintowany HCR-80	$V_{Rk,s,seis}$	[kN]	-	16	24	44	69	87	113	137

Tabela C19: Przemieszczenia pod wpływem obciążeń rozciągających dla obciążeń sejsmicznych kategorii C1

HIT-HY 200-A z prętem gwintowanym, HIT-V-..., AM 8.8			M8	M10	M12	M16	M20	M24	M27	M30
Przemieszczenie ¹⁾	$\delta_{N,seis}$	[mm]	-	0,8	0,8	0,8	0,8	0,8	0,8	0,8

¹⁾ Maksymalne przemieszczenie w trakcie trwania obciążenia cyklicznego (trzęsienie ziemi).

Tabela C20: Przemieszczenia pod wpływem obciążeń ścinających dla obciążeń sejsmicznych kategorii C1

HIT-HY 200-A z prętem gwintowanym, HIT-V-..., AM 8.8			M8	M10	M12	M16	M20	M24	M27	M30
Przemieszczenie ¹⁾	$\delta_{N,seis}$	[mm]	-	3,5	3,8	4,4	5,0	5,6	6,1	6,5

¹⁾ Maksymalne przemieszczenie w trakcie trwania obciążenia cyklicznego (trzęsienie ziemi).

System iniekcyjny Hilti HIT-HY 200-A	Załącznik C13
Wytrzymałość Wartości charakterystyczne / przemieszczenie dla obciążeń sejsmicznych kategorii C1 Projektowanie według „EOTA Technical Report TR045, wersja z lutego 2013“	

Tabela C21: Wartości charakterystyczne nośności na obciążenia rozciągające dla kotew rozciąganych Hilti

HZA / HZA-R dla obciążeń sejsmicznych kategorii C1

HIT-HY 200-A z kotwą rozciąganą Hilti HZA, HZA-R			M12	M16	M20	M24	M27
Zniszczenie stali							
Nośność charakterystyczna HZA	$N_{Rk,s,seis}$	[kN]	46	86	135	194	253
Nośność charakterystyczna HZA-R	$N_{Rk,s,seis}$	[kN]	62	111	173	248	-
Częściowy współczynnik bezpieczeństwa	$\gamma_{Ms,N,seis}^{1)}$	[-]	1,4				
Zniszczenie przez kombinację wyciągnięcia kotwy i wyłamania stożka betonu							
Średnica pręta zbrojeniowego	d	[mm]	12	16	20	25	28
Nośność charakterystyczna wiązania w betonie spekanym klasy wytrzymałości C20/25							
Zakres temperatur I:	40°C/24°C	$\tau_{Rk,cr}$	[N/mm ²]		6,1		
Zakres temperatur II:	80°C/50°C	$\tau_{Rk,cr}$	[N/mm ²]		4,8		
Zakres temperatur III:	120°C/72°C	$\tau_{Rk,cr}$	[N/mm ²]		4,4		

¹⁾ O ile brak właściwych przepisów krajowych.

Tabela C22: Wartości charakterystyczne nośności na obciążenia ścinające dla kotew rozciąganych Hilti HZA / HZA-R dla obciążeń sejsmicznych kategorii C1

HIT-HY 200-A z kotwą rozciąganą Hilti HZA, HZA-R			M12	M16	M20	M24	M27
Zniszczenie stali z oddziaływaniem momentu zginającego							
Charakterystyczny moment zginający HZA	$V_{Rk,s,seis}$	[kN]	16	30	47	68	88
Charakterystyczny moment zginający HZA-R	$V_{Rk,s,seis}$	[kN]	22	39	60	124	-
Częściowy współczynnik bezpieczeństwa	$\gamma_{Ms,V,seis}^{1)}$	[-]	1,5				

¹⁾ O ile brak właściwych przepisów krajowych.

Tabela C23: Przemieszczenia pod wpływem obciążeń rozciągających dla obciążeń sejsmicznych kategorii C1

HIT-HY 200-A z kotwą rozciąganą Hilti HZA, HZA-R			M12	M16	M20	M24	M27
Przemieszczenie ¹⁾	$\delta_{N,seis}$	[mm]	1,3	1,3	1,3	1,3	1,3

¹⁾ Maksymalne przemieszczenie w trakcie trwania obciążenia cyklicznego (trzęsienie ziemi).

Tabela C24: Przemieszczenia pod wpływem obciążeń ścinających dla obciążeń sejsmicznych kategorii C1

HIT-HY 200-A z Hilti HIT-HY 200-A z HZA, HZA-R			M12	M16	M20	M24	M27
Przemieszczenie ¹⁾	$\delta_{v,seis}$	[mm]	3,8	4,4	5,0	5,6	6,1

¹⁾ Maksymalne przemieszczenie w trakcie trwania obciążenia cyklicznego (trzęsienie ziemi).

System iniekcyjny Hilti HIT-HY 200-A	Załącznik C14
Wytrzymałość Wartości charakterystyczne / przemieszczenie dla obciążeń sejsmicznych kategorii C1 Projektowanie według „EOTA Technical Report TR045, wersja z lutego 2013“	

Tabela C25: Wartości charakterystyczne nośności na obciążenia rozciągające dla prętów gwintowanych dla obciążeń sejsmicznych kategorii C1

HIT-HY 200-A z prętem zbrojeniowym			Φ 8	Φ 10	Φ 12	Φ 14	Φ 16	Φ 20	Φ 25	Φ 26	Φ 28	Φ 30	Φ 32	
Zniszczenie stali														
Nośność charakterystyczna stali z prętem zbrojeniowym B500B według DIN 488:2009-08 ¹⁾	$N_{Rk, s, seis}$ [kN]	-	43	62	85	111	173	270	292	339	388	442		
Zniszczenie przez kombinację wyciągnięcia kotwy i wyłamania stożka betonu														
Średnica pręta zbrojeniowego	d [mm]	-	10	12	14	16	20	25	26	28	30	32		
Nośność charakterystyczna wiązania w betonie spękanym klasy wytrzymałości C20/25														
Zakres temperatur I: 40°C/24°C	$\tau_{Rk, cr}$ [N/mm ²]	-	4,4	6,1										
Zakres temperatur II: 80°C/50°C	$\tau_{Rk, cr}$ [N/mm ²]	-	3,5	4,8										
Zakres temperatur III: 120°C/72°C	$\tau_{Rk, cr}$ [N/mm ²]	-	3	4,4										

¹⁾ Charakterystyczną nośność na obciążenia rozciągające $N_{Rk, s, seis}$ dla prętów gwintowanych, która nie jest zgodna z normą DIN 488, należy obliczyć zgodnie z Technical Report TR029, równanie (5.1), $N_{Rk, s, seis} = N_{Rk, s}$.

Tabela C26: Wartości charakterystyczne nośności na obciążenia ścinające dla prętów gwintowanych dla obciążeń sejsmicznych kategorii C1

HIT-HY 200-A z prętem zbrojeniowym			Φ 8	Φ 10	Φ 12	Φ 14	Φ 16	Φ 20	Φ 25	Φ 26	Φ 28	Φ 30	Φ 32
Zniszczenie stali bez oddziaływania momentu zginającego													
Nośność charakterystyczna stali z prętem zbrojeniowym B500B według DIN 488:2009-08 ¹⁾	$V_{Rk, s, seis}$ [kN]	-	15	22	29	39	60	95	102	118	135	165	

¹⁾ Charakterystyczną nośność na obciążenia ścinające $V_{Rk, s, seis}$ dla prętów gwintowanych, która nie jest zgodna z normą DIN 488, należy obliczyć zgodnie z Technical Report TR029, równanie (5.5), $V_{Rk, s, seis} = 0,7 \times V_{Rk, s}$.

Tabela C27: Przemieszczenia pod wpływem obciążeń rozciągających dla obciążeń sejsmicznych kategorii C1

Hilti HIT-HY 200-A z prętem zbrojeniowym			Φ 8	Φ 10	Φ 12	Φ 14	Φ 16	Φ 20	Φ 25	Φ 26	Φ 28	Φ 30	Φ 32
Przemieszczenie ¹⁾	$\delta_{N, seis}$ [mm]	-	1,3	1,3	1,3	1,3	1,3	1,3	1,3	1,3	1,3	1,3	1,3

¹⁾ Maksymalne przemieszczenie w trakcie trwania obciążenia cyklicznego (trzęsienie ziemi).

Tabela C28: Przemieszczenia pod wpływem obciążeń ścinających dla obciążeń sejsmicznych kategorii C1

Hilti HIT-HY 200-A z prętem zbrojeniowym			Φ 8	Φ 10	Φ 12	Φ 14	Φ 16	Φ 20	Φ 25	Φ 26	Φ 28	Φ 30	Φ 32
Przemieszczenie ¹⁾	$\delta_{v, seis}$ [mm]	-	3,5	3,8	4,1	4,4	5,0	5,8	6,2	6,2	6,8	6,8	

¹⁾ Maksymalne przemieszczenie w trakcie trwania obciążenia cyklicznego (trzęsienie ziemi).

System iniekcyjny Hilti HIT-HY 200-A	Załącznik C15
Wytrzymałość Wartości charakterystyczne / przemieszczenie dla obciążeń sejsmicznych kategorii C1 Projektowanie według „EOTA Technical Report TR045, wersja z lutego 2013“	

Tabela C29: Wartości charakterystyczne nośności na obciążenia rozciągające dla prętów gwintowanych, HIT-V-... oraz AM 8.8 dla obciążeń sejsmicznych kategorii C2

HIT-HY 200-A z prętem gwintowanym, HIT-V-..., AM 8.8				M8	M10	M12	M16	M20	M24	M27	M30
Zniszczenie stali											
HIT-V (-F) 8.8, AM (HDG) 8.8 Pręt gwintowany dostępny w handlu 8.8, tylko ocynkowany galwanicznie	$N_{Rk,s,seis}$	[kN]		-		126	196	282		-	
Zniszczenie przez kombinację wyciągnięcia kotwy i wyłamania stożka betonu											
Nośność charakterystyczna wiązania w betonie spękanym klasy wytrzymałości C20/25, w otworach wierconych udarowo (TE-CD oraz TE-YD)											
Zakres temperatur I:	40 °C/24 °C	$\tau_{Rk,cr}$	[N/mm ²]	-		3,9	4,3	3,5		-	
Zakres temperatur II:	80 °C/50 °C	$\tau_{Rk,cr}$	[N/mm ²]	-		3,3	3,7	2,9		-	
Zakres temperatur III:	120 °C/72 °C	$\tau_{Rk,cr}$	[N/mm ²]	-		2,8	3,2	2,5		-	

Tabela C30: Wartości charakterystyczne nośności na obciążenia ścinające dla prętów gwintowanych, HIT-V-... oraz AM 8.8 dla obciążeń sejsmicznych kategorii C2

HIT-HY 200-A z prętem gwintowanym, HIT-V-..., AM 8.8				M8	M10	M12	M16	M20	M24	M27	M30
Zniszczenie stali bez oddziaływania momentu zginającego, montaż przy użyciu zestawu wypełniającego Hilti											
HIT-V 8.8, AM 8.8	$V_{Rk,s,seis}$	[kN]		-		46	77	103		-	
Zniszczenie stali bez oddziaływania momentu zginającego, montaż bez użycia zestawu wypełniającego Hilti											
HIT-V 8.8, AM 8.8	$V_{Rk,s,seis}$	[kN]		-		40	71	90		-	
HIT-V-F 8.8, AM HDG 8.8	$V_{Rk,s,seis}$	[kN]		-		30	46	66		-	
Pręt gwintowany dostępny w handlu 8.8 ocynkowany galwanicznie	$V_{Rk,s,seis}$	[kN]		-		28	50	63		-	

System iniekcyjny Hilti HIT-HY 200-A	Załącznik C16
Wytrzymałość Wartości charakterystyczne dla obciążeń sejsmicznych kategorii C2 Projektowanie według „EOTA Technical Report TR045, wersja z lutego 2013“	

Tabela C31: Przemieszczenia pod wpływem obciążeń rozciągających dla obciążeń sejsmicznych kategorii C2

HIT-HY 200-A z prętem gwintowanym, HIT-V-..., AM 8.8			M8	M10	M12	M16	M20	M24	M27	M30
Przemieszczenie DLS, HIT-V (-F) 8.8, AM (HDG) 8.8	$\delta_{N,seis (DLS)}$	[mm]	-			0,2	0,5	0,4	-	
Przemieszczenie ULS, HIT-V (-F) 8.8, AM (HDG) 8.8	$\delta_{N,seis (ULS)}$	[mm]	-			0,6	0,8	1.0	-	

Tabela C32: Przemieszczenia pod wpływem obciążeń ścinających dla obciążeń sejsmicznych kategorii C2

HIT-HY 200-A z prętem gwintowanym, HIT-V-..., AM 8.8			M8	M10	M12	M16	M20	M24	M27	M30
Montaż przy użyciu zestawu wypełniającego Hilti										
Przemieszczenie DLS, HIT-V 8.8, AM 8.8	$\delta_{N,seis (DLS)}$	[mm]	-			1,2	1,4	1,1	-	
Przemieszczenie ULS, HIT-V 8.8, AM 8.8	$\delta_{N,seis (ULS)}$	[mm]	-			3,2	3,8	2,6	-	
Montaż bez użycia zestawu wypełniającego Hilti										
Przemieszczenie DLS, HIT-V 8.8, AM 8.8	$\delta_{N,seis (DLS)}$	[mm]	-			3,2	2,5	3,5	-	
Przemieszczenie DLS, HIT-V-F 8.8, AM HDG 8.8	$\delta_{N,seis (DLS)}$	[mm]	-			2,3	3,8	3,7	-	
Przemieszczenie ULS, HIT-V 8.8, AM 8.8	$\delta_{N,seis (ULS)}$	[mm]	-			9,2	7,1	10,2	-	
Przemieszczenie ULS, HIT-V-F 8.8, AM HDG 8.8	$\delta_{N,seis (ULS)}$	[mm]	-			4,3	9,1	8,4	-	

System iniekcyjny Hilti HIT-HY 200-A	Załącznik C17
Wytrzymałość Wartości charakterystyczne dla obciążeń sejsmicznych kategorii C2 Projektowanie według „EOTA Technical Report TR045, wersja z lutego 2013“	